第 111 回 南海トラフ沿いの地震に関する評価検討会

気　象　庁　資　料

令和８年 11 月９日

本資料は、国立研究開発法人防災科学技術研究所、北海道大学、弘前大学、東北大学、東京大学、名古屋大学、京都大学、高知大学、九州大学、鹿児島大学、国立研究開発法人産業技術総合研究所、国土地理院、国立研究開発法人海洋研究開発機構、公益財団法人地震予知総合研究振興会、青森県、東京都、静岡県、神奈川県温泉地学研究所及び気象庁のデータを用いて作成しています。また、2016 年熊本地震合同観測グループのオンライン臨時観測点（河原、熊野座）、2022 年能登半島における合同地震観測グループによるオンライン臨時観測点（よしが浦温泉、飯田小学校）、2025 年トカラ列島近海における合同地震観測グループによるオンライン臨時観測点（平島、小宝島）、EarthScope Consortium の観測点（台北、玉峰、寧安橋、玉里、台東）のデータを用いて作成しています。

以下の資料は暫定であり、後日の調査で変更されることがあります。

令和８年 10 月１日～令和８年 11 月５日の主な地震活動

○南海トラフ巨大地震の想定震源域およびその周辺の地震活動：

【最大震度３以上を観測した地震もしくは M3.5 以上の地震及びその他の主な地震】

月/日	時:分	震央地名	深さ（km）	M	最大震度	発生場所
10/13	20:44	徳島県南部	38	3.9	２	フィリピン海プレート内部
10/25	08:59	日向灘		5.2	３	フィリピン海プレートと陸のプレートの境界
11/２	12:25	三重県南東沖		3.7	－	
11/８	01:04	愛知県東部注)	41	5.7	５強	フィリピン海プレート内部

※震源の深さは、精度がやや劣るものは表記していない。
※発生場所は、フィリピン海プレートの中で発生した地震のうち、沈み込むプレートの内部で発生したものは「フィリピン海プレート内部」、それ以外は「フィリピン海プレート内」と表記している。
※太平洋プレートの沈み込みに伴う震源が深い地震は除く。
※主な地震は、11 月８日までのものを示す。
注）情報発表に用いた震央地名は「静岡県西部」である。

○深部低周波地震（微動）活動期間

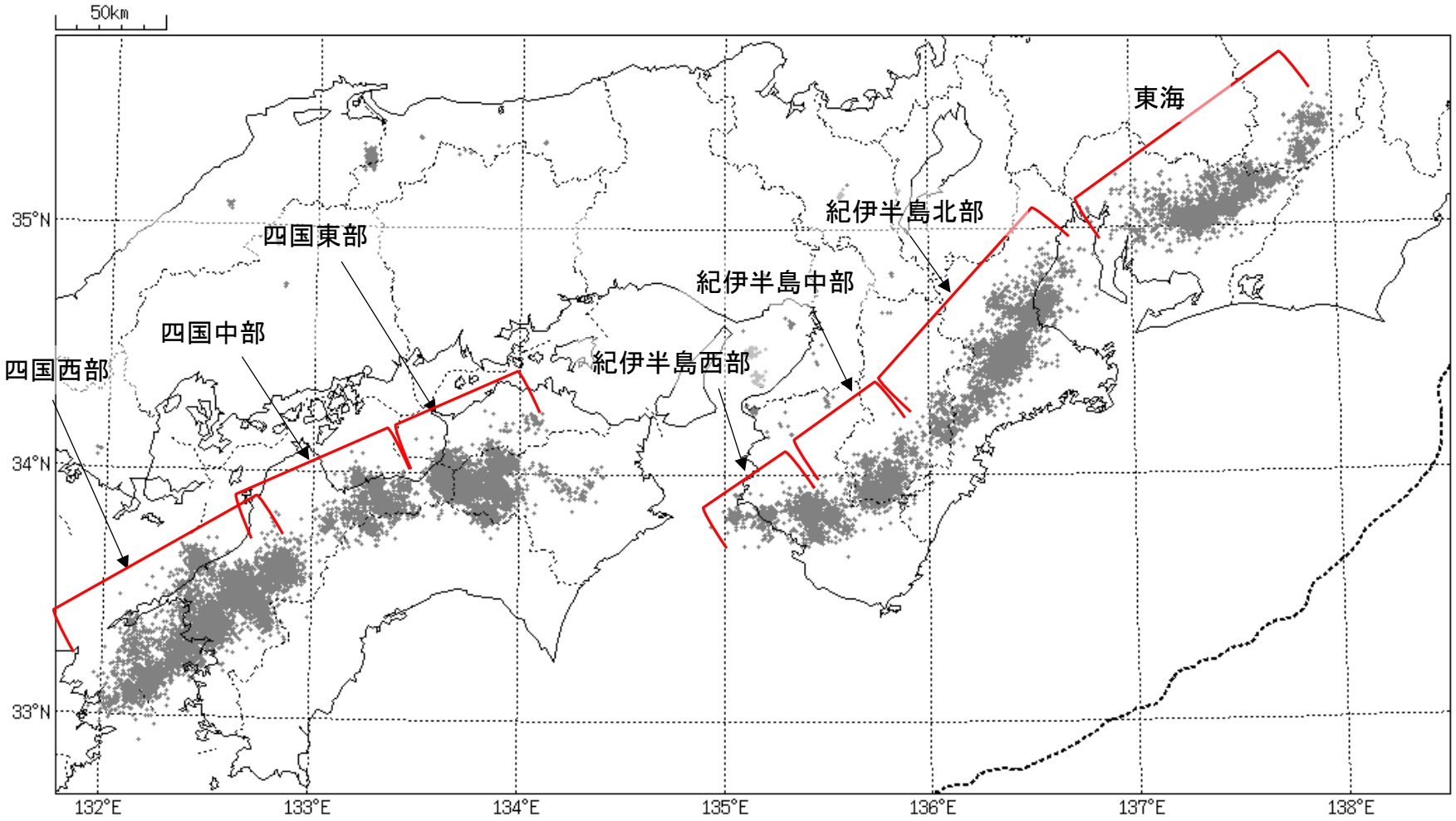
四国	紀伊半島	東海
■四国東部 10 月１日～２日 10 月６日 10 月 10 日～14 日 10 月 17 日 10 月 21 日～22 日 10 月 31 日 11 月５日 ■四国中部 10 月３日 10 月９日～10 日 10 月 20 日 10 月 27 日 11 月５日 ■四国西部 ９月 27 日～10 月 12 日注1)・・・（１） 10 月 14 日～16 日 10 月 19 日～11 月１日注2)・・・（３） 11 月３日～（継続中）	■紀伊半島北部 10 月 13 日～18 日注3)・・・（２） ■紀伊半島中部 10 月２日 10 月 18 日～19 日 ■紀伊半島西部 ９月 30 日～10 月１日 10 月 12 日 10 月 15 日	10 月２日～17 日注3)・・・（２） 10 月 23 日 10 月 31 日～11 月１日

※深部低周波地震（微動）活動は、気象庁一元化震源を用い、地域ごとの一連の活動（継続日数２日以上または活動日数１日の場合で複数個検知したもの）について、活動した場所ごとに記載している。
※ひずみ変化と同期して観測された深部低周波地震（微動）活動を赤字で示す。
※上の表中（１）、（２）、（３）を付した活動は、今期間、主な深部低周波地震（微動）活動として取り上げたもの。

注１） 防災科学技術研究所による解析では、10 月９日から 14 日頃にかけて微動活動が見られた。
注２） 防災科学技術研究所による解析では、10 月 21 日から 26 日頃にかけて微動活動が見られた。
注３） 防災科学技術研究所による解析では、10 月３日から 17 日頃にかけて微動活動が見られた。

気象庁作成

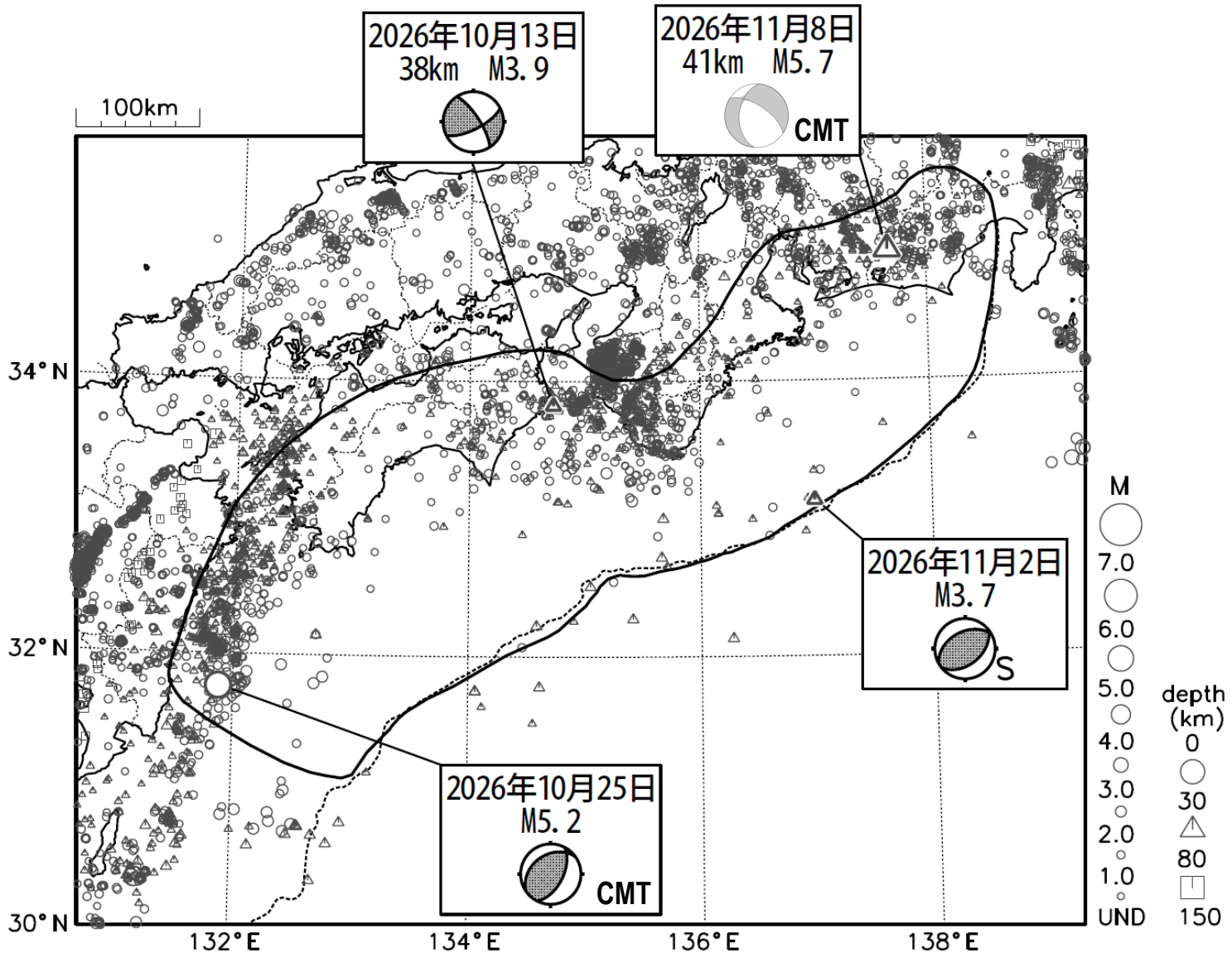
概況に記載している深部低周波地震（微動）の活動の場所



領域はObara(2010)を参考に作成。

出典：Obara, K. (2010), Phenomenology of deep slow earthquake family in southwest Japan: Spatiotemporal characteristics and segmentation, *J. Geophys. Res., 115*, B00A25, doi:10.1029/2008JB006048.

南海トラフ沿いとその周辺の広域地震活動（2026年10月1日～11月8日01時05分）



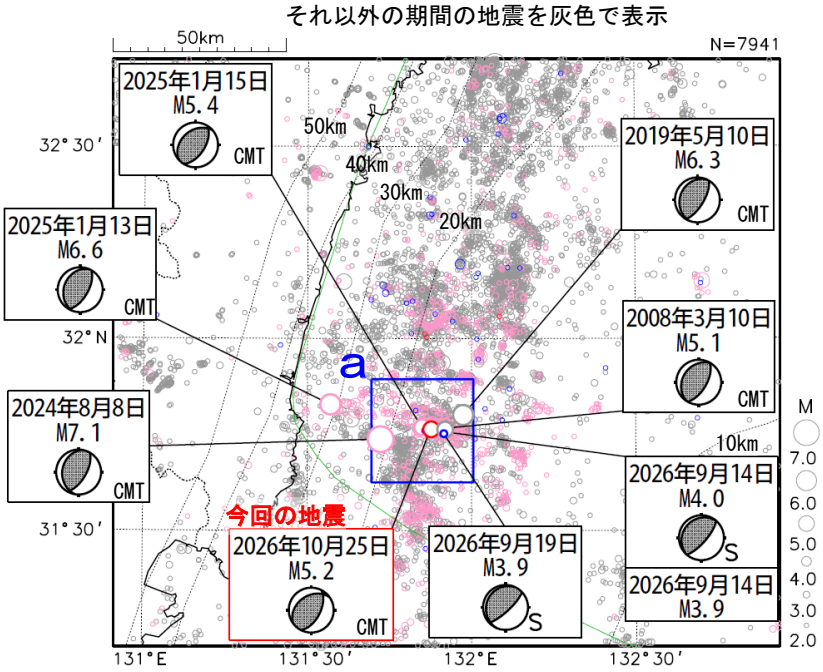
・図中の吹き出しは、南海トラフ巨大地震の想定震源域とその周辺で最大震度3以上を観測した地震もしくはM3.5以上の地震、それ以外の陸域M5.0以上・海域M6.0以上とその他の主な地震。
・震源の深さは、精度がやや劣るものは表記していない。
・発震機構解の横に「S」の表記があるものは、精度がやや劣るものである。
・2026年11月7日以降の震源データは速報値を含む。

気象庁作成

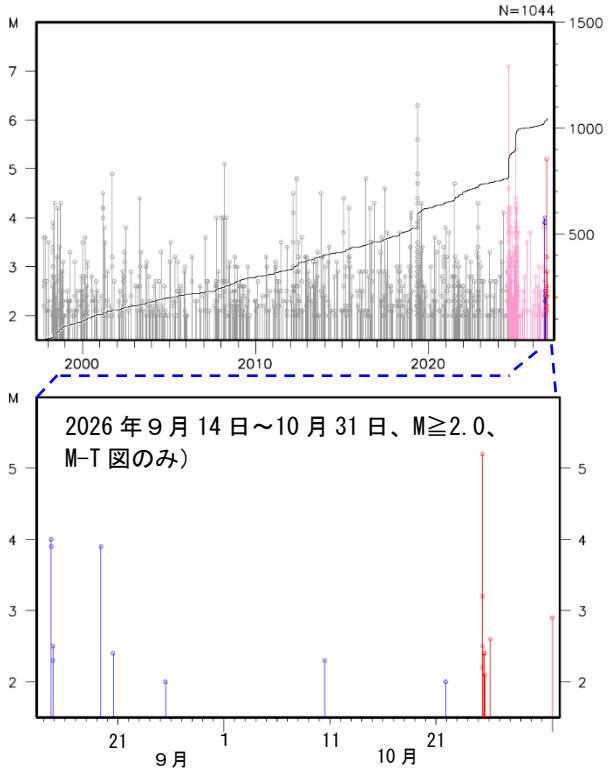
10 月 25 日　日向灘の地震

2026 年 10 月 25 日 08 時 59 分に日向灘で M5.2 の地震（Mw5.2、最大震度３）が発生した。この地震は、発震機構が北西－南東方向に圧力軸を持つ逆断層型で、フィリピン海プレートと陸のプレートの境界で発生した。

震央分布図
（1997 年 10 月１日～2026 年 10 月 31 日、深さ０～60km、M≧2.0）
2024 年８月８日～2026 年９月 13 日の地震を桃色で表示、
2026 年９月 14 日～10 月 24 日の地震を青色で表示、
2026 年 10 月 25 日以降の地震を赤色で表示、
それ以外の期間の地震を灰色で表示



領域ａ内の M-T 図及び回数積算図



※ 発震機構解の横に「S」の表記があるものは、精度がやや劣るものである。
※ 震央分布図中の黒色の点線は、Baba et al. (2002)、Hirose et al. (2008)及び Nakajima and Hasegawa (2007)によるフィリピン海プレート上面のおおよその深さを示す。緑色線は南海トラフ巨大地震の監視領域を示す。

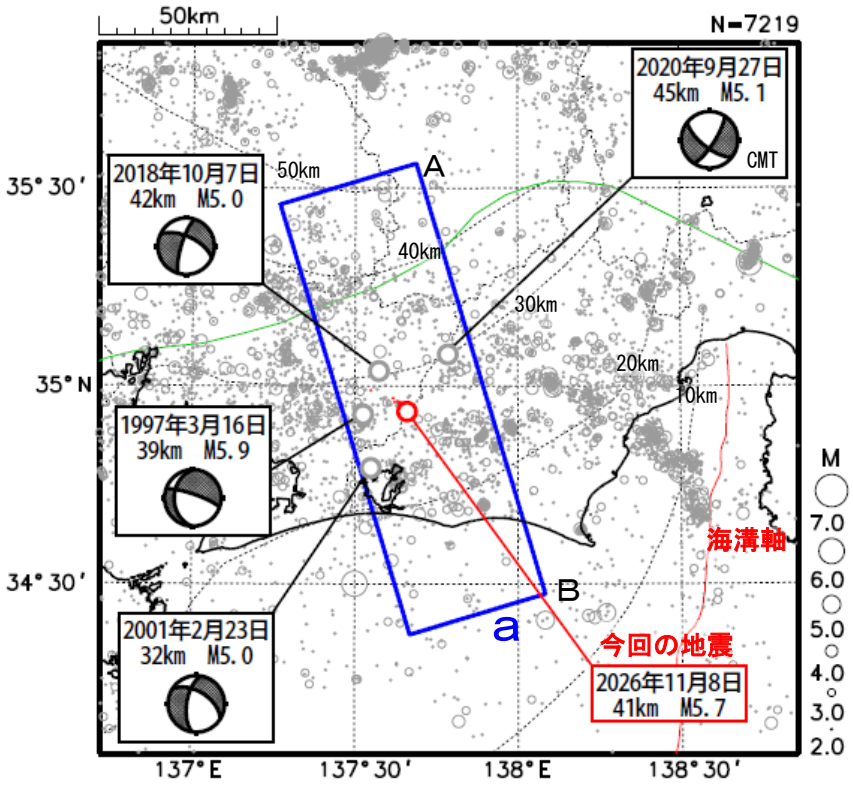
気象庁作成

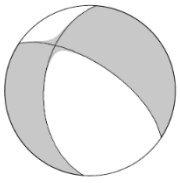
11 月８日　愛知県東部の地震

情報発表に用いた震央地名は「静岡県西部」である

2026 年 11 月８日 01 時 04 分に愛知県東部で M5.7 の地震（Mw5.6、最大震度５強）が発生した。この地震は、発震機構が東北東－西南西方向に張力軸を持つ型で、フィリピン海プレート内部で発生した。

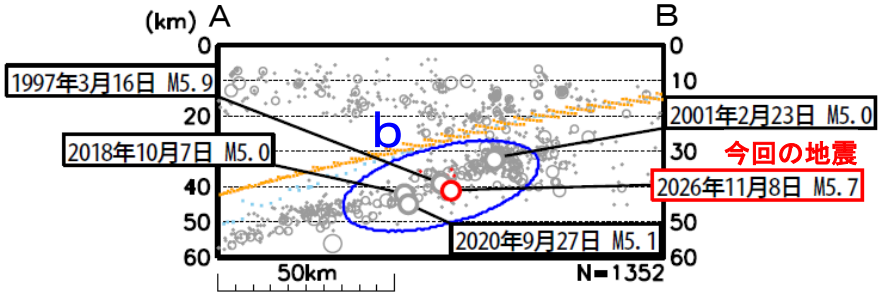
震央分布図
（1990 年１月１日～2026 年 11 月８日、深さ０～60km、M≧2.0）
2026 年 11 月８日の地震を赤色で表示



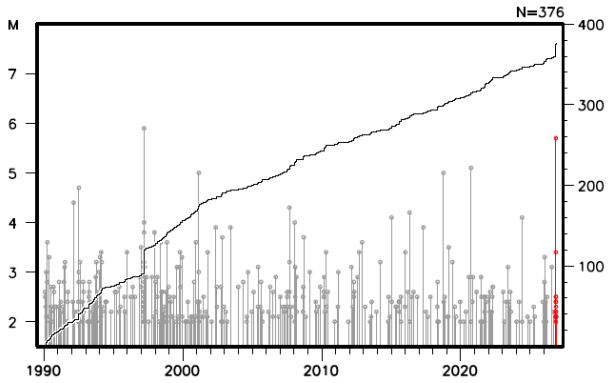


今回の地震の CMT 解
Mw5.6 セントロイドの深さ 34km

領域ａ内の断面図（Ａ－Ｂ投影）



領域ｂ内の M-T 図及び回数積算図



※ 震央分布図中の黒色の点線は、Baba et al. (2002)、Hirose et al. (2008)及び Nakajima and Hasegawa (2007)による フィリピン海プレート上面のおおよその深さを示す。緑色線は南海トラフ巨大地震の監視領域を示す。
※ 断面図中の水色の点線は Hirose et al. (2008)、Baba et al. (2002)、橙色の点線は内閣府 (2011) による フィリピン海プレート上面のおおよその深さを示す。
※ 2026 年 11 月８日の震源要素は、今後の精査で変更する場合がある。

気象庁作成

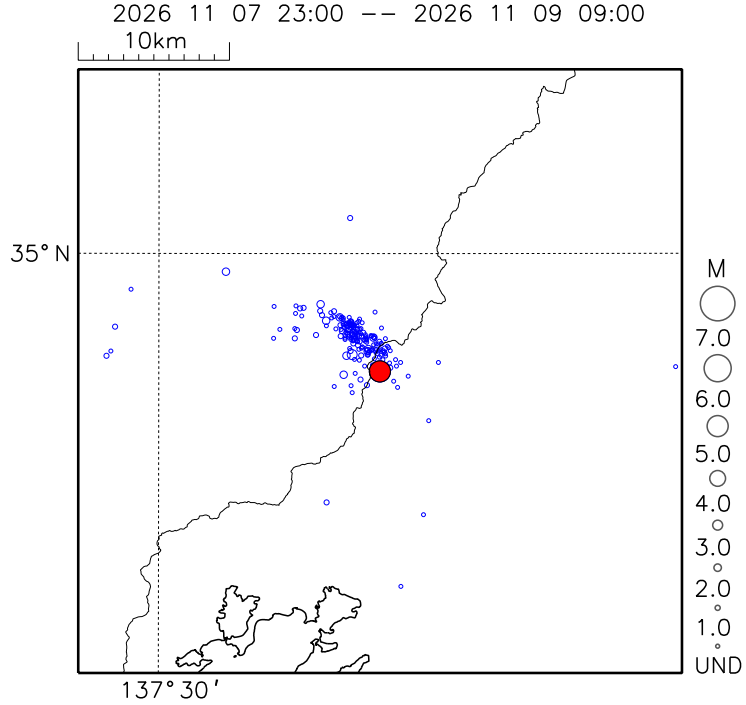
今回の地震活動

震央分布図（詳細図）

震央分布図（広域図）の四角形領域内の震央分布図

深さ0 -- 100km、　M　全て

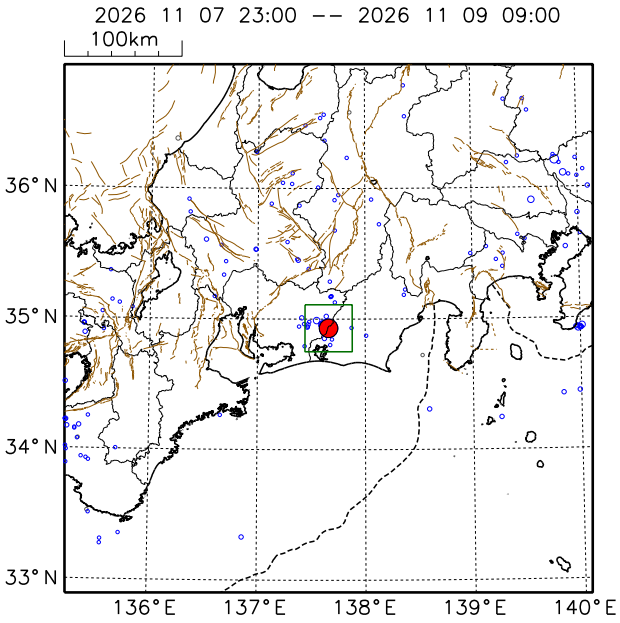
2026 11 07 23:00 -- 2026 11 09 09:00



震央分布図（広域図）

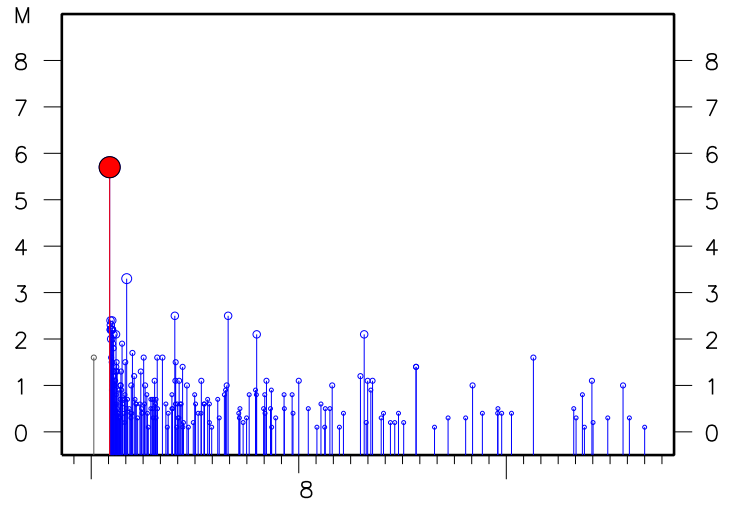
深さ0 -- 100km、　M　全て

2026 11 07 23:00 -- 2026 11 09 09:00



震央分布図（詳細図）の地震活動経過図

2026 11 07 23:00 -- 2026 11 09 09:00



(震源の色について)赤色：今回の地震、青色：今回の地震より後に発生した地震、灰色：今回の地震より前に発生した地震

- 震央分布図中の茶色の細線は、地震調査研究推進本部の長期評価による活断層を示す。
- 震央分布図中の黒色の点線は、海溝軸を示す。

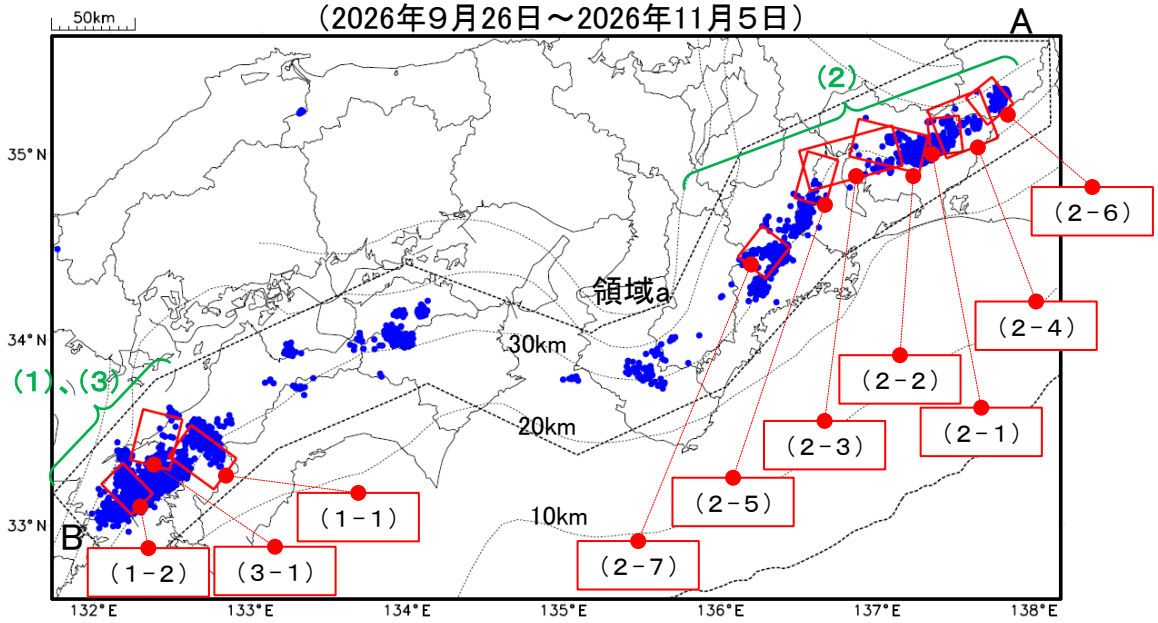
＜資料の利用上の留意点＞

- 表示している震源は、速報値を含みます。
- 速報値の震源には、発破等の地震以外のものや、誤差の大きなものが表示されることがあります。
- 個々の震源の位置や規模ではなく、震源の分布具合や活動の盛衰に着目して地震活動の把握にご利用ください。

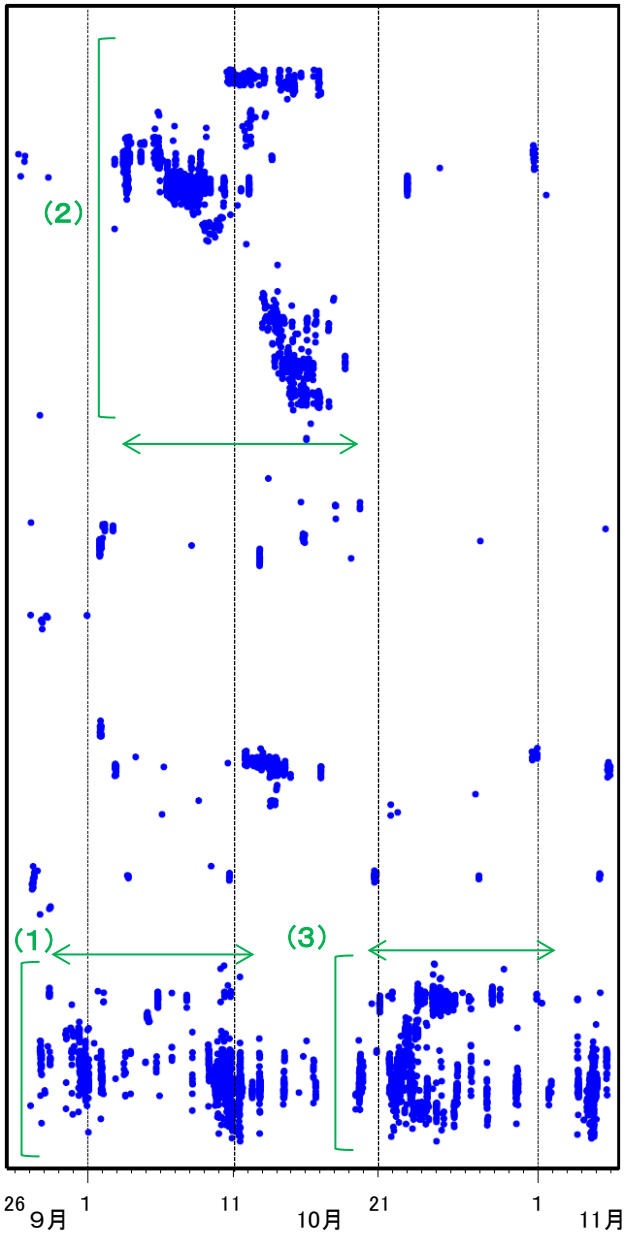
気象庁作成

深部低周波地震（微動）活動と短期的ゆっくりすべりの全体概要

深部低周波地震（微動）の震央分布図と短期的ゆっくりすべりの断層モデル
（2026年９月26日～2026年11月５日）



領域a（点線矩形）内の深部低周波地震（微動）の時空間分布図（A–B投影）



気象庁作成

主な深部低周波地震（微動）活動と短期的ゆっくりすべり

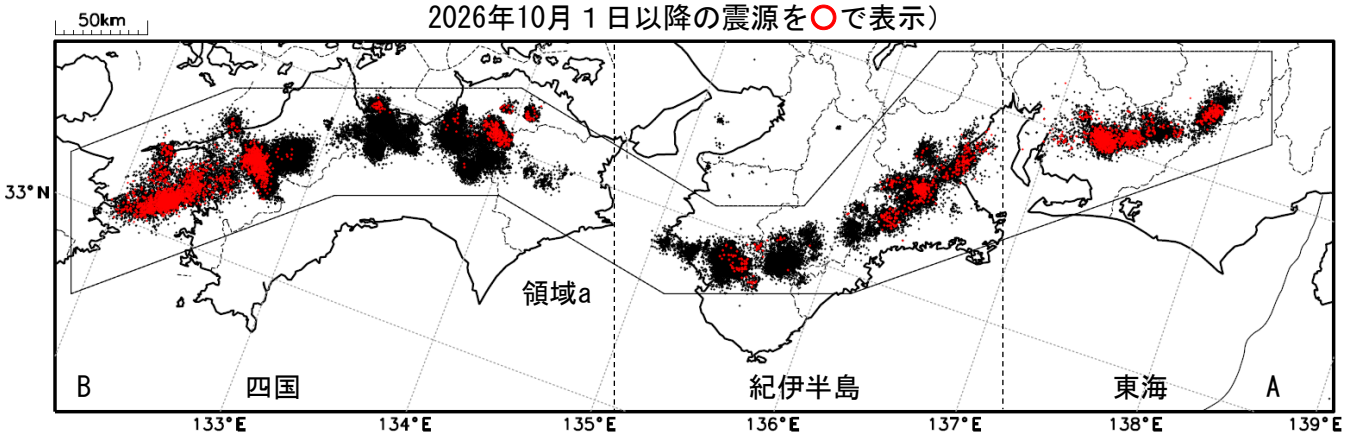
活動場所		深部低周波地震(微動)活動の期間	短期的ゆっくりすべりの期間と規模
（1）	四国西部	９月27日～10月12日	（１－１） ９月28日00時～10月１日24時：Mw5.5 （１－２） 10月10日00時～10月10日24時：Mw5.6
（2）	東海 から 紀伊半島北部	10月２日～18日	（２－１） 10月３日00時～10月５日24時：Mw5.4 （２－２） 10月６日00時～10月８日24時：Mw5.8 （２－３） 10月９日00時～10月10日24時：Mw5.9 （２－４） 10月11日12時～10月12日12時：Mw5.2 （２－５） 10月12日00時～10月13日24時：Mw5.8 （２－６） 10月14日00時～10月15日24時：Mw5.3 （２－７） 10月14日00時～10月15日24時：Mw5.9
（3）	四国西部	10月19日～11月１日	（３－１） 10月21日00時～10月22日24時：Mw5.6

●：深部低周波地震（微動）の震央（気象庁の解析結果を示す）
□：短期的ゆっくりすべりの断層モデル（気象庁の解析結果を示す。）
点線は、Baba et al.(2002)、Hirose et al.(2008)、Nakajima and Hasegawa(2007)によるフィリピン海プレート上面の深さ（10kmごとの等深線）を示す。

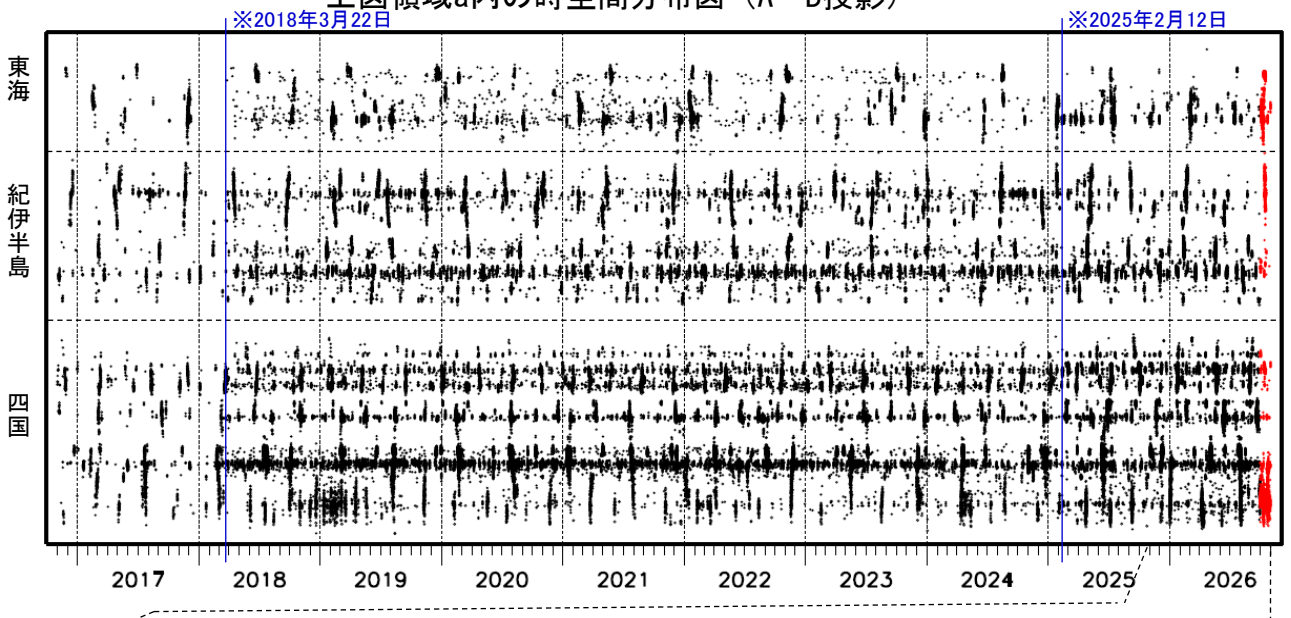
深部低周波地震（微動）活動（2016年11月１日～2026年10月31日）

深部低周波地震（微動）は、「短期的ゆっくりすべり」に密接に関連する現象とみられており、プレート境界の状態の変化を監視するために、その活動を監視している。

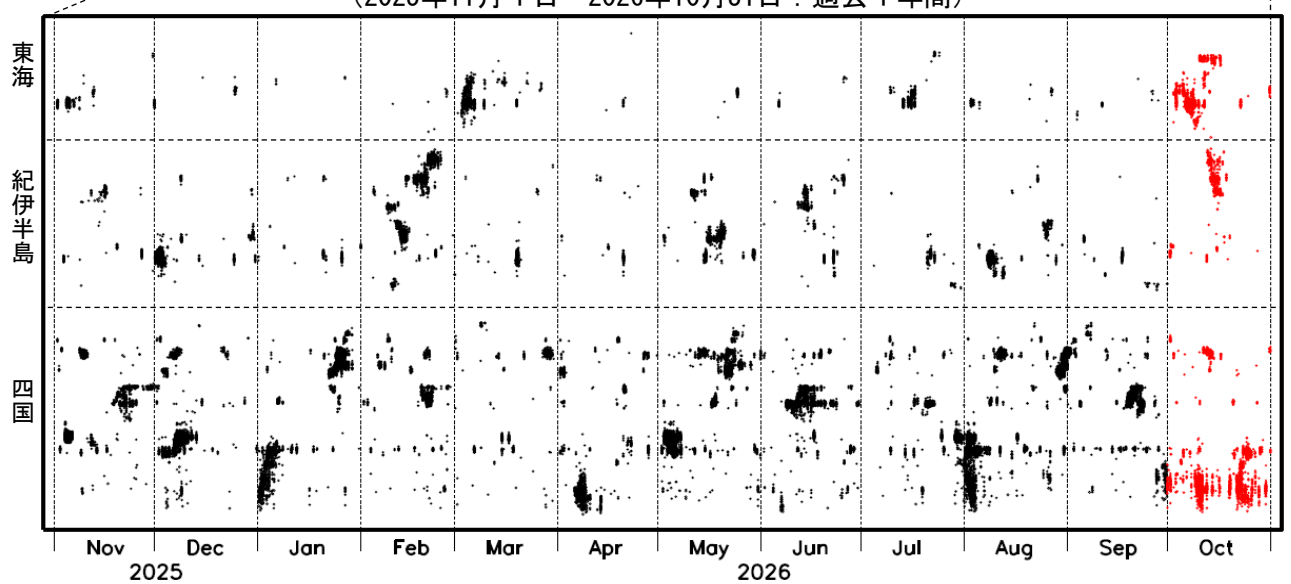
震央分布図（2016年11月１日～2026年10月31日：過去10年間
2026年10月１日以降の震源を○で表示）



上図領域a内の時空間分布図（A－B投影）



（2025年11月１日～2026年10月31日：過去１年間）

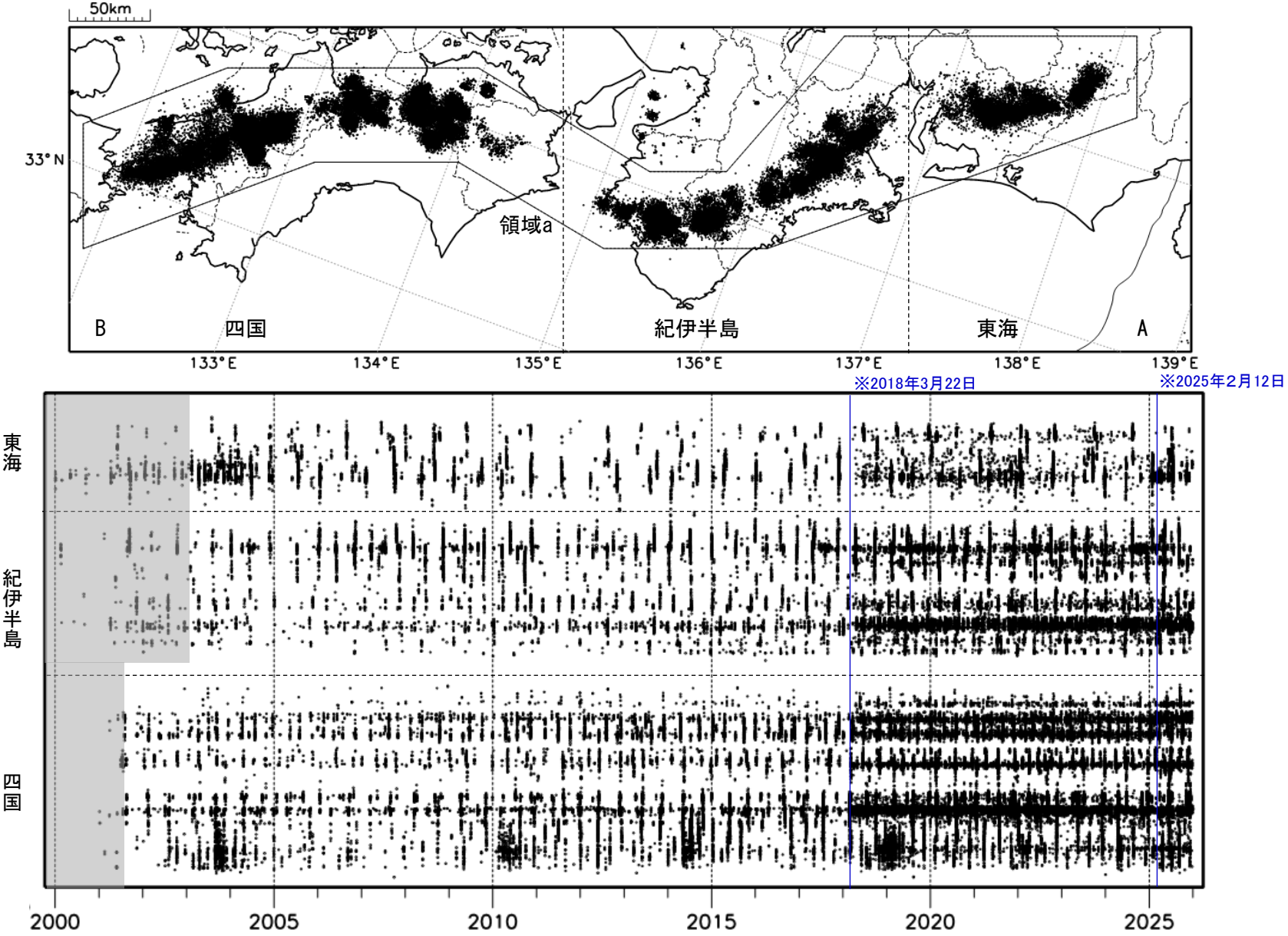


※2018年３月22日、および、2025年2月12日から、深部低周波地震（微動）の検知手法の改善により、
それ以前と比較して検知能力がそれぞれ変わっている。

気象庁作成

深部低周波地震（微動）活動（2000年１月１日～2025年12月31日）

深部低周波地震（微動）は、「短期的ゆっくりすべり」に密接に関連する現象とみられており、プレート境界の状態の変化を監視するために、その活動を監視している。



※2018年３月22日、および、2025年2月12日から、深部低周波地震（微動）の検知手法の改善により、それ以前と比較して検知能力が変わっている。
※時空間分布図中、灰色の期間は、それ以降と比較して十分な検知能力がなかったことを示す。

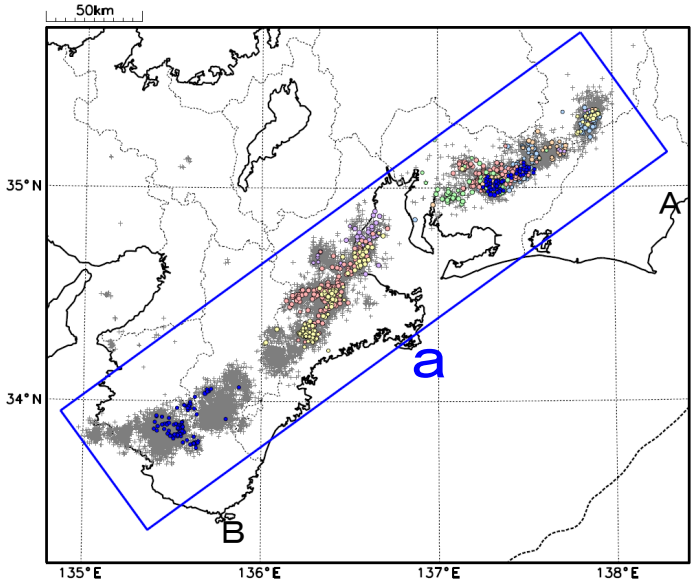
気象庁作成

東海から紀伊半島北部の深部低周波地震（微動）活動と短期的ゆっくりすべり

10月２日から18日にかけて東海から紀伊半島北部で深部低周波地震（微動）を観測した。
深部低周波地震（微動）活動とほぼ同期して、周辺に設置されている複数のひずみ計・傾斜計で地殻変動を観測した。これらは、短期的ゆっくりすべりに起因すると推定される。

深部低周波地震（微動）活動

震央分布図
（2020年10月１日～2026年10月31日、
深さ０～60km、Mすべて）



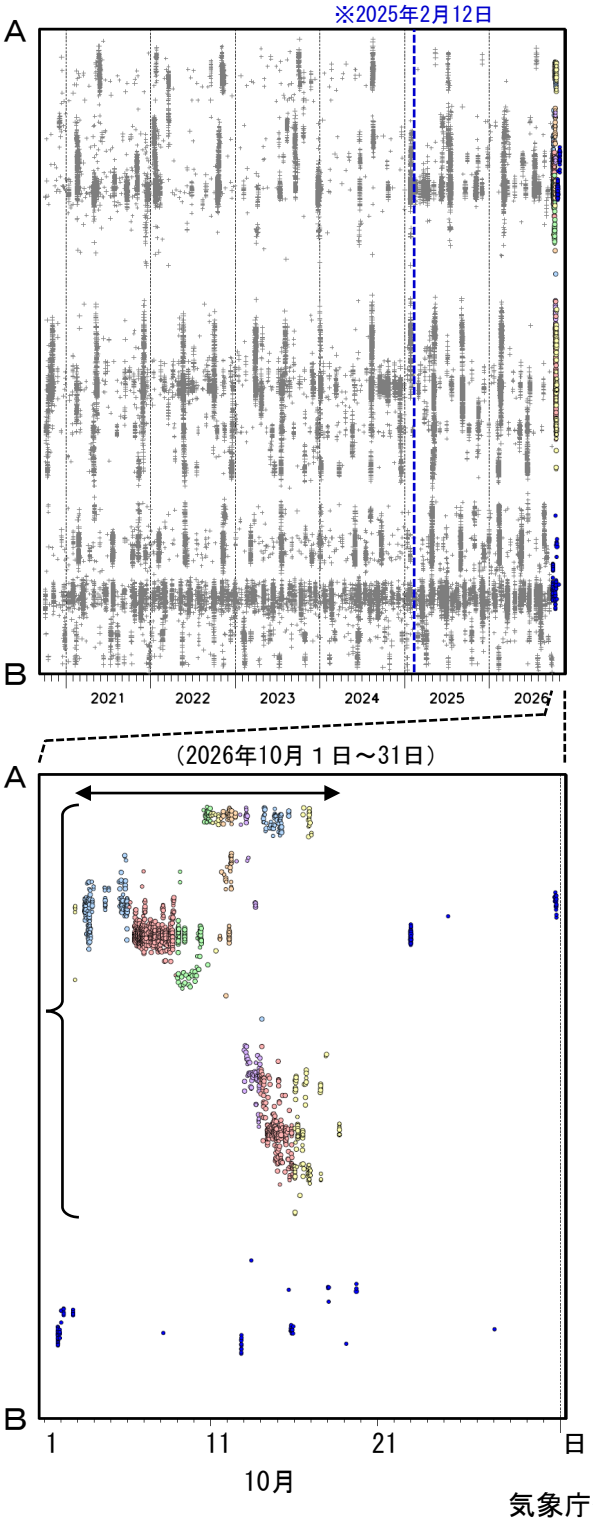
凡例
＋：2020年10月１日～2026年９月30日
●：2026年10月１日～

ただし、ひずみ変化と同期して観測された深部低周波地震（微動）活動の色分けは以下のとおり。

東海
●：10月２日00時～24時
●：10月３日00時～５日24時
●：10月６日00時～８日24時
●：10月９日00時～10日24時
●：10月11日00時～12時
●：10月11日12時～12日12時
●：10月12日12時～13日24時
●：10月14日00時～15日24時
●：10月16日00時～17日24時

紀伊半島北部
●：10月13日00時～13日24時
●：10月14日00時～15日24時
●：10月16日00時～18日24時

領域a内の時空間分布図
（Ａ－Ｂ投影）

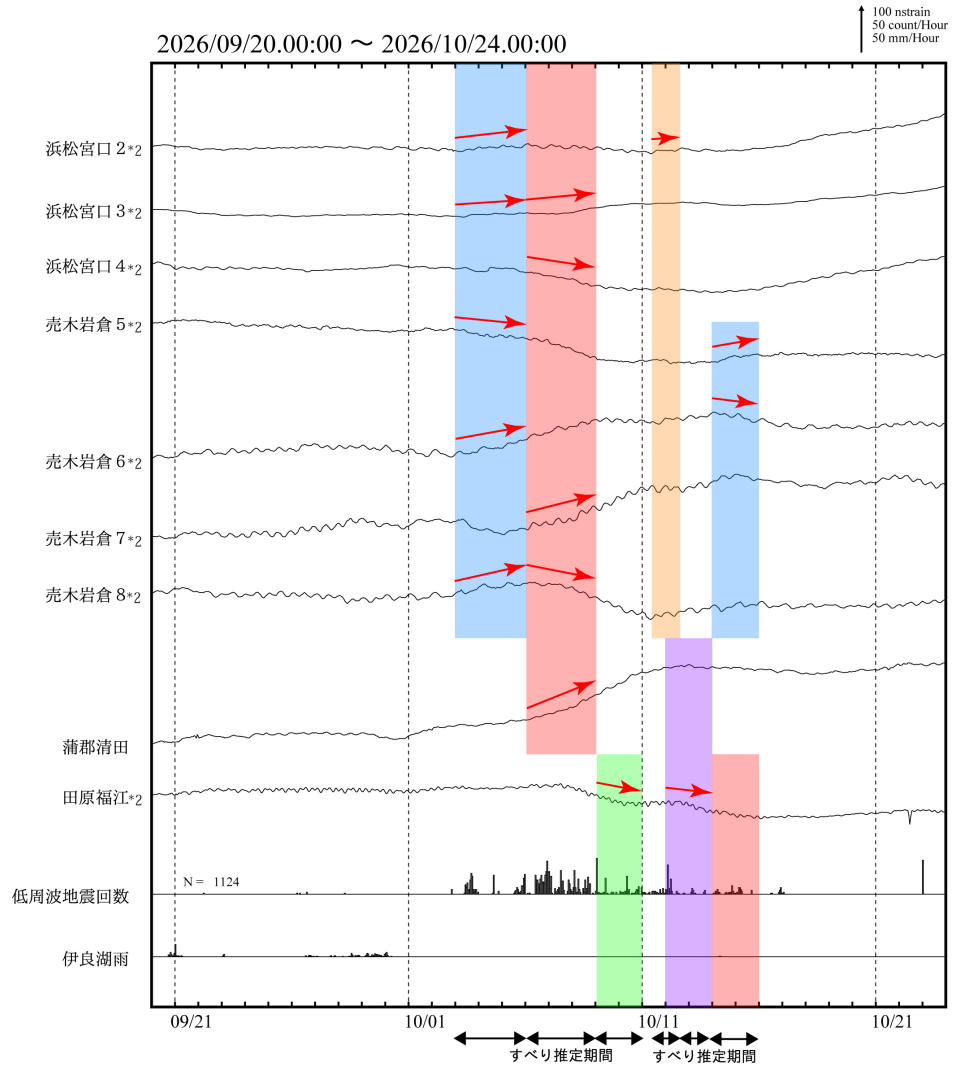


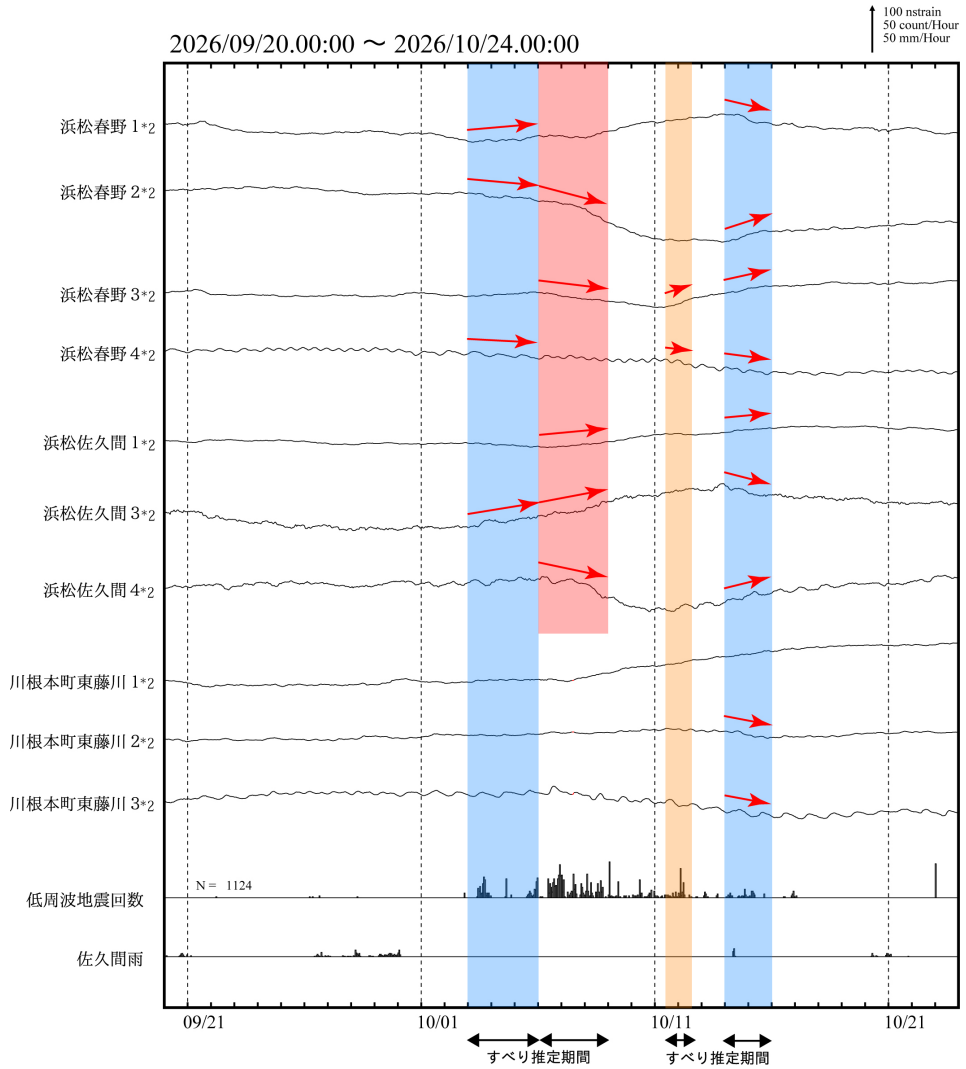
気象庁作成

※2025年2月12日から、深部低周波地震（微動）の検知手法の改善により、それ以前と比較して検知能力が変わっている。

東海から紀伊半島北部で観測した短期的ゆっくりすべり（10月3日～15日）

静岡県から愛知県で観測されたひずみ変化



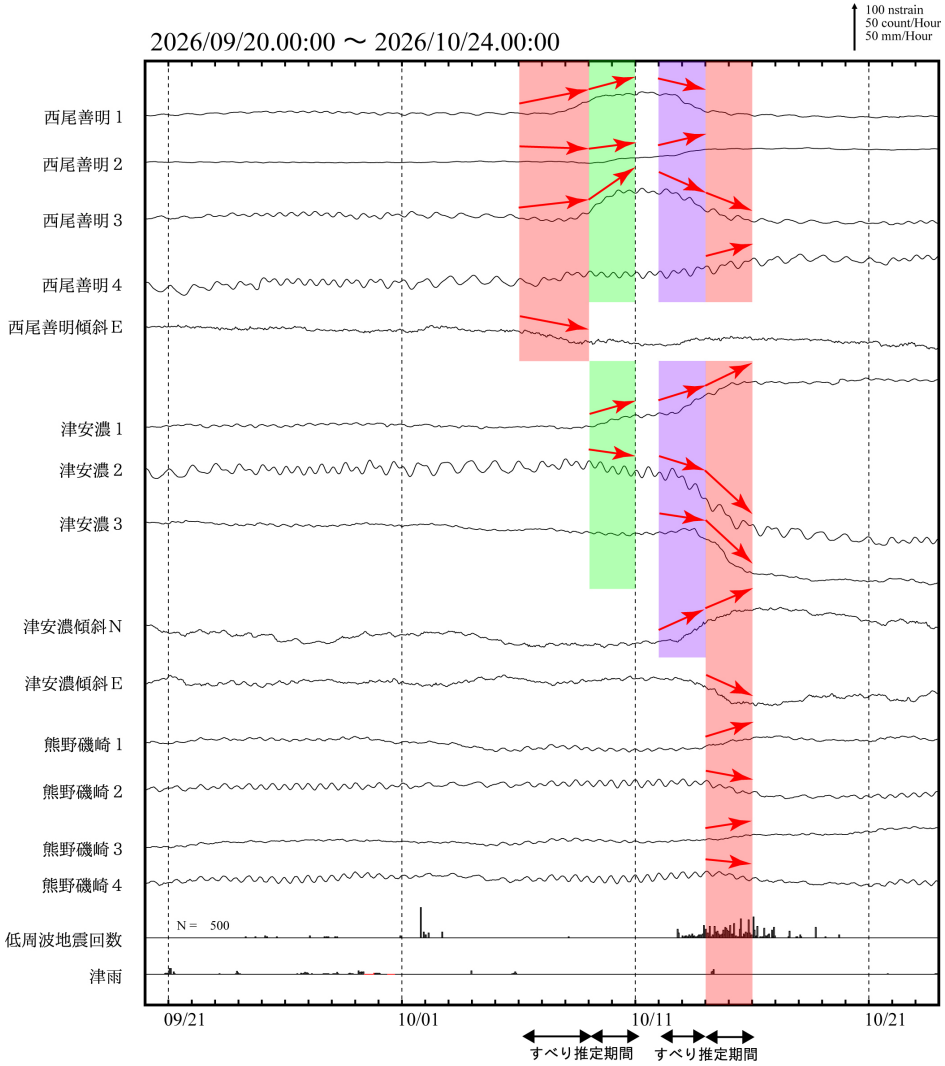


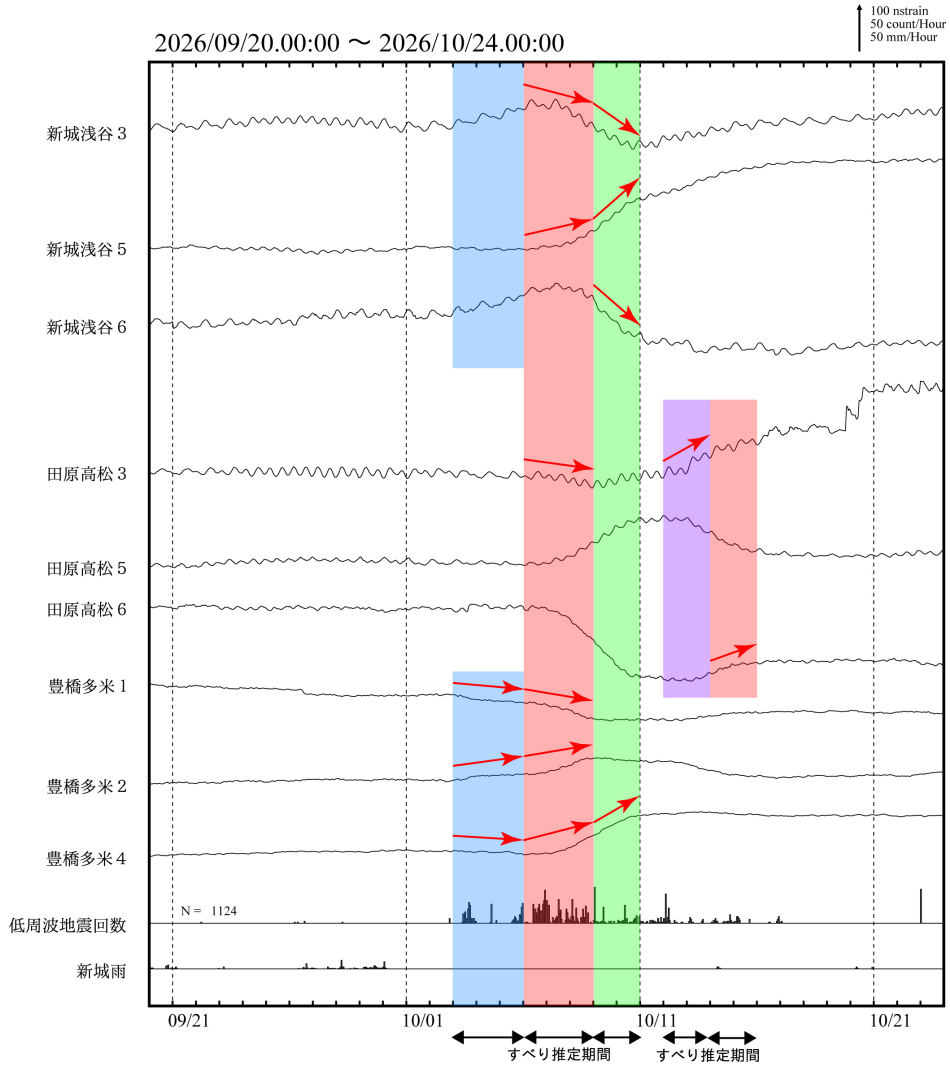
浜松春野及び川根本町東藤川は静岡県のひずみ計である。
解析に使用したチャネルについては背景色を塗り、そのうち有意な変化が見られたチャネルに赤矢印を描画している。
低周波地震回数はゆっくりすべりを示す断層モデル周辺で発生したものを積算している。

気象庁作成

東海から紀伊半島北部で観測した短期的ゆっくりすべり（10月3日～15日）

愛知県から三重県で観測されたひずみ・傾斜変化



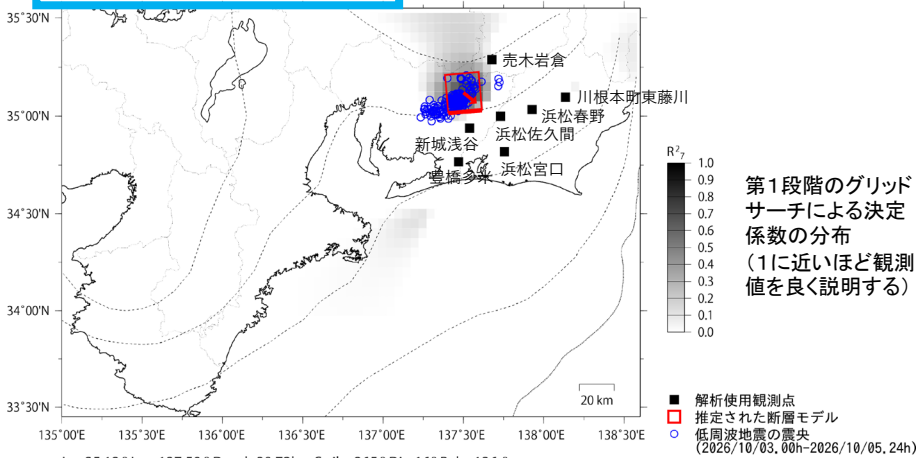


豊橋多米、西尾善明、津安濃及び熊野磯崎は産業技術総合研究所のひずみ・傾斜計である。
解析に使用したチャネルについては背景色を塗り、そのうち有意な変化が見られたチャネルに赤矢印を描画している。
低周波地震回数はゆっくりすべりを示す断層モデル周辺で発生したものを積算している。

気象庁作成

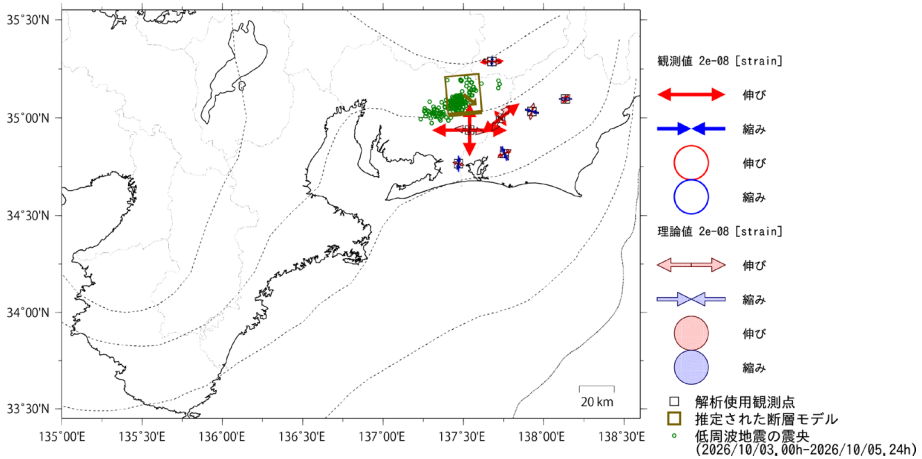
東海から紀伊半島北部で観測した短期的ゆっくりすべり（10月3日～15日）

2026年10月3日0時～5日24時　Mw5.4

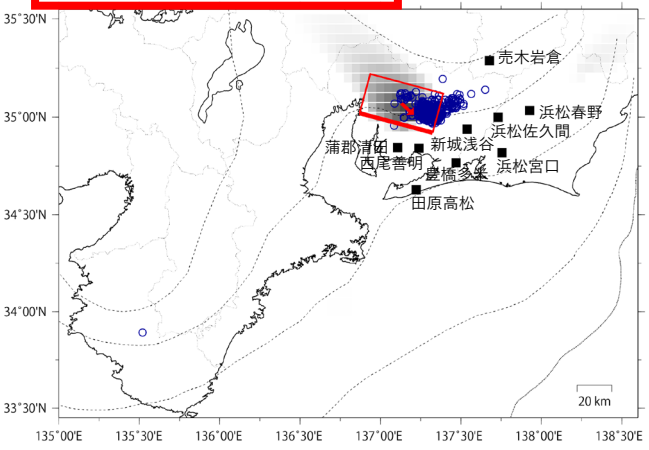


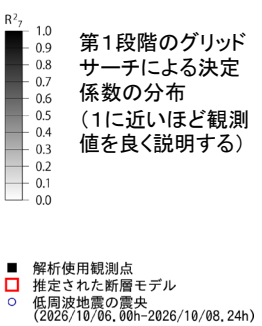
第1段階のグリッドサーチによる決定係数の分布（1に近いほど観測値を良く説明する）

Lat:35.12° Lon:137.50° Depth:38.72km Strike:265° Dip:16° Rake:136 °
Length:19.1km Width:22.6km Slip:9.40mm Mw:5.41 R^2_7:0.764



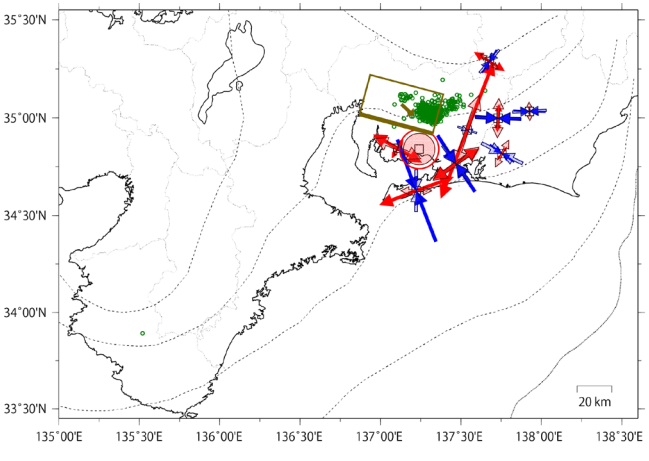
2026年10月6日0時～8日24時　Mw5.8





第1段階のグリッドサーチによる決定係数の分布（1に近いほど観測値を良く説明する）

Lat:35.07° Lon:137.13° Depth:38.62km Strike:285° Dip:11° Rake:152 °
Length:42.8km Width:23.5km Slip:16.90mm Mw:5.82 R^2_7:0.822



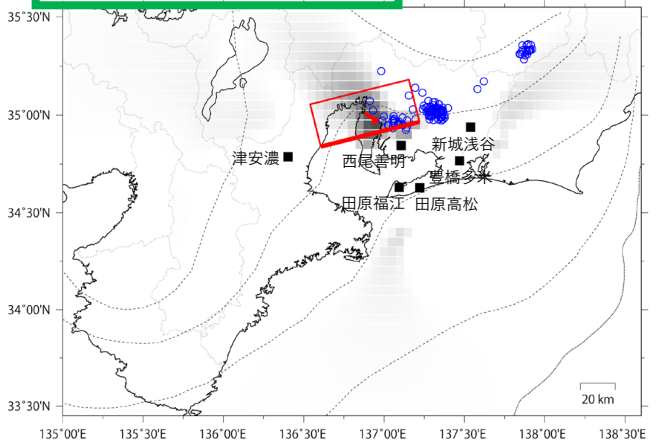
時系列図に示す観測点での変化量をもとにすべり推定を行ったところ、図の場所にゆっくりすべりを示す断層モデルが求まった。

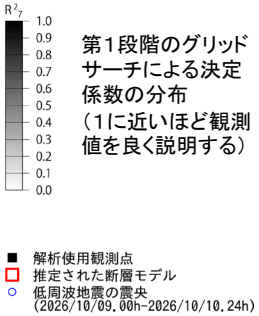
断層モデルの推定は、産総研の解析方法（板場ほか，2012）を参考に以下の2段階で行う。
・断層サイズを20km×20kmに固定し、位置を0.05度単位でグリッドサーチにより推定する。
・その位置を中心にして、他の断層パラメータの最適解を求める。

気象庁作成

東海から紀伊半島北部で観測した短期的ゆっくりすべり（10月3日～15日）

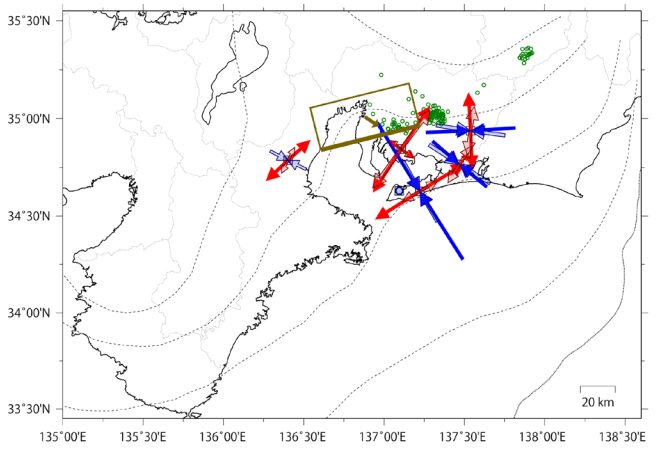
2026年10月9日0時～10日24時　Mw5.9

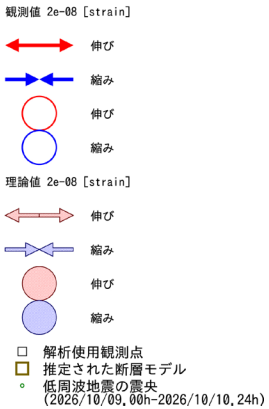




第１段階のグリッドサーチによる決定係数の分布（１に近いほど観測値を良く説明する）

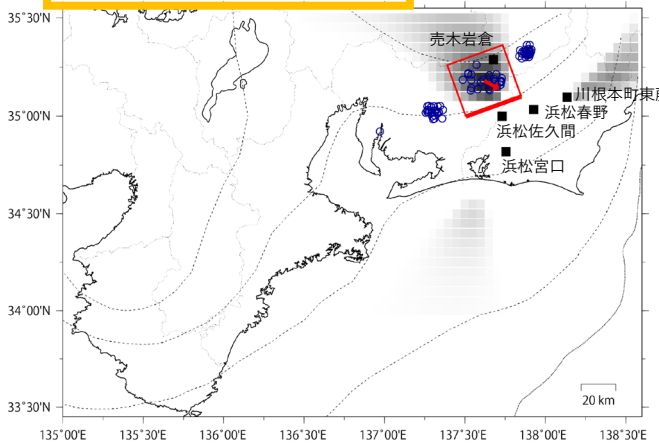
Lat:35.01° Lon:136.88° Depth:35.46km Strike:256° Dip:8° Rake:132 °
Length:57.6km Width:25.0km Slip:16.00mm Mw:5.91 R^2_7:0.823

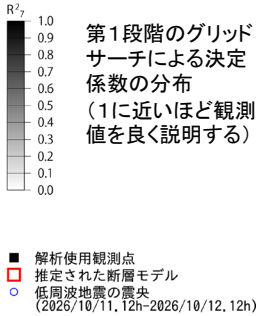




2026年10月11日12時～12日12時　Mw5.2

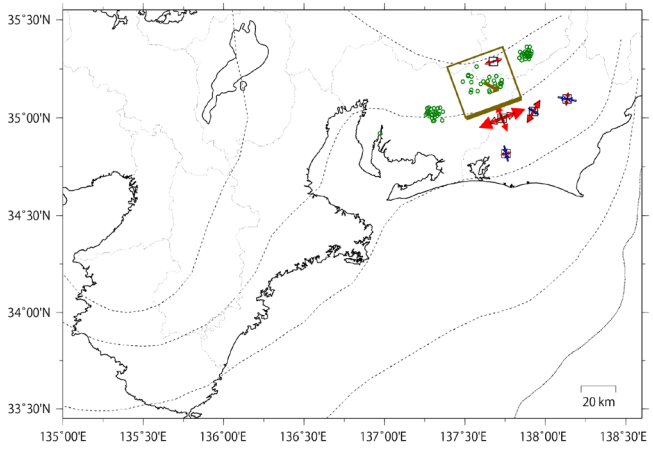
参考

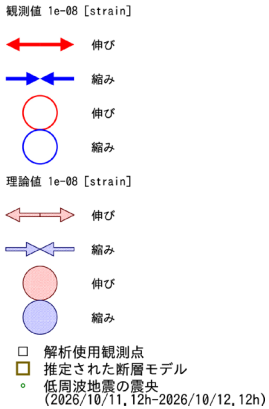




第１段階のグリッドサーチによる決定係数の分布（１に近いほど観測値を良く説明する）

Lat:35.18° Lon:137.62° Depth:34.95km Strike:250° Dip:21° Rake:131 °
Length:33.3km Width:33.2km Slip:1.70mm Mw:5.19 R^2_7:0.931





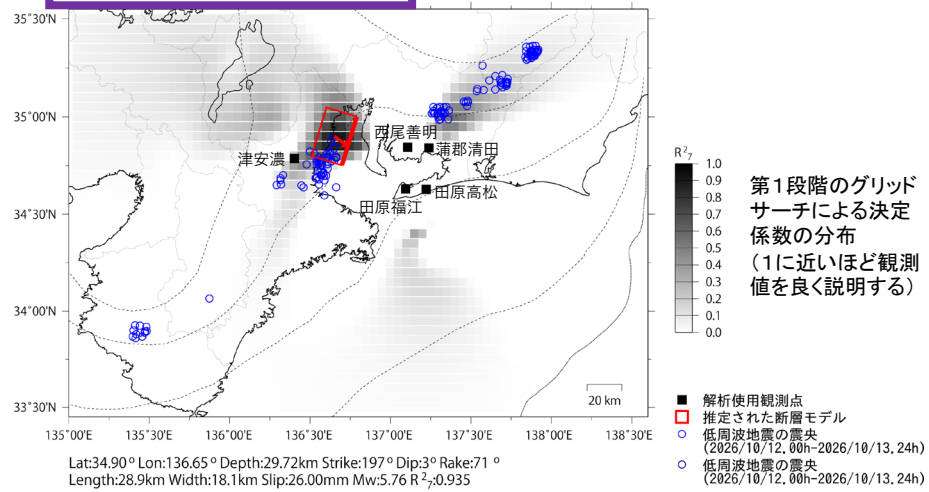
時系列図に示す観測点での変化量をもとにすべり推定を行ったところ、図の場所にゆっくりすべりを示す断層モデルが求まった。

断層モデルの推定は、産総研の解析方法（板場ほか，2012）を参考に以下の2段階で行う。
・断層サイズを20km×20kmに固定し、位置を0.05度単位でグリッドサーチにより推定する。
・その位置を中心にして、他の断層パラメータの最適解を求める。

気象庁作成

東海から紀伊半島北部で観測した短期的ゆっくりすべり（10月3日～15日）

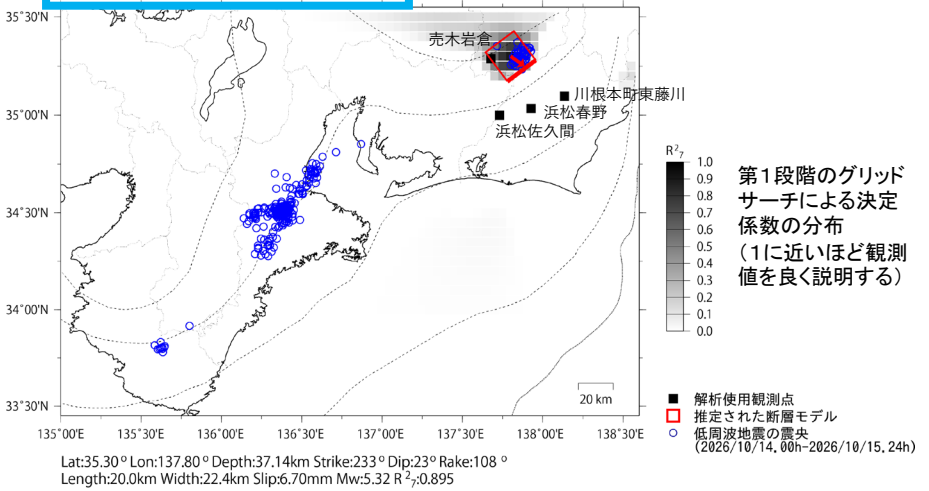
2026年10月12日0時～13日24時　Mw5.8



第1段階のグリッドサーチによる決定係数の分布（1に近いほど観測値を良く説明する）

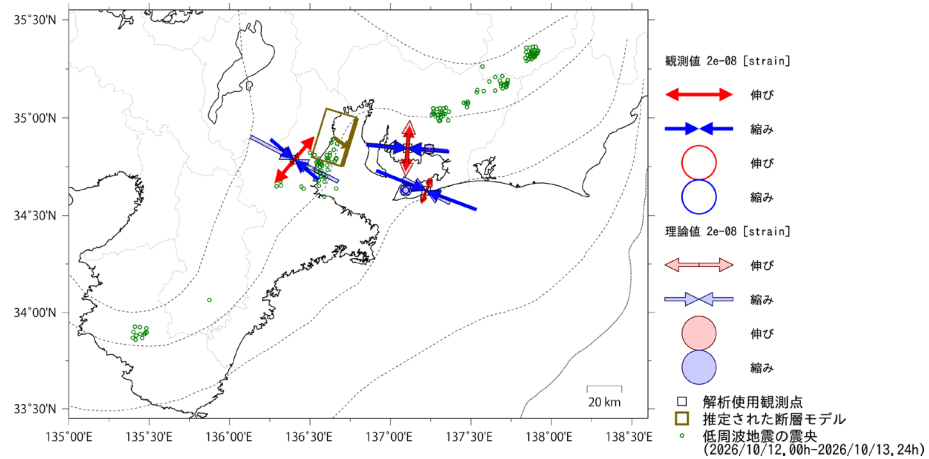
Lat:34.90° Lon:136.65° Depth:29.72km Strike:197° Dip:3° Rake:71 °
Length:28.9km Width:18.1km Slip:26.00mm Mw:5.76 R^2_7:0.935

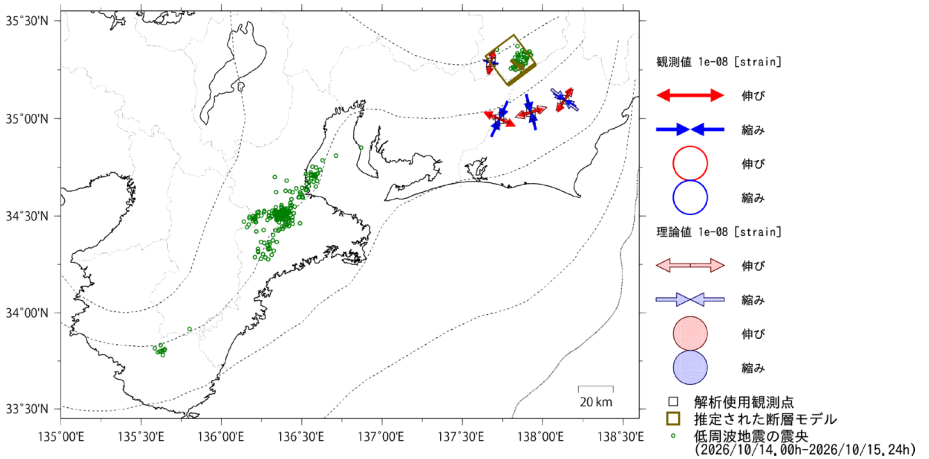
2026年10月14日0時～15日24時　Mw5.3



第1段階のグリッドサーチによる決定係数の分布（1に近いほど観測値を良く説明する）

Lat:35.30° Lon:137.80° Depth:37.14km Strike:233° Dip:23° Rake:108 °
Length:20.0km Width:22.4km Slip:6.70mm Mw:5.32 R^2_7:0.895



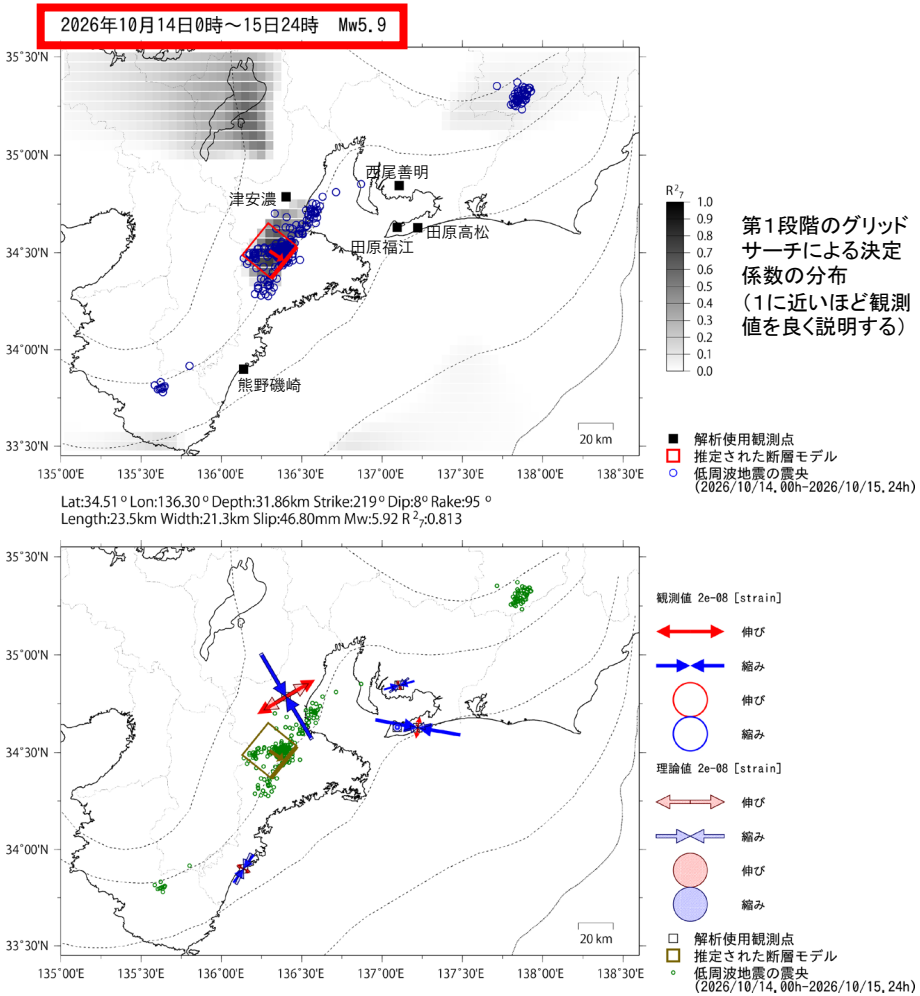


時系列図に示す観測点での変化量をもとにすべり推定を行ったところ、図の場所にゆっくりすべりを示す断層モデルが求まった。

断層モデルの推定は、産総研の解析方法（板場ほか，2012）を参考に以下の2段階で行う。
・断層サイズを20km×20kmに固定し、位置を0.05度単位でグリッドサーチにより推定する。
・その位置を中心にして、他の断層パラメータの最適解を求める。

気象庁作成

東海から紀伊半島北部で観測した短期的ゆっくりすべり（10月3日～15日）



時系列図に示す観測点での変化量をもとにすべり推定を行ったところ、図の場所にゆっくりすべりを示す断層モデルが求まった。

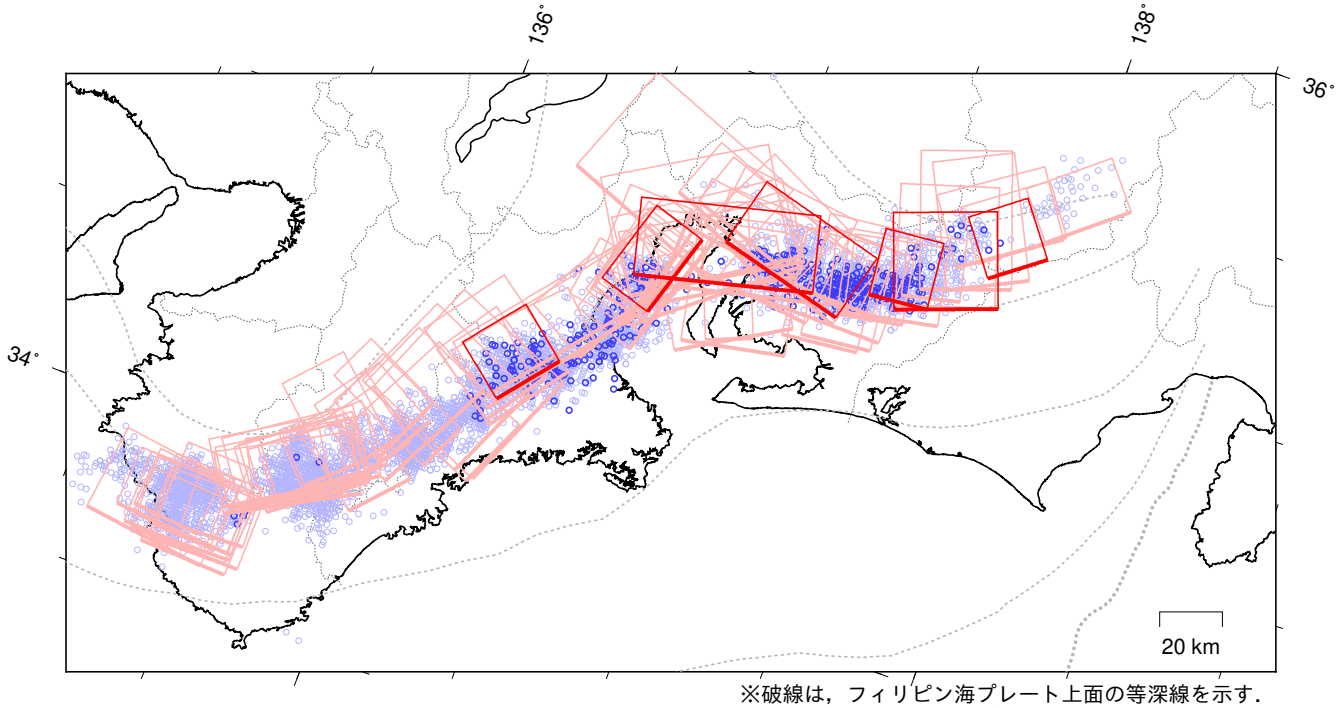
断層モデルの推定は、産総研の解析方法（板場ほか，2012）を参考に以下の2段階で行う。
・断層サイズを20km×20kmに固定し、位置を0.05度単位でグリッドサーチにより推定する。
・その位置を中心にして、他の断層パラメータの最適解を求める。

気象庁作成

東海～紀伊半島 短期的ゆっくりすべりの活動状況

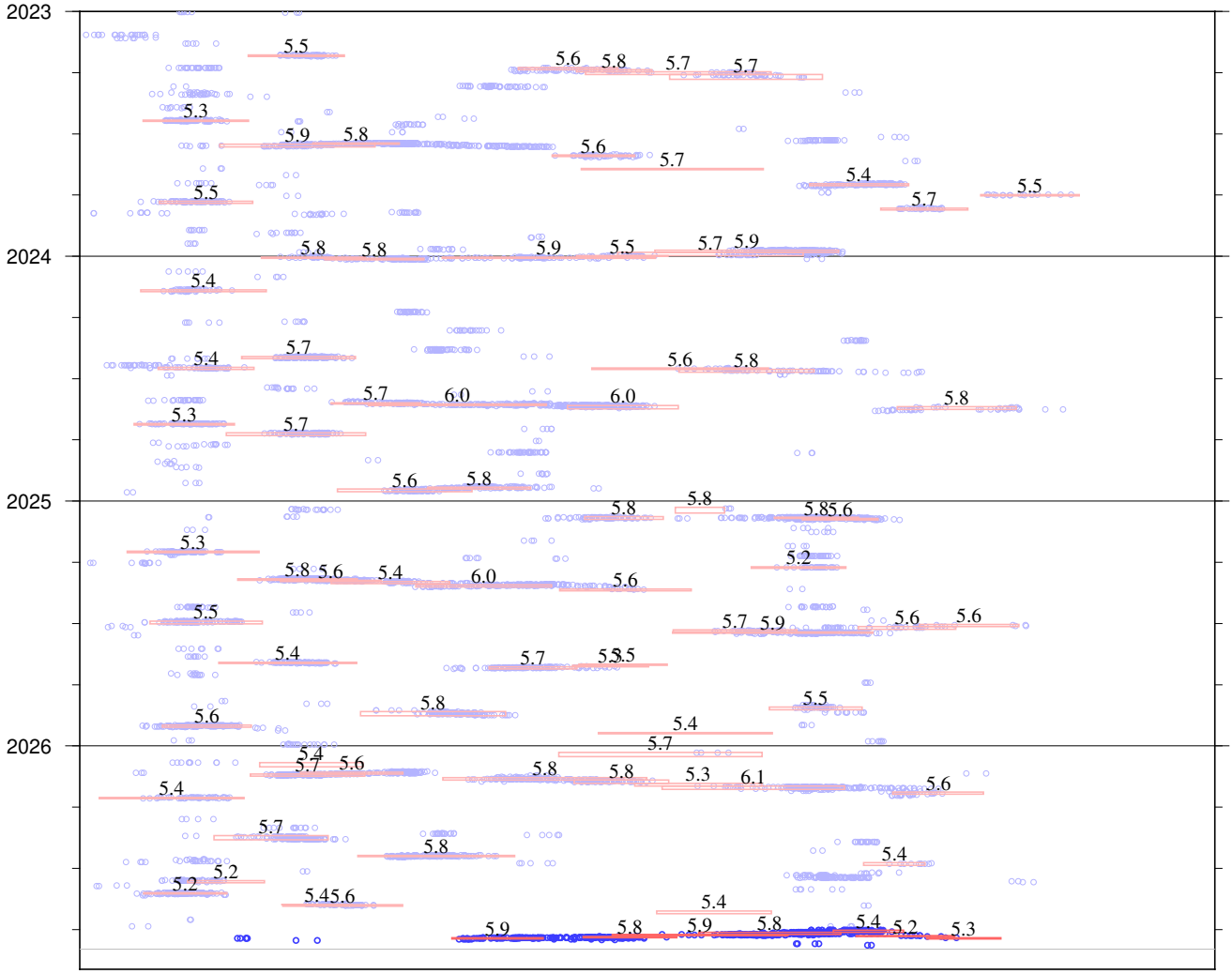
2023年1月1日～2026年10月31日

（2026年10月1日以降を濃く表示）



※破線は，フィリピン海プレート上面の等深線を示す．
※赤矩形は，気象庁による短期的ゆっくりすべりの断層モデル（参考解を含む）を示す．

上図の時空間分布図



※短期的ゆっくりすべりの解析には，気象庁，産業技術総合研究所及び静岡県のデータを用いている．
※赤矩形の上に表示されている数字は解析されたMwを示す．
※青丸はエンベロープ相関法（防災科学技術研究所，東京大学地震研究所との共同研究による成果）で得られた低周波微動の震央を示す．
※時空間分布図中の灰色線は最新データ日を示す．
※2024年12月以前の短期的ゆっくりすべりは再解析を行った結果を反映している．

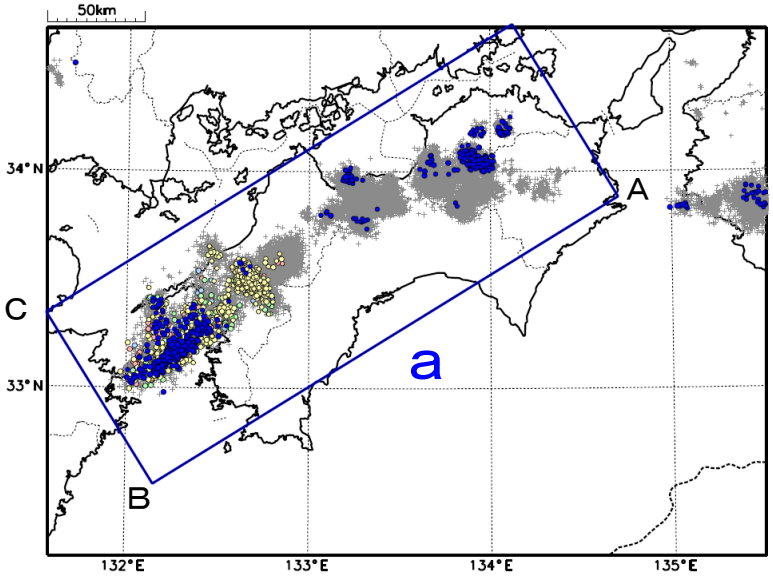
気象庁作成

四国西部の深部低周波地震（微動）活動と短期的ゆっくりすべり

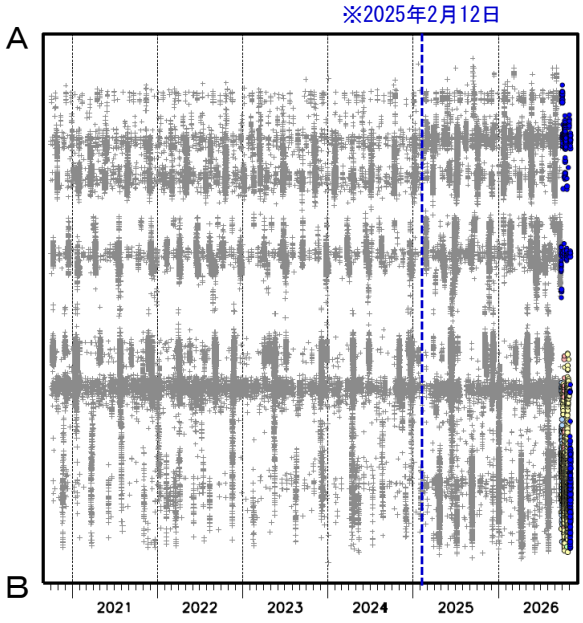
９月27日から10月12日にかけて、及び10月19日から11月１日にかけて、四国西部で深部低周波地震（微動）を観測した。
深部低周波地震（微動）活動とほぼ同期して、周辺に設置されている複数のひずみ計で地殻変動を観測した。これは、短期的ゆっくりすべりに起因すると推定される。

深部低周波地震（微動）活動

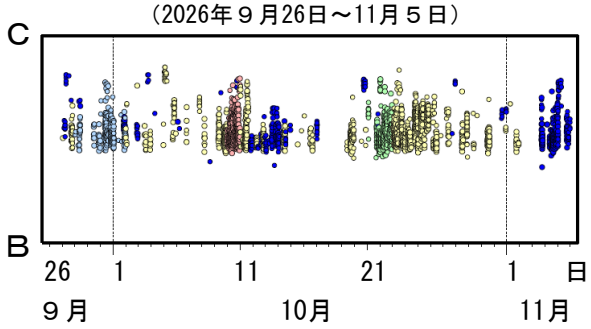
震央分布図
（2020年10月１日～2026年11月５日、
深さ０～60km、Mすべて）

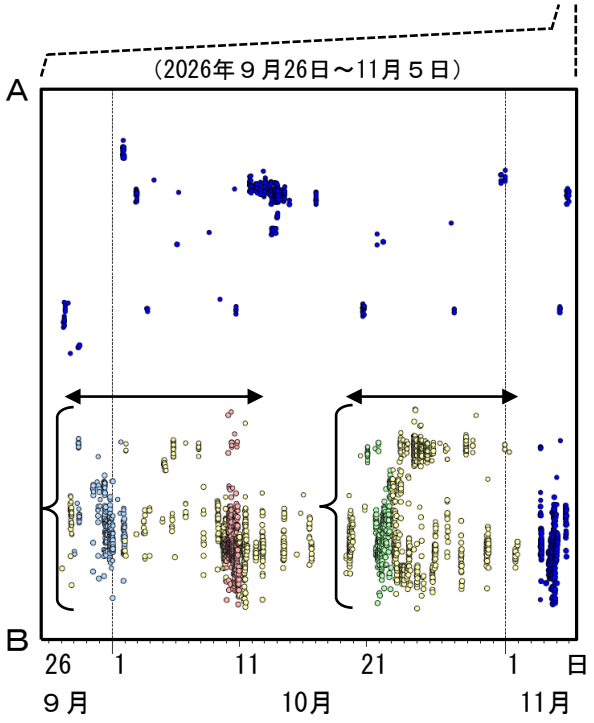


領域a内の時空間分布図
（Ａ－Ｂ投影）



領域a内の時空間分布図（Ｂ－Ｃ投影）
（2026年９月26日～11月５日）





凡例
＋：2020年９月１日～2026年９月26日
●：2026年９月27日～

ただし、ひずみ変化と同期して観測された深部低周波地震（微動）活動の色分けは以下のとおり。

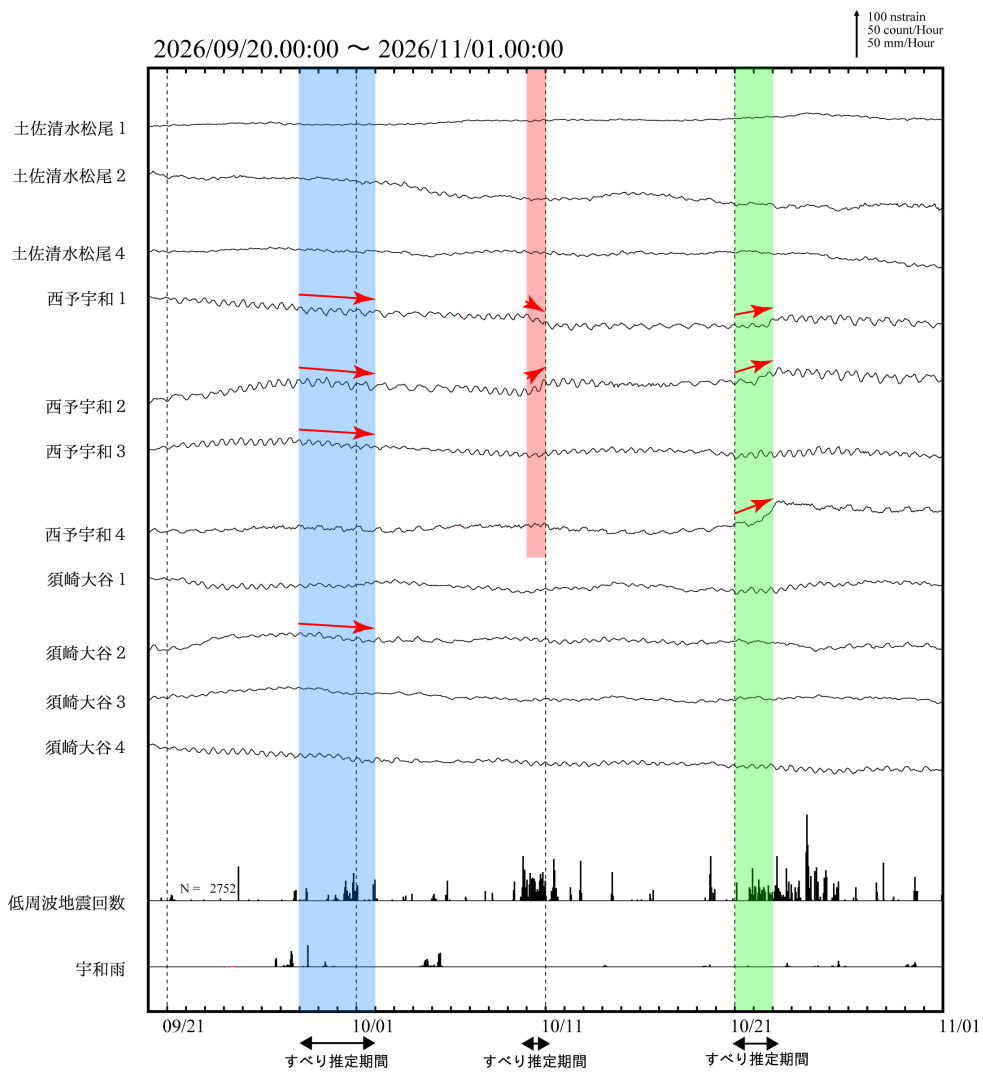
四国西部
○：９月27日00時～27日24時
○：９月28日00時～10月１日24時
○：10月２日00時～９日24時
○：10月10日00時～10日24時
○：10月11日00時～20日24時
○：10月21日00時～22日24時
○：10月23日00時～11月１日24時

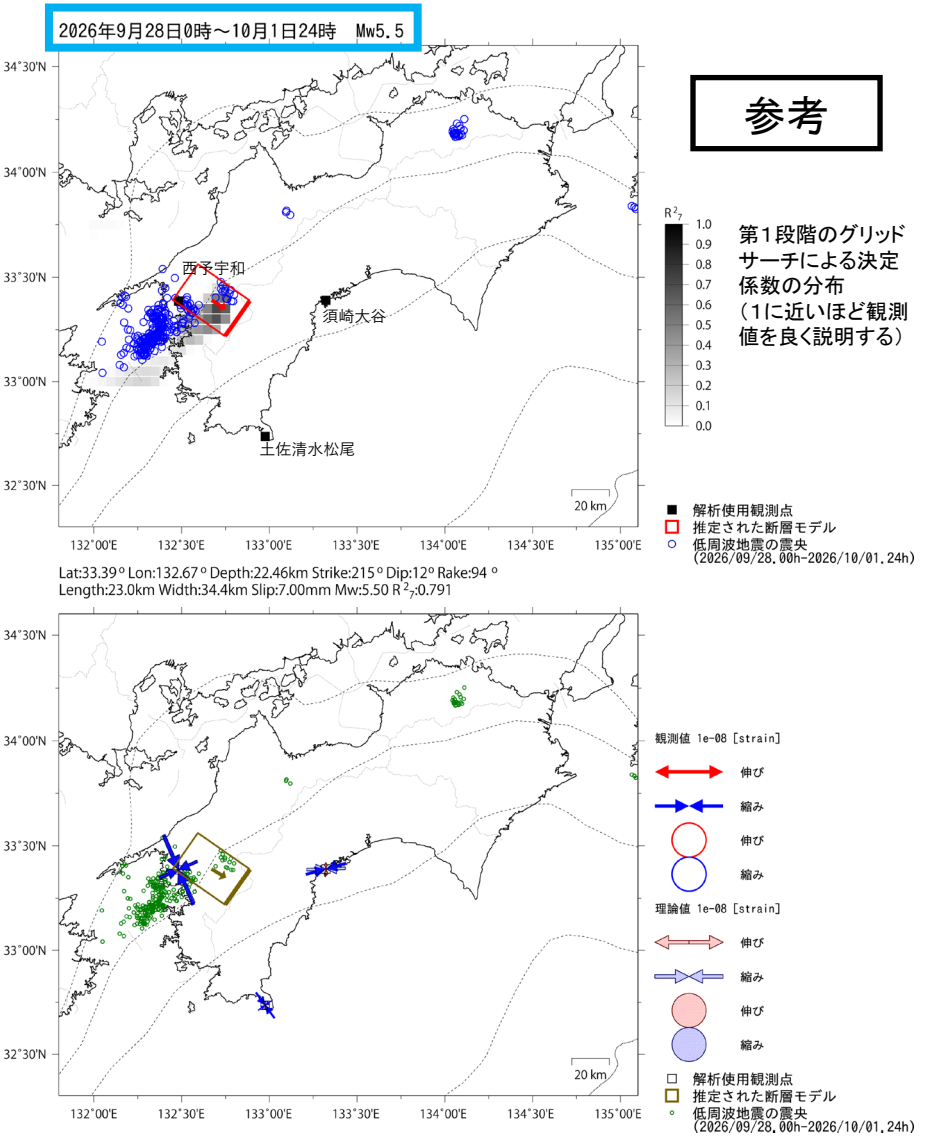
気象庁作成

※2025年2月12日から、深部低周波地震（微動）の検知手法の改善により、それ以前と比較して検知能力が変わっている。

四国西部で観測した短期的ゆっくりすべり（9月28日～10月22日）

高知県から愛媛県で観測されたひずみ変化





参考

第１段階のグリッドサーチによる決定係数の分布（1に近いほど観測値を良く説明する）

土佐清水松尾、西予宇和及び須崎大谷は産業技術総合研究所のひずみ計である。
解析に使用したチャネルについては背景色を塗り、そのうち有意な変化が見られたチャネルに赤矢印を描画している。
低周波地震回数はゆっくりすべりを示す断層モデル周辺で発生したものを積算している。

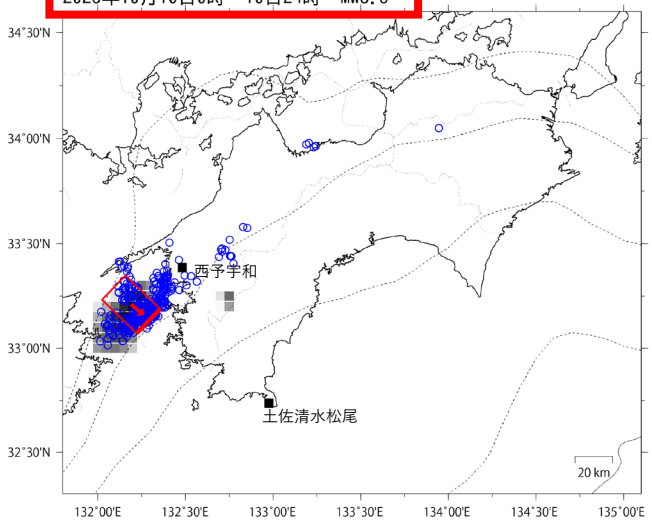
時系列図に示す観測点での変化量をもとにすべり推定を行ったところ、図の場所にゆっくりすべりを示す断層モデルが求まった。

断層モデルの推定は、産総研の解析方法（板場ほか，2012）を参考に以下の2段階で行う。
・断層サイズを20km×20kmに固定し、位置を0.05度単位でグリッドサーチにより推定する。
・その位置を中心にして、他の断層パラメータの最適解を求める。

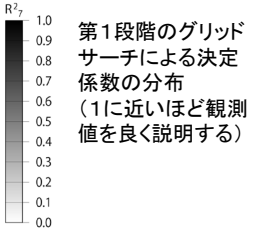
気象庁作成

四国西部で観測した短期的ゆっくりすべり（9月28日～10月22日）

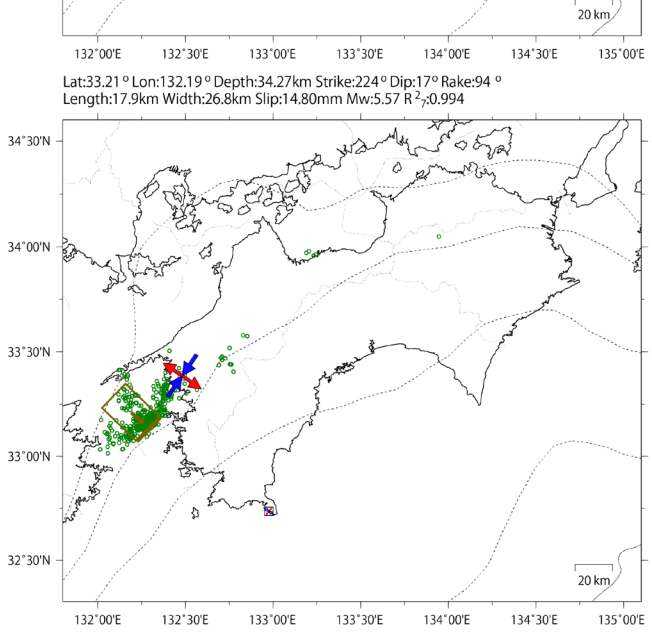
2026年10月10日0時～10日24時　Mw5.6

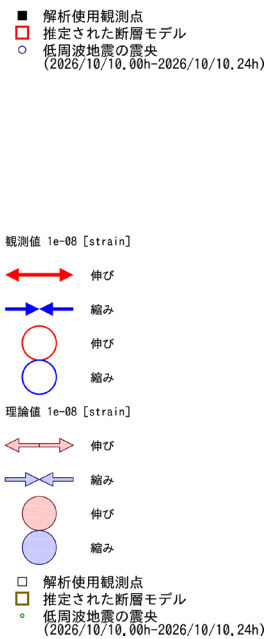


参考



第1段階のグリッドサーチによる決定係数の分布（1に近いほど観測値を良く説明する）

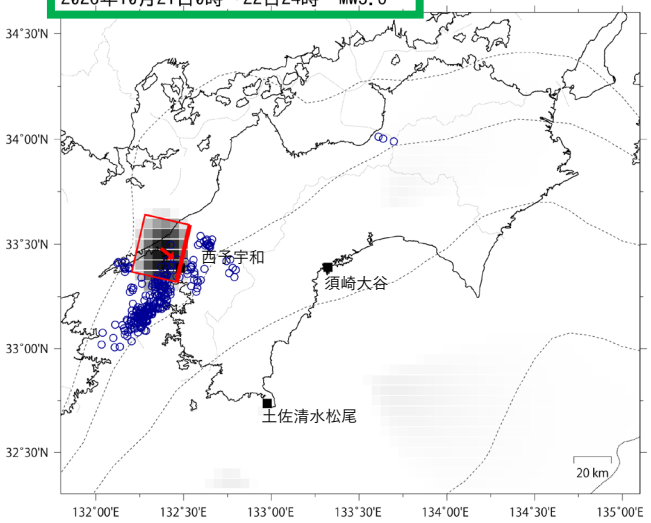




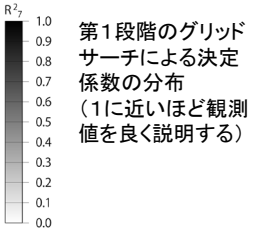
■ 解析使用観測点
□ 推定された断層モデル
○ 低周波地震の震央
(2026/10/10, 00h-2026/10/10, 24h)

Lat:33.21° Lon:132.19° Depth:34.27km Strike:224° Dip:17° Rake:94°
Length:17.9km Width:26.8km Slip:14.80mm Mw:5.57 R^2_7:0.994

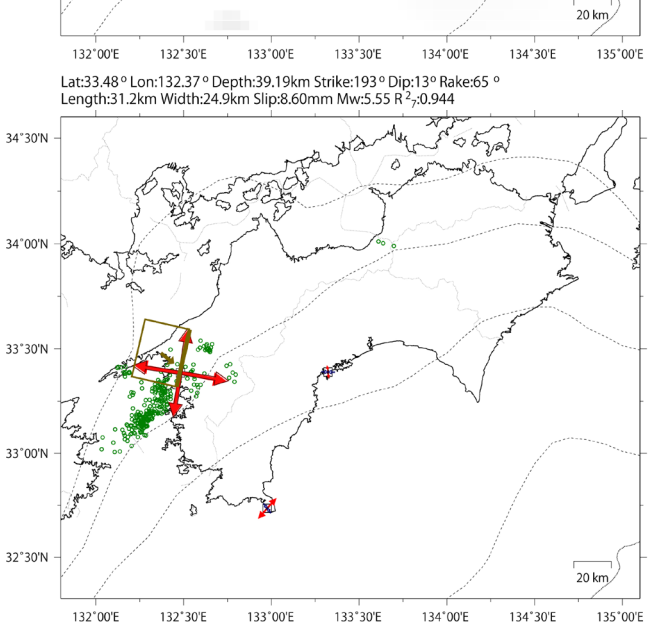
2026年10月21日0時～22日24時　Mw5.6

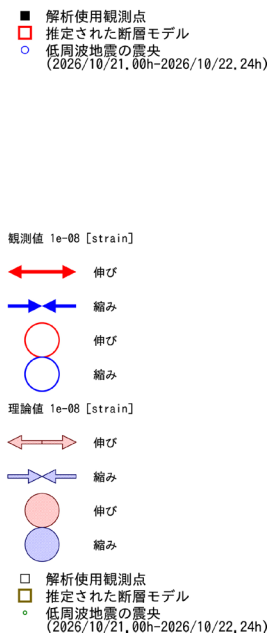


参考



第1段階のグリッドサーチによる決定係数の分布（1に近いほど観測値を良く説明する）





■ 解析使用観測点
□ 推定された断層モデル
○ 低周波地震の震央
(2026/10/21, 00h-2026/10/22, 24h)

Lat:33.48° Lon:132.37° Depth:39.19km Strike:193° Dip:13° Rake:65°
Length:31.2km Width:24.9km Slip:8.60mm Mw:5.55 R^2_7:0.944

時系列図に示す観測点での変化量をもとにすべり推定を行ったところ、図の場所にゆっくりすべりを示す断層モデルが求まった。

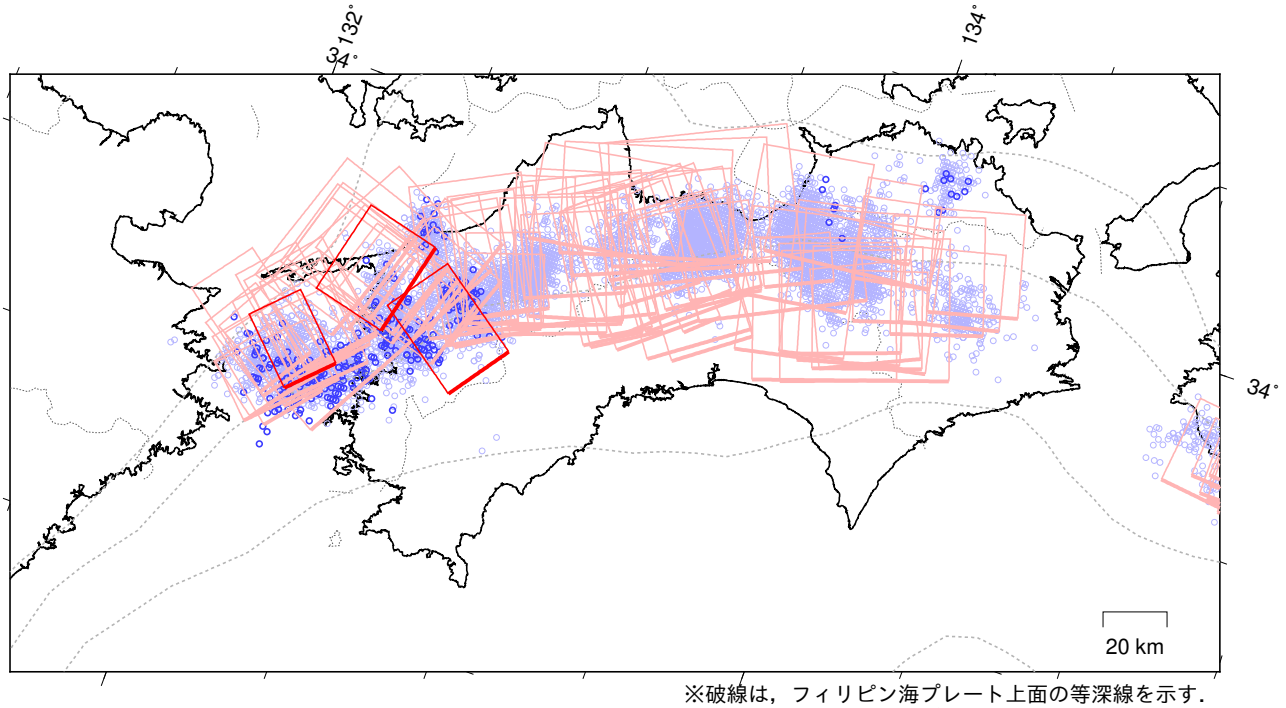
断層モデルの推定は、産総研の解析方法（板場ほか，2012）を参考に以下の2段階で行う。
・断層サイズを20km×20kmに固定し、位置を0.05度単位でグリッドサーチにより推定する。
・その位置を中心にして、他の断層パラメータの最適解を求める。

気象庁作成

四国 短期的ゆっくりすべりの活動状況

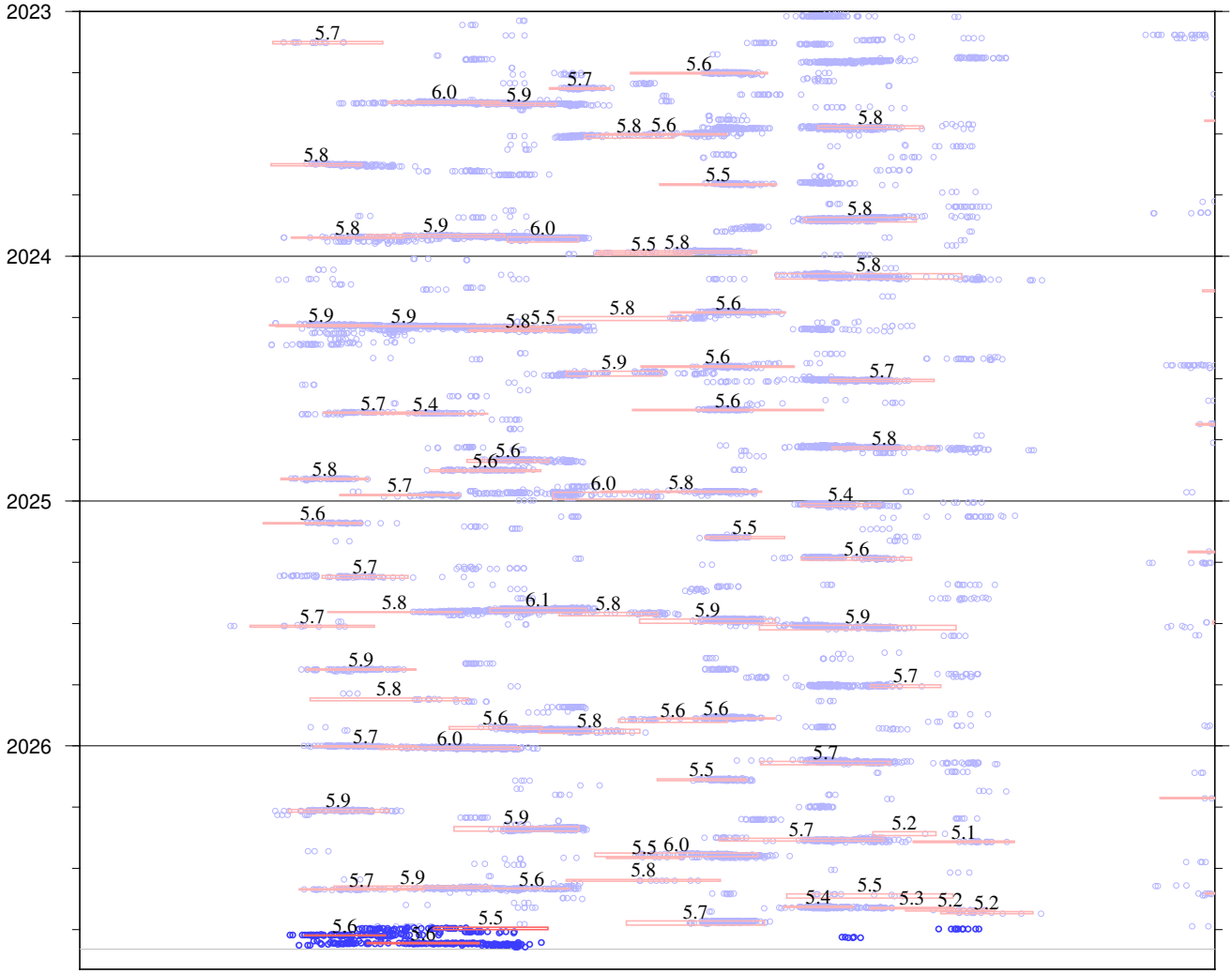
2023年1月1日～2026年10月31日

（2026年9月28日以降を濃く表示）



※破線は，フィリピン海プレート上面の等深線を示す．
※赤矩形は，気象庁による短期的ゆっくりすべりの断層モデル（参考解を含む）を示す．

上図の時空間分布図



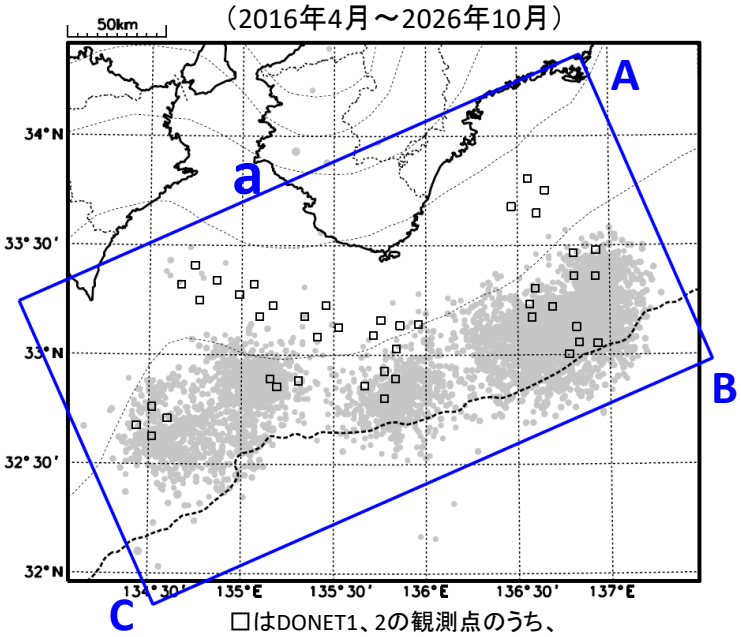
※短期的ゆっくりすべりの解析には，産業技術総合研究所のデータを用いている．
※赤矩形の上に表示されている数字は解析されたMwを示す．
※青丸はエンベロープ相関法（防災科学技術研究所，東京大学地震研究所との共同研究による成果）で得られた低周波微動の震央を示す．
※時空間分布図中の灰色線は最新データ日を示す．
※2024年12月以前の短期的ゆっくりすべりは再解析を行った結果を反映している．

気象庁作成

三重県南東沖から四国沖における浅部低周波地震（微動）活動

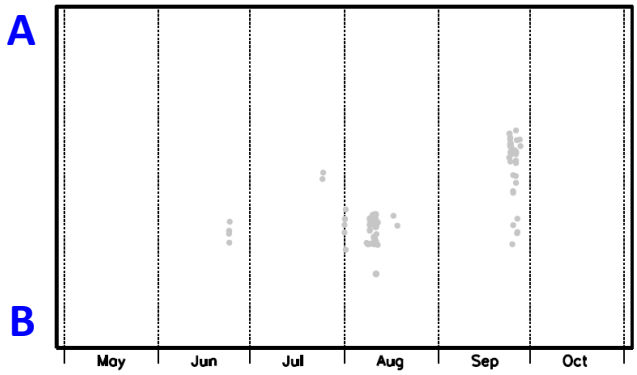
（震源の色）灰色：2016年4月～2026年9月、赤色：2026年10月

震央分布図
（2016年4月～2026年10月）

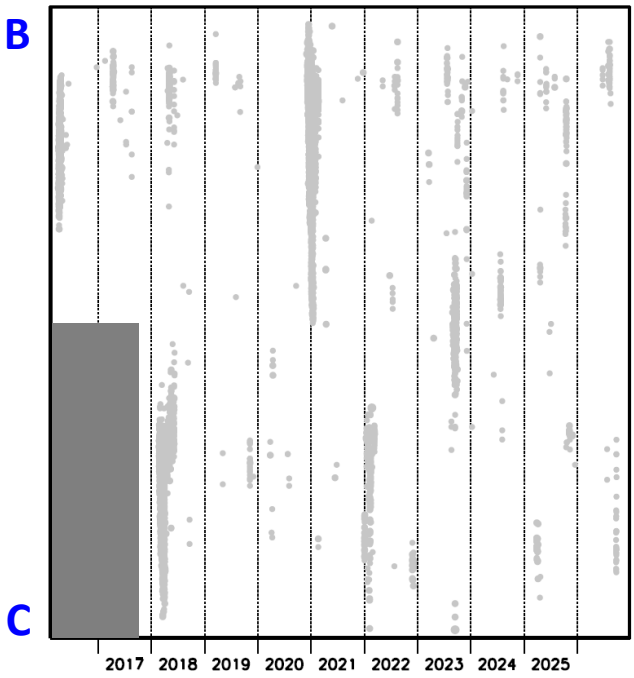


□はDONET1、2の観測点のうち、
解析に使用しているものを示す。

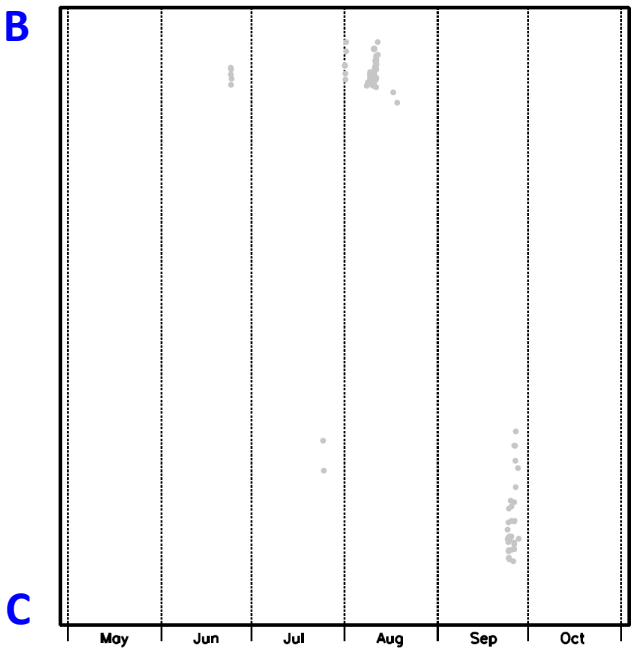
領域a内の時空間分布図（A－B投影）
（2026年5月～2026年10月）



領域a内の時空間分布図（B－C投影）
（2016年4月～2026年10月）



領域a内の時空間分布図（B－C投影）
（2026年5月～2026年10月）



Tamaribuchi et al.(2022)の手法（※）を用いて解析した。
灰色のハッチは、DONET2未使用期間（2017年10月4日以前）を示す。

【※手法の概要】
・DONETで観測された地震波形（バンドパス帯域2-8Hz）を用いて、ハイブリッド法による解析を行い、浅部低周波地震（微動）を検出した。
・検出された地震（微動）に対し、クラスタリング処理（条件：震央距離20km以内かつ12時間以内に4個以上）を施した。

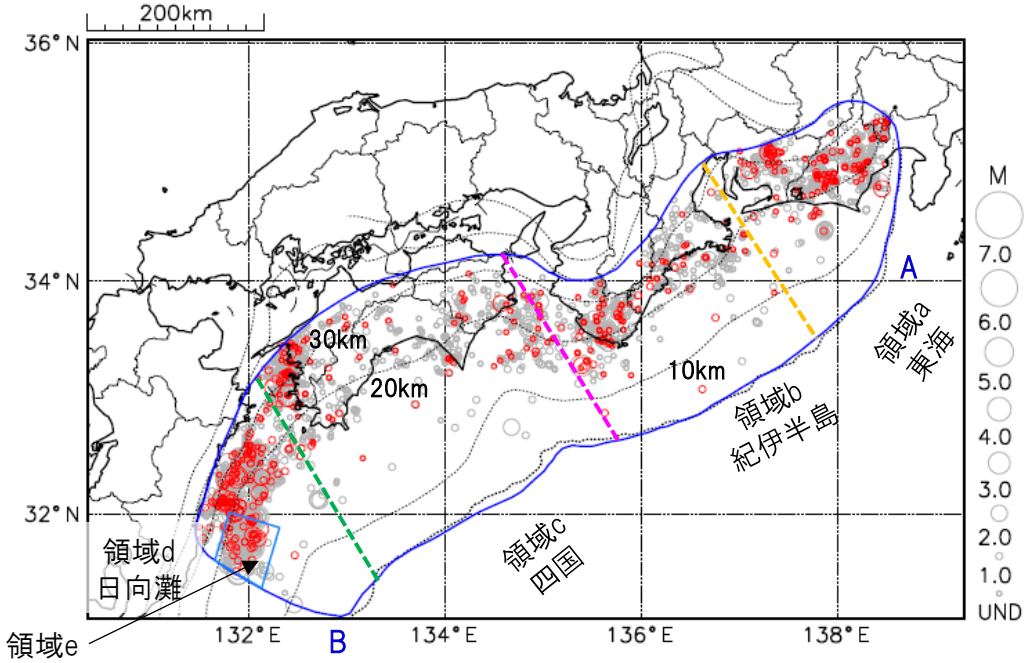
【利用上の留意事項】
・この資料は、上記の手法により自動検出された地震（微動）を表示しています。
・検出された地震（微動）には、浅部低周波地震（微動）活動以外のものが表示されることがあります。
・個々の震源の位置ではなく、震源の分布具合に着目して地震活動の把握にご利用ください。

気象庁作成

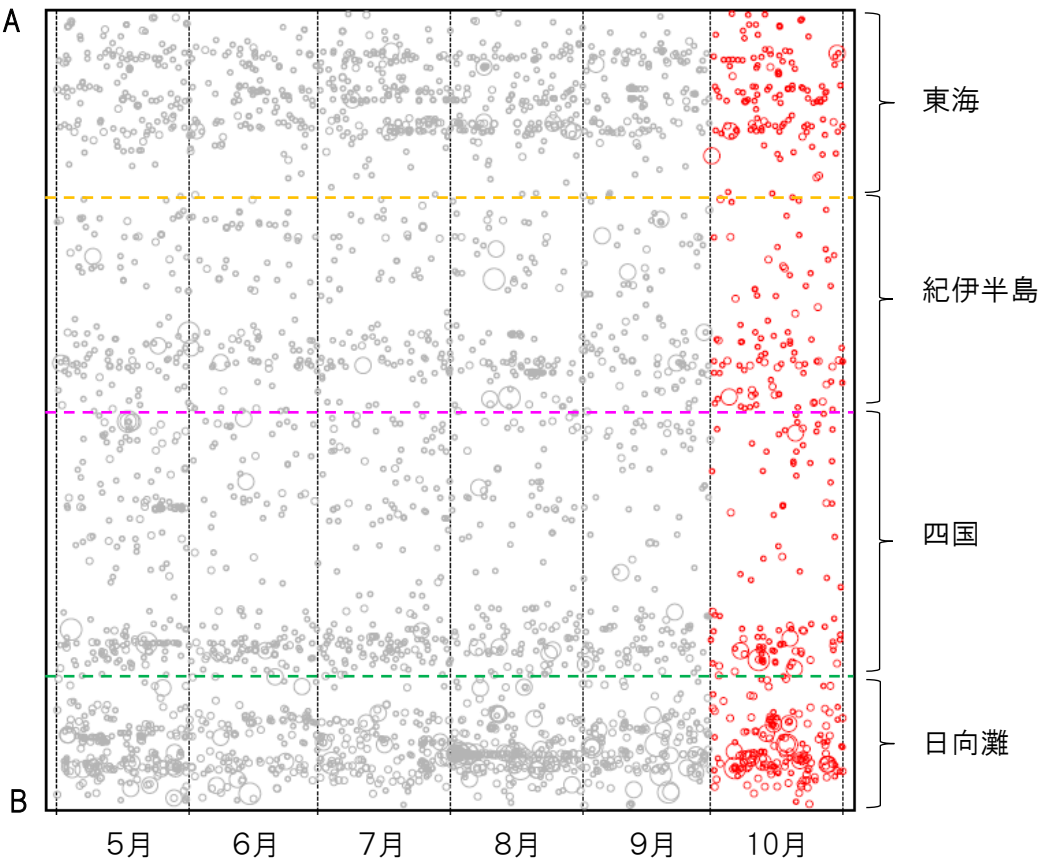
プレート境界とその周辺の地震活動

フィリピン海プレート上面の深さから±8km未満の地震を表示している。
日向灘の領域e内のみ、深さ20km～35kmの地震を追加している。

震央分布図
（2026年5月1日～2026年10月31日、M全て、2026年10月の地震を赤く表示）



南海トラフ巨大地震の想定震源域内の時空間分布図（A-B投影）



・フィリピン海プレート上面の深さは、Baba et al.(2002)、Hirose et al.(2008)、Nakajima and Hasegawa(2007)による。震央分布図中の点線は10kmごとの等深線を示す。
・今期間の地震のうち、M3.2以上の地震で想定南海トラフ地震の発震機構解と類似の型の地震に吹き出しを付している。吹き出しの右下の数値は、フィリピン海プレート上面の深さからの差（+は浅い、-は深い）を示す。
・発震機構解の横に「S」の表記があるものは、精度がやや劣るものである。

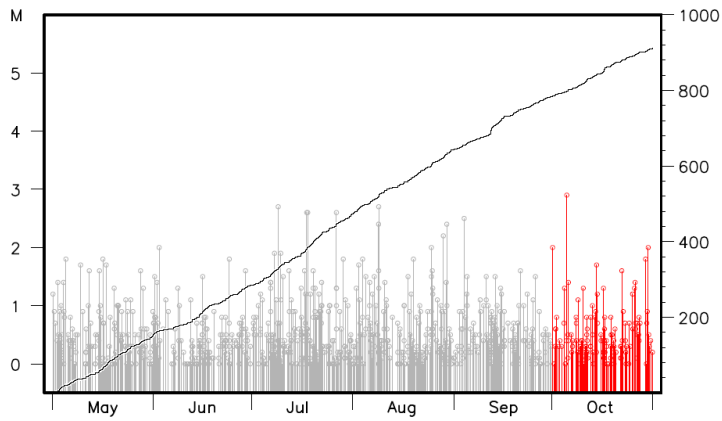
気象庁作成

プレート境界とその周辺の地震活動

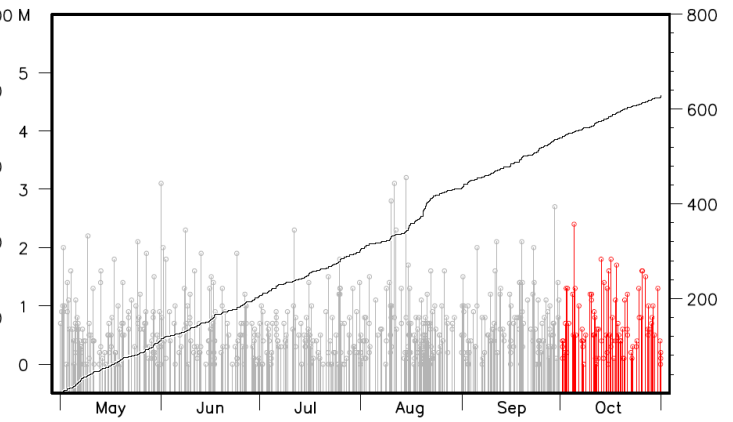
フィリピン海プレート上面の深さから±8km未満の地震を表示している。

震央分布図の各領域内のMT図･回数積算図
（2026年5月1日～2026年10月31日、M全て、2026年10月の地震を赤く表示）

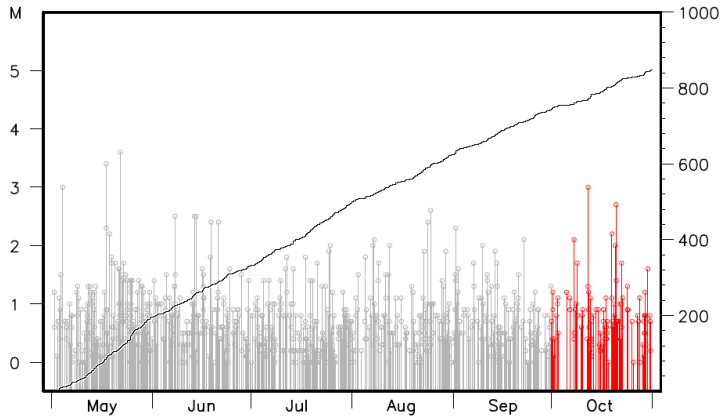
領域a内（東海）



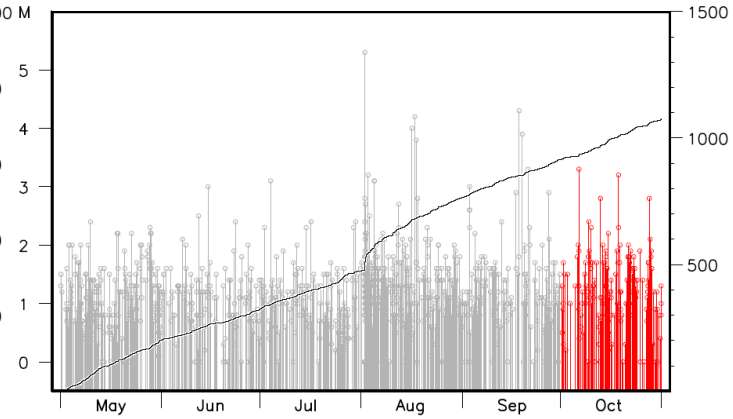
領域b内（紀伊半島）



領域c内（四国）



領域d内（日向灘）

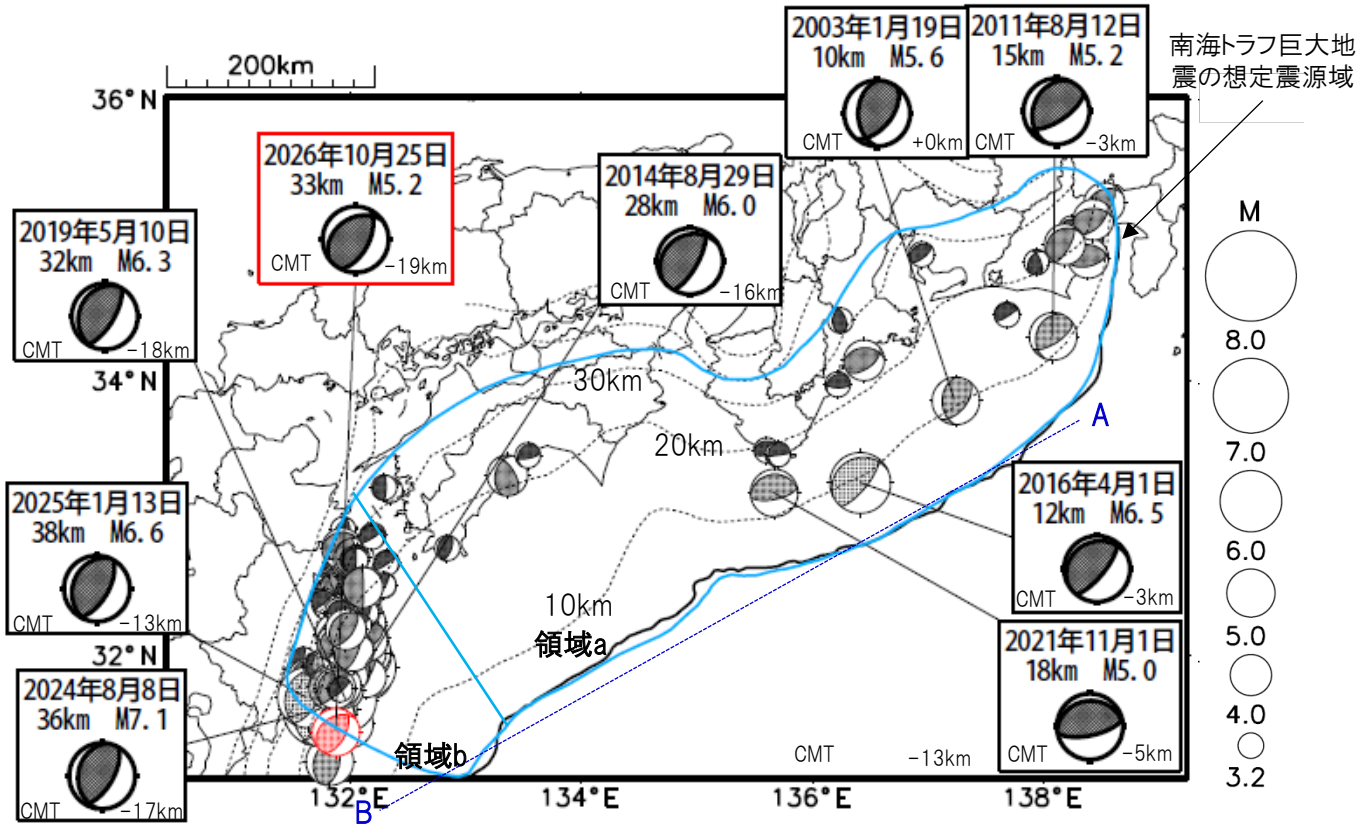


※M全ての地震を表示していることから、検知能力未満の地震も表示しているため、回数積算図は参考として表記している。

気象庁作成

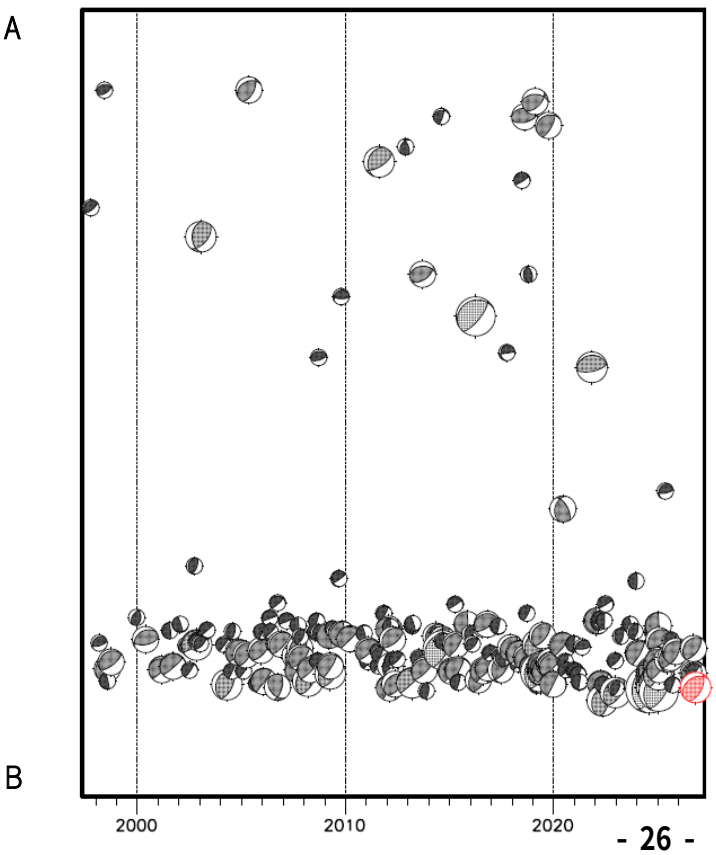
想定南海トラフ地震の発震機構解と類似の型の地震

震央分布図（1987年9月1日～2026年10月31日、M≧3.2、2026年10月の地震を赤く表示）



・フィリピン海プレート上面の深さは、Baba et al.(2002)、Hirose et al.(2008)、Nakajima and Hasegawa(2007)による。震央分布図中の点線は10kmごとの等深線を示す。
・今期間に発生した地震（赤）、日向灘のM6.0以上、その他の地域のM5.0以上の地震に吹き出しを付けている。
・発震機構解の横に「S」の表記があるものは、精度がやや劣るものである。
・吹き出しの右下の数値は、フィリピン海プレート上面の深さからの差を示す。+は浅い、−は深いことを示す。
・吹き出しに「CMT」と表記した地震は、発震機構解と深さはCMT解による。Mは気象庁マグニチュードを表記している。
・発震機構解の解析基準は、解析当時の観測網等に応じて変遷しているため一定ではない。

震央分布図内の時空間分布図



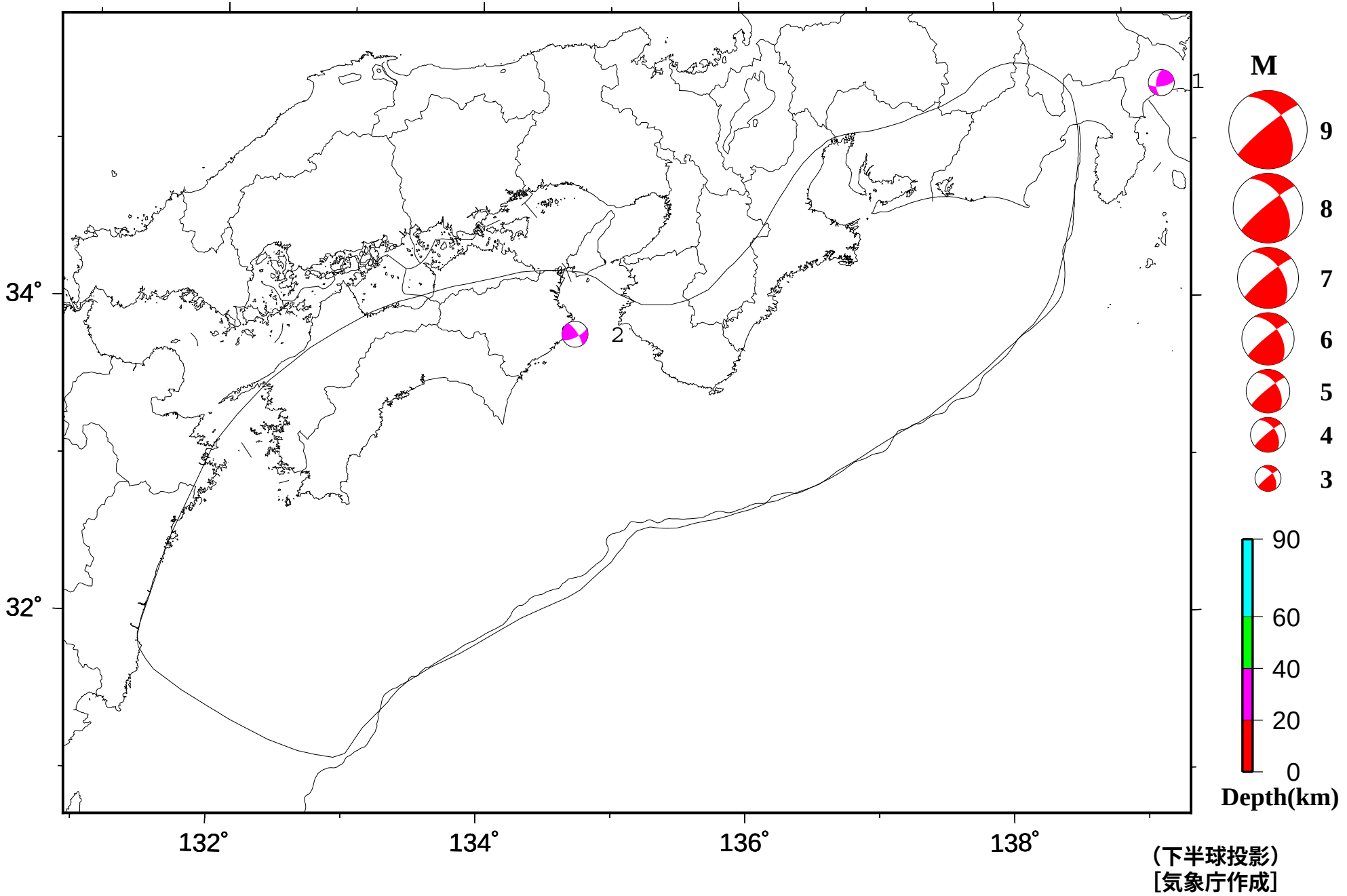
プレート境界型の地震と類似の型の発震機構解を持つ地震は以下の条件で抽出した。

【抽出条件】
・M3.2以上の地震
・領域a内（南海トラフの想定最大規模の想定震源域内）で発生した地震
・発震機構解が以下の条件を全て満たしたものを抽出した。
　P軸の傾斜角が45度以下
　P軸の方位角が65度以上180度以下（※）
　T軸の傾斜角が45度以上
　N軸の傾斜角が30度以下
　※以外の条件は、東海地震と類似の型を抽出する条件と同様
・発震機構解は、CMT解と初動解の両方で検索をした。
・同一の地震で、CMT解と初動解の両方がある場合はCMT解を選択している。
・東海地方から四国地方（領域a）は、フィリピン海プレート上面の深さから±10km未満の地震のみ抽出した。日向灘（領域b）は、+10km～−20km未満の震源を抽出した。CMT解はセントロイドの深さを使用した。

気象庁作成

南海トラフ沿いとその周辺の初動発震機構解

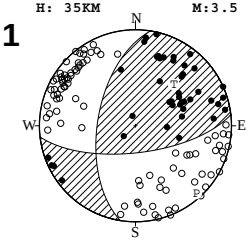
Period:2026/10/01 00:00--2026/10/31 24:00



南海トラフ沿いとその周辺の初動発震機構解（２）

1

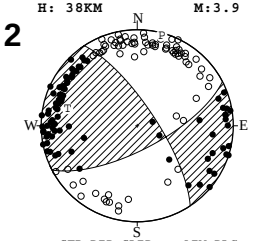
2026/10/06 19:53:51.6
神奈川県東部
35°21.6′N 139°17.6′E
H: 35KM M:3.5



	STR	DIP	SLIP		AZM	PLG
NP1	189°	58°	28°	P	138°	6°
NP2	83°	67°	144°	T	43°	41°
				N	235°	48°

2

2026/10/13 20:44:15.8
徳島県南部
33°49.3′N 134°43.5′E
H: 38KM M:3.9

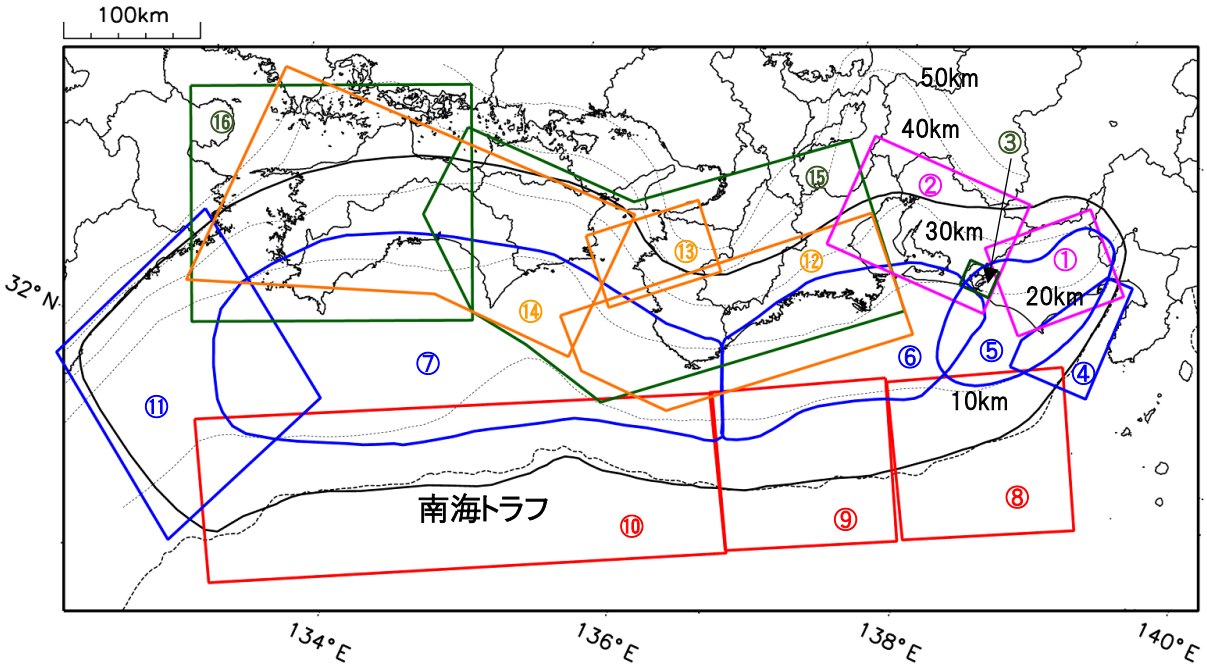


	STR	DIP	SLIP		AZM	PLG
NP1	63°	70°	17°	P	15°	3°
NP2	327°	74°	159°	T	284°	26°
				N	111°	64°

（下半球投影）
［気象庁作成］

南海トラフ巨大地震の想定震源域とその周辺の地震活動状況

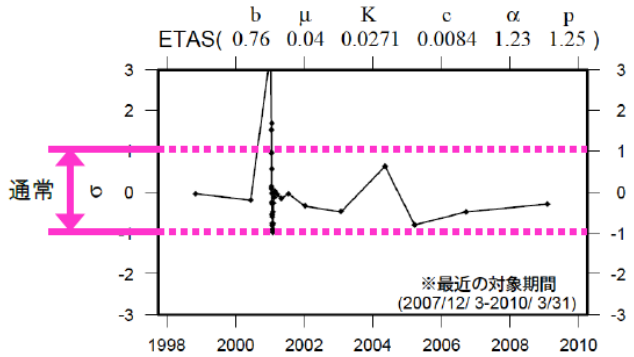
◆地震活動状況の監視･評価を行っている領域



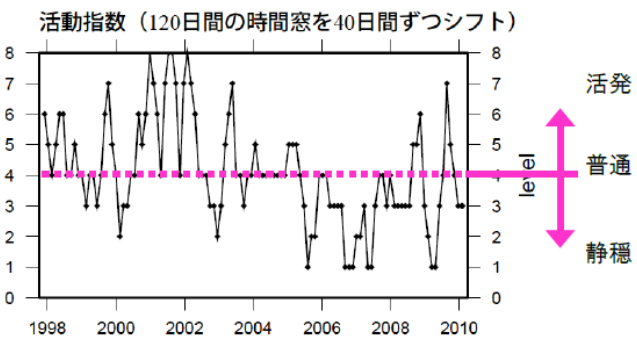
＊活動の監視･評価を行っている領域に番号を付している。
＊Baba et al.(2002)、Hirose et al.(2008)、Nakajima and Hasegawa(2007)によるプレート境界の等深線を破線で示す。
＊黒色実線は、南海トラフ巨大地震の想定震源域を示す。

◆監視･評価に使用している指標等について

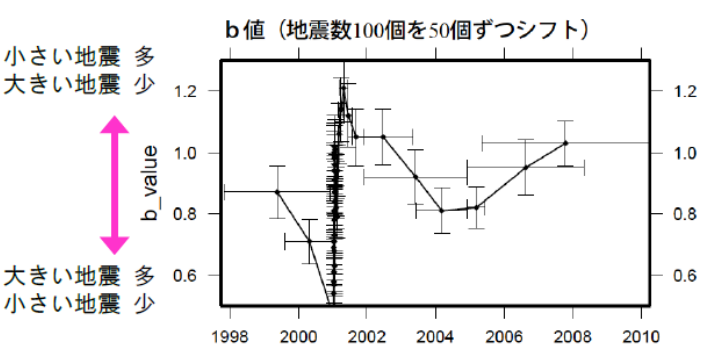
ETAS（σ値） …理論上の地震活動からのずれ



地震活動指数
…基準期間の活動と比較し、活発か静穏かを示す指標



b値 …地震の規模（M）の相対分布



地震回数の指数化

指数	確率 (%)	地震数
8	1	多い
7	4	やや多い
6	10	
5	15	ほぼ平常
4	40	
3	15	
2	10	やや少ない
1	4	
0	1	少ない

気象庁作成

南海トラフ巨大地震の想定震源域とその周辺の地震活動指数

2026年10月31日

領域		①静岡県中西部		②愛知県		③浜名湖周辺	④駿河湾	⑤東海	⑥東南海	⑦南海
		地	プ	地	プ	プ	全	全	全	全
地震活動指数		2	0	7	4	4	6	2	4	4
平均回数		16.3	17.9	27.0	13.8	13.1	13.2	17.8	19.7	21.6
Mしきい値		1.1		1.1		1.1	1.4	1.5	2.0	2.0
クラスタ除去	距離	3km		3km		3km	10km	10km	10km	10km
	日数	7日		7日		7日	10日	10日	10日	10日
対象期間		60日	90日	60日	30日	360日	180日	90日	360日	90日
深さ		0～30km	0～60km	0～30km	0～60km	0～60km	0～60km	0～60km	0～100km	0～100km

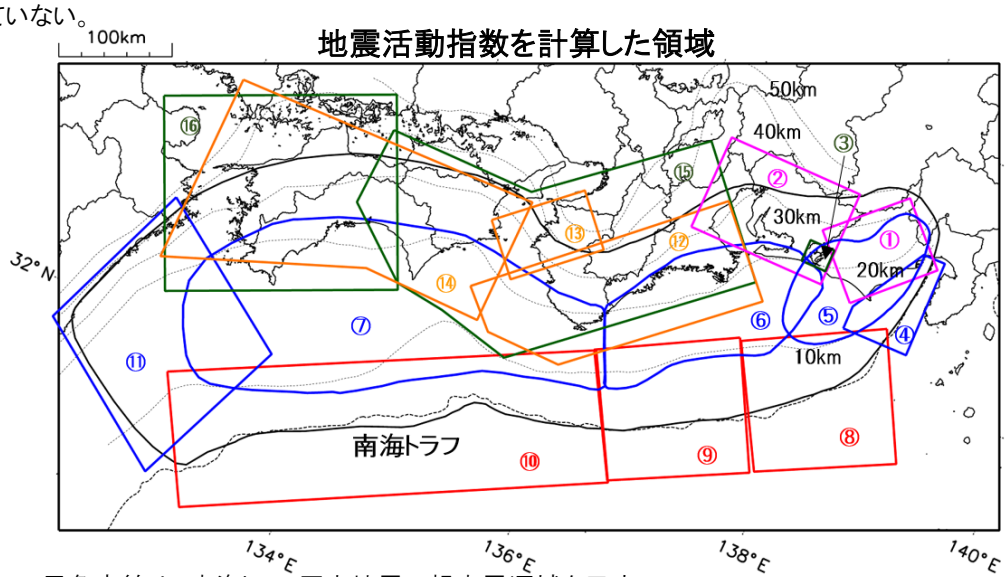
領域		南海トラフ沿い ⑧東側	南海トラフ沿い ⑩西側	⑪日向灘	⑫紀伊半島	⑬和歌山	⑭四国	⑮紀伊半島	⑯四国
		全	全	全	地	地	地	プ	プ
地震活動指数		5	5	7	1	4	2	4	6
平均回数		13.2	14.5	21.6	22.4	40.9	31.3	27.8	28.6
Mしきい値		2.5	2.5	2.0	1.5	1.5	1.5	1.5	1.5
クラスタ除去	距離	10km	10km	10km	3km	3km	3km	3km	3km
	日数	10日	10日	10日	7日	7日	7日	7日	7日
対象期間		720日	360日	60日	120日	60日	90日	30日	30日
深さ		0～100km	0～100km	0～100km	0～20km	0～20km	0～20km	20～100km	20～100km

＊基準期間は、全領域1997年10月1日～2026年10月31日

＊領域欄の「地」は地殻内、「プ」はフィリピン海プレート内で発生した地震であることを示す。ただし、震源の深さから便宜的に分類しただけであり、厳密に分離できていない場合もある。「全」は浅い地震から深い地震まで全ての深さの地震を含む。

＊⑨の領域（三重県南東沖）は、2004年9月5日以降の地震活動の影響で、地震活動指数を正確に計算できないため、掲載していない。

地震活動指数を計算した領域



地震活動指数と地震数

地震回数の指数化

指数	確率(%)	地震数
8	1	多い
7	4	やや多い
6	10	
5	15	ほぼ平常
4	40	
3	15	
2	10	やや少ない
1	4	
0	1	少ない

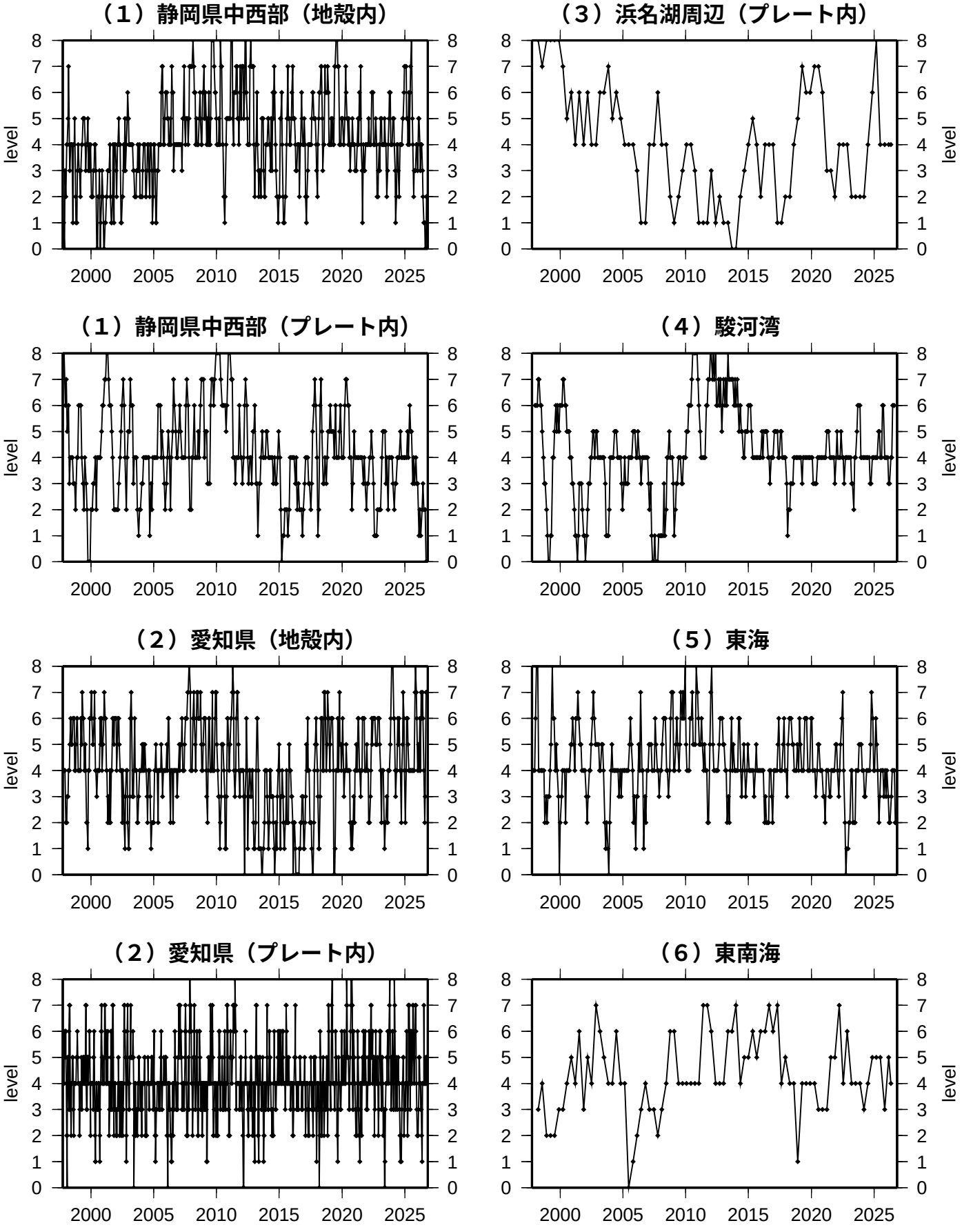
＊黒色実線は、南海トラフ巨大地震の想定震源域を示す。

＊Baba et al.(2002)、Hirose et al.(2008)、Nakajima and Hasegawa(2007)によるプレート境界の等深線を破線で示す。

気象庁作成

地震活動指数一覧

2026年10月31日

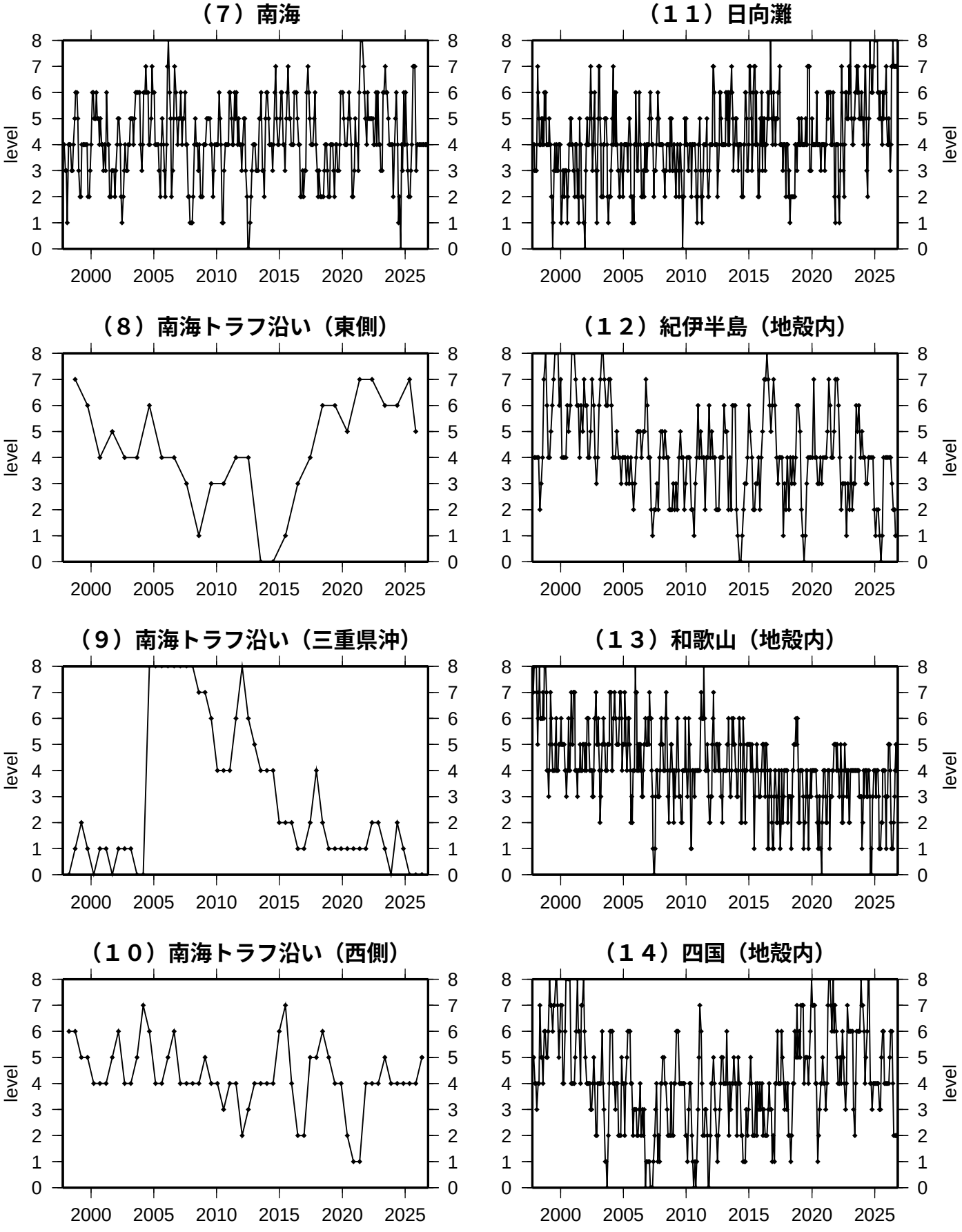


活動指数	0	1	2	3	4	5	6	7	8
確率（%）	1	4	10	15	40	15	10	4	1
地震数	少 ←				平常			→ 多	

気象庁作成

地震活動指数一覧

2026年10月31日

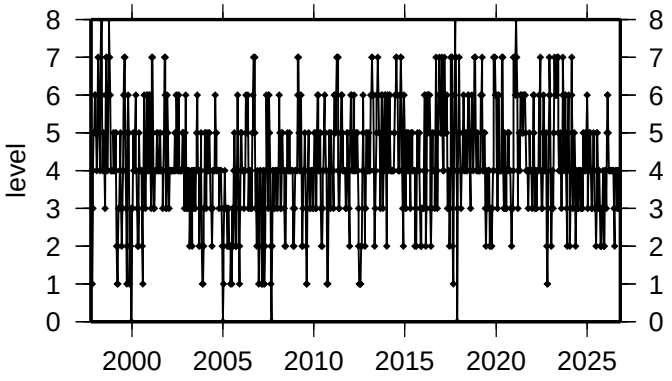


気象庁作成

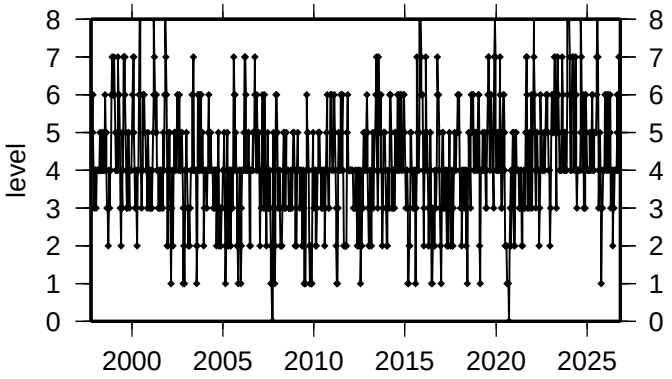
地震活動指数一覧

2026年10月31日

（１５）紀伊半島（プレート内）



（１６）四国（プレート内）



活動指数	0	1	2	3	4	5	6	7	8
確率（%）	1	4	10	15	40	15	10	4	1
地震数	少 ←				平常			→ 多	

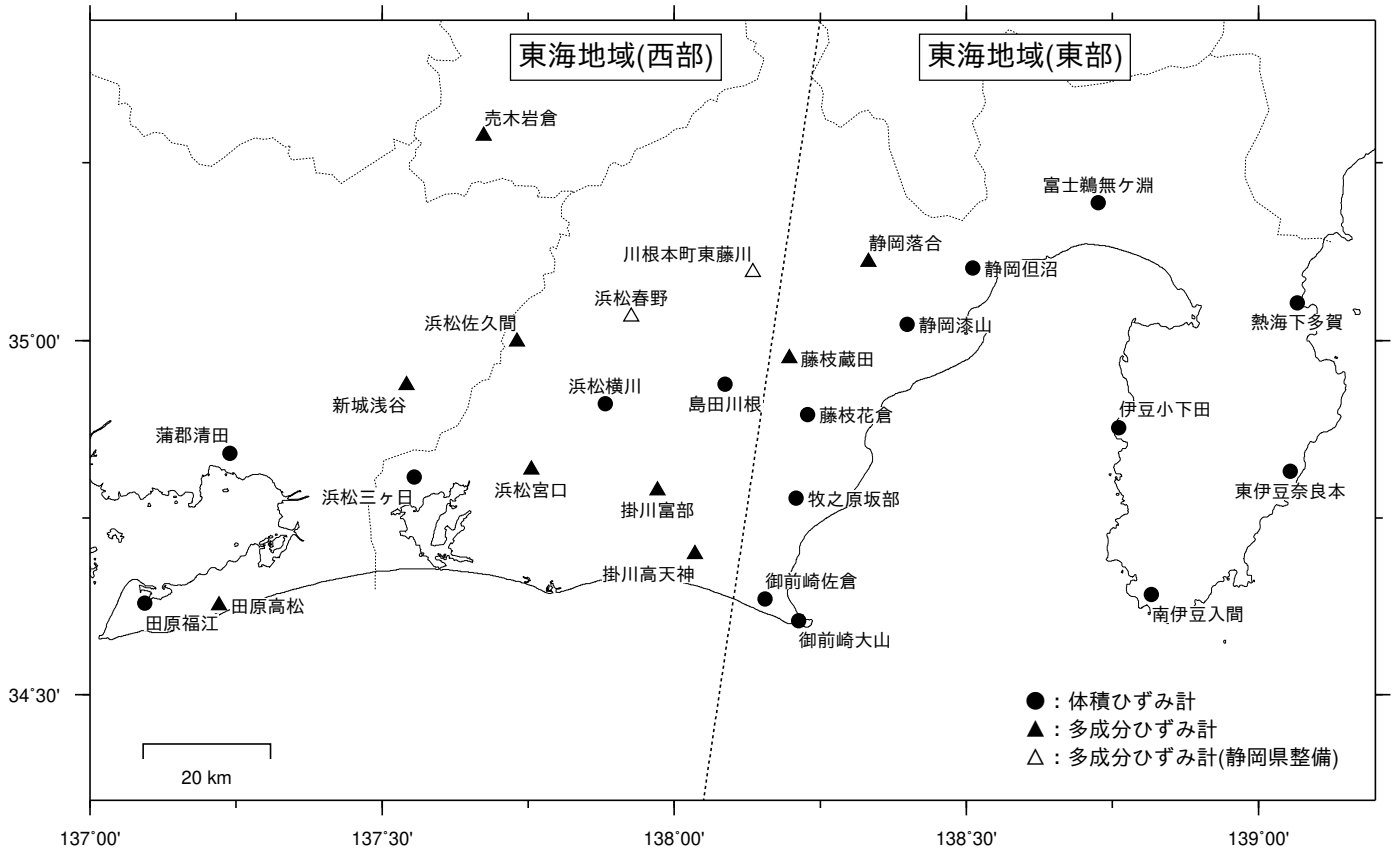
気象庁作成

ひずみ計による観測結果（2026年５月１日～2026年10月31日）

短期的ゆっくりすべりに起因すると見られる次の地殻変動がひずみ計で観測された。

SSE1：2026年６月24日から27日にかけて観測された。（第107回評価検討会資料参照）
SSE2：2026年９月４日から８日にかけて観測された。（第110回評価検討会資料参照）
SSE3：2026年10月３日から５日にかけて観測された。（第111回評価検討会資料参照）
SSE4：2026年10月６日から８日にかけて観測された。（第111回評価検討会資料参照）
SSE5：2026年10月９日から10日にかけて観測された。（第111回評価検討会資料参照）
SSE6：2026年10月11日から12日にかけて観測された。（第111回評価検討会資料参照）
SSE7：2026年10月12日から13日にかけて観測された。（第111回評価検討会資料参照）
SSE8：2026年10月14日から15日にかけて観測された。（第111回評価検討会資料参照）

ひずみ計の配置図

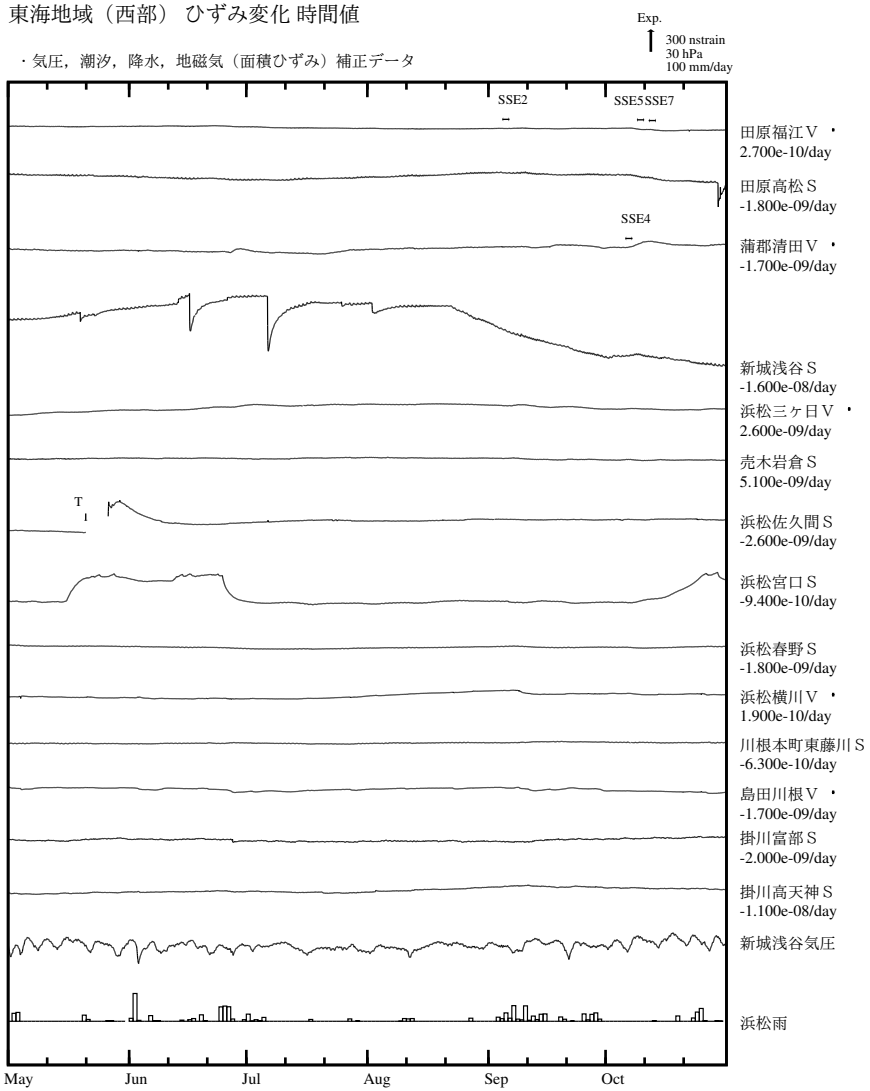


※観測点名の記号Ｖは体積ひずみを、Ｓは多成分ひずみ計で観測した線ひずみより計算した面積ひずみを示す。
※観測点名の下の「D/day（/M)」は、一日あたりのトレンド変化量をDとして補正していること
　及び縮尺を1/M倍にして表示していることを示す。
※観測点名、観測成分名右側の縦棒は、平常時における24時間階差の99.9％タイル値を示す。
※多成分ひずみ計成分名の( ) 内は測定方位、[ ] 内は面積ひずみ計算に用いた成分を示す。
※多成分ひずみ計の最大剪断ひずみ、面積ひずみ及び主軸方向は、広域のひずみに換算して算出している。

気象庁作成

東海地域（西部） ひずみ変化 時間値

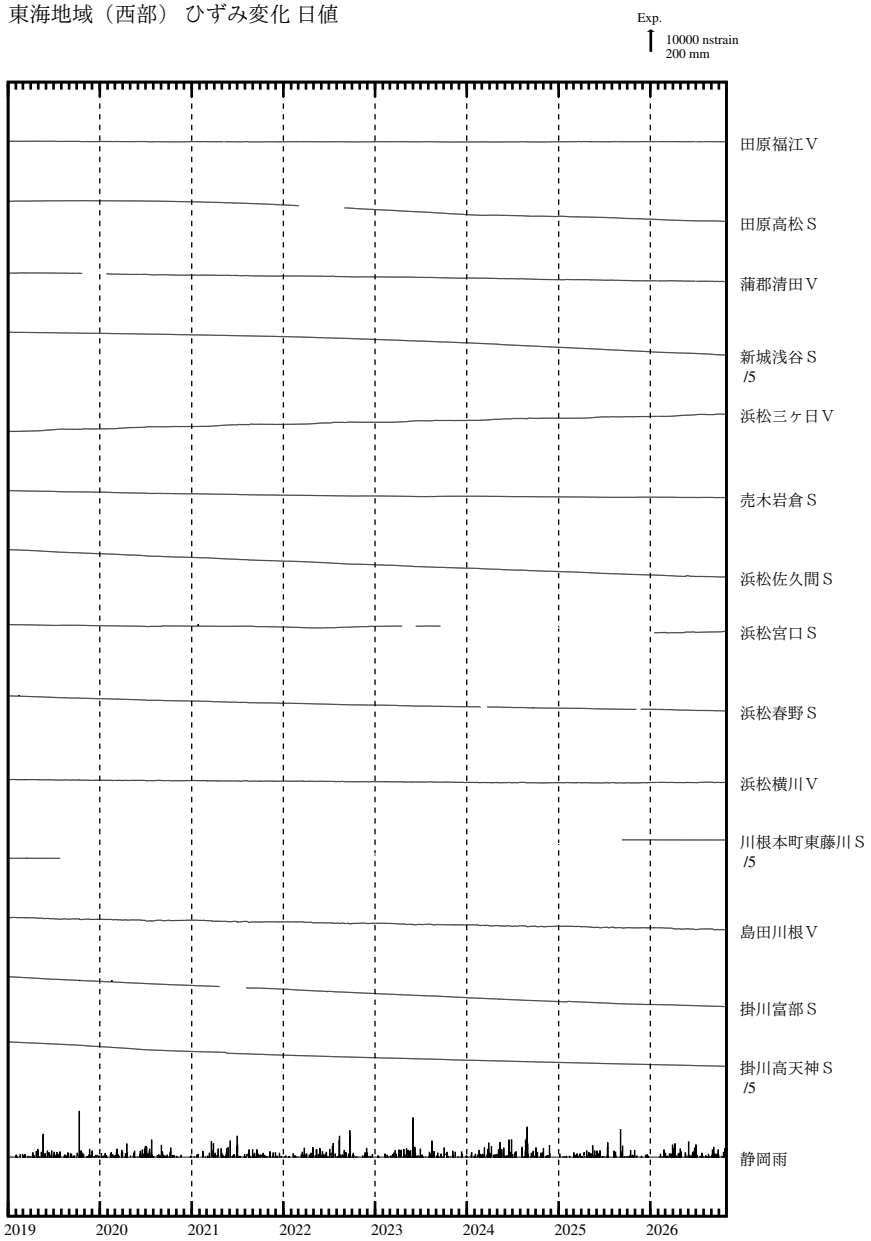
・気圧，潮汐，降水，地磁気（面積ひずみ）補正データ



SSE2 ：短期的ゆっくりすべり 2026.09.04-09.08
SSE4 ：短期的ゆっくりすべり 2026.10.06-10.08
SSE5 ：短期的ゆっくりすべり 2026.10.09-10.10
SSE7 ：短期的ゆっくりすべり 2026.10.12-10.13

C ：地震に伴うステップ状の変化
L ：局所的な変化
S ：例年見られる変化
M ：調整
T ：障害

東海地域（西部） ひずみ変化 日値

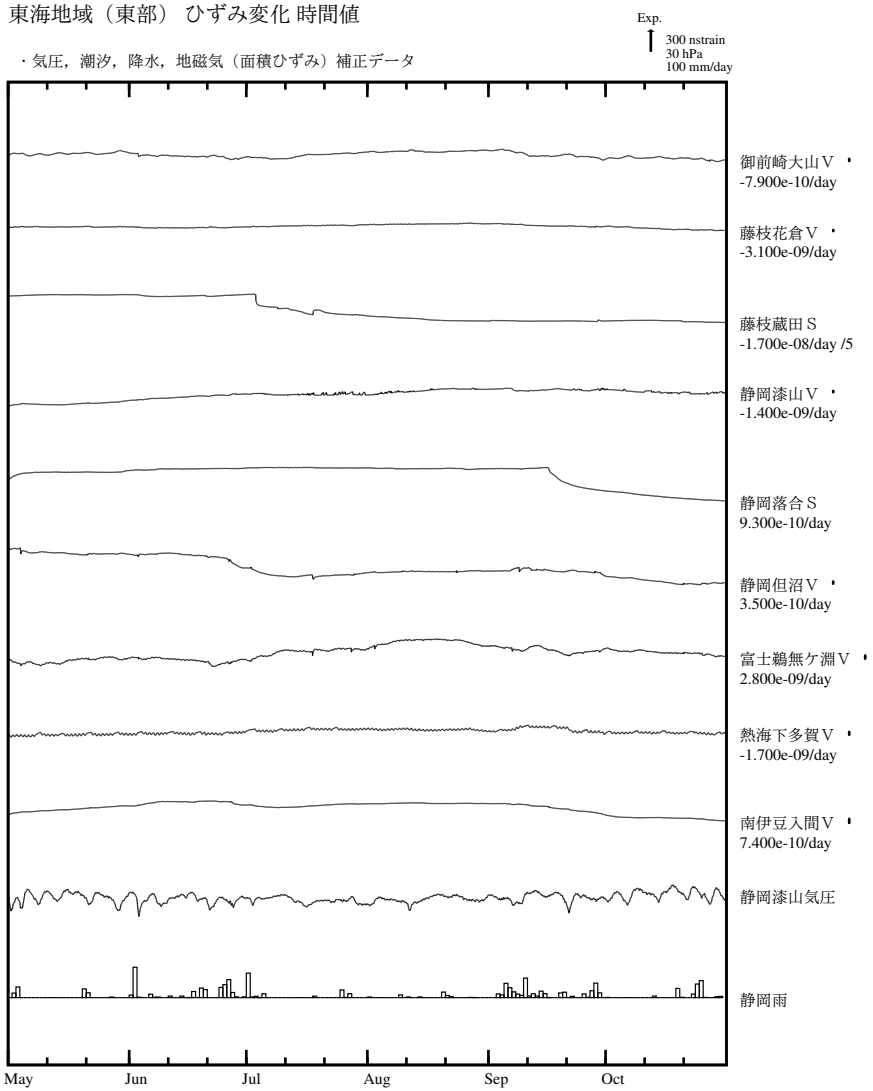


※面積ひずみは，地震に伴うステップ状の変化を除去して計算している。

気象庁作成

東海地域（東部） ひずみ変化 時間値

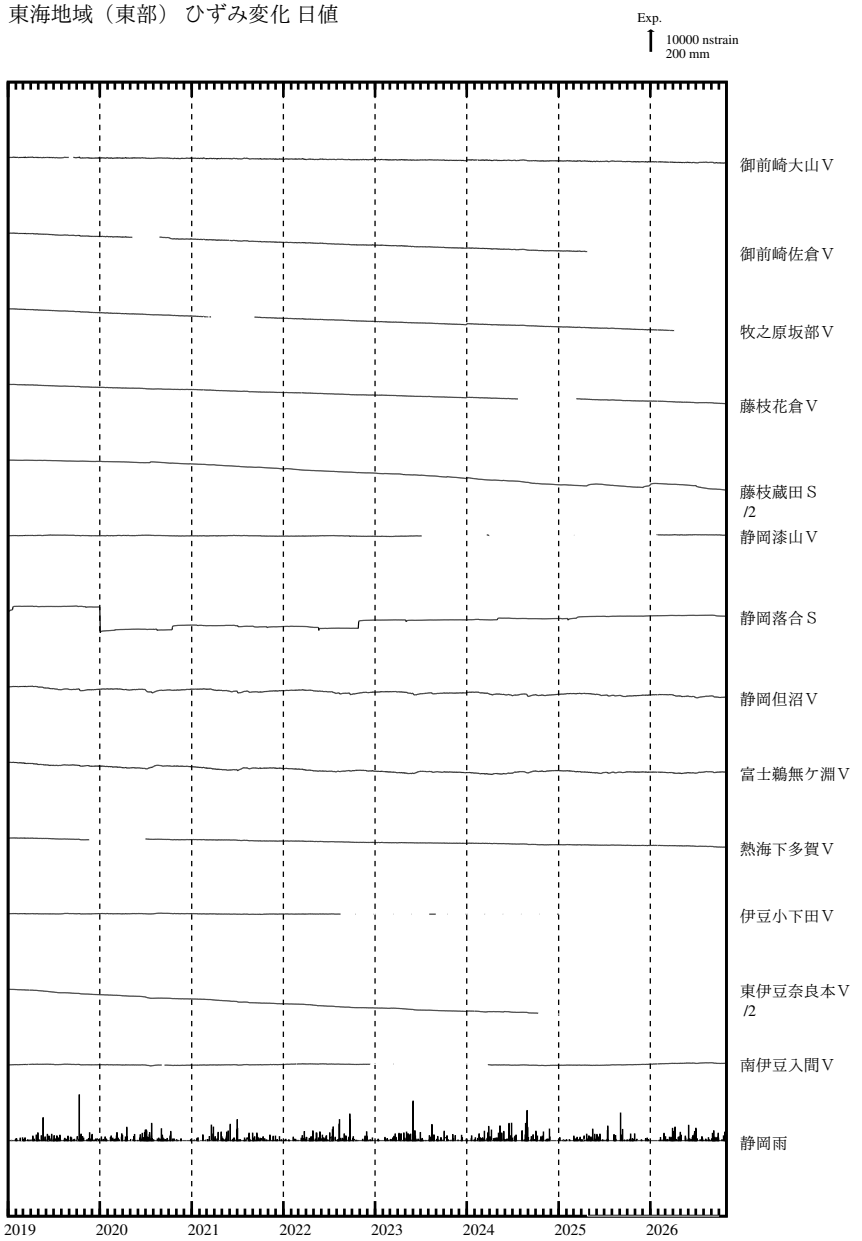
・気圧，潮汐，降水，地磁気（面積ひずみ）補正データ



・特記事項なし。

C　：地震に伴うステップ状の変化
L　：局所的な変化
S　：例年見られる変化
M　：調整
T　：障害

東海地域（東部） ひずみ変化 日値

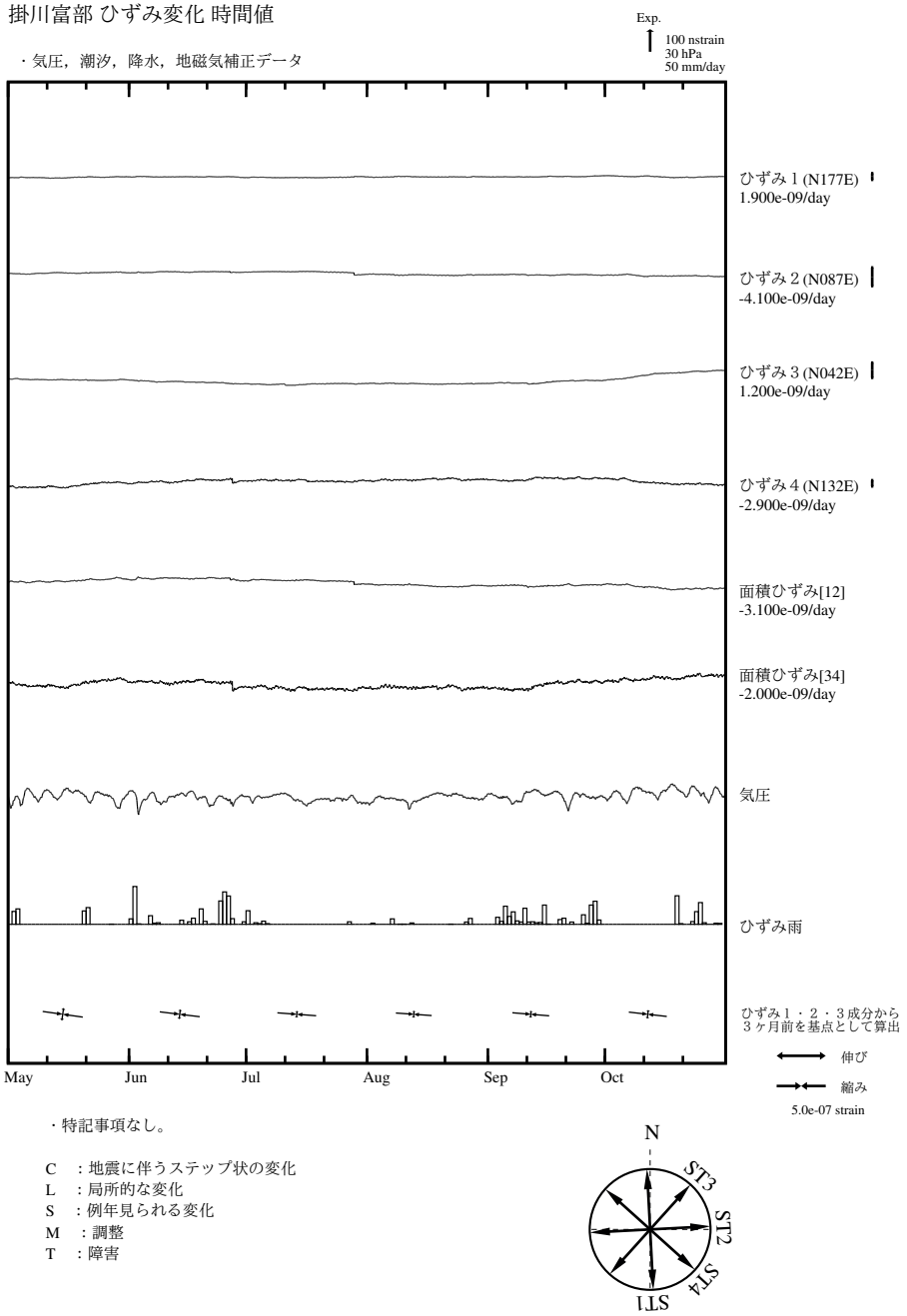


※面積ひずみは，地震に伴うステップ状の変化を除去して計算している。

気象庁作成

掛川富部 ひずみ変化 時間値

・気圧，潮汐，降水，地磁気補正データ

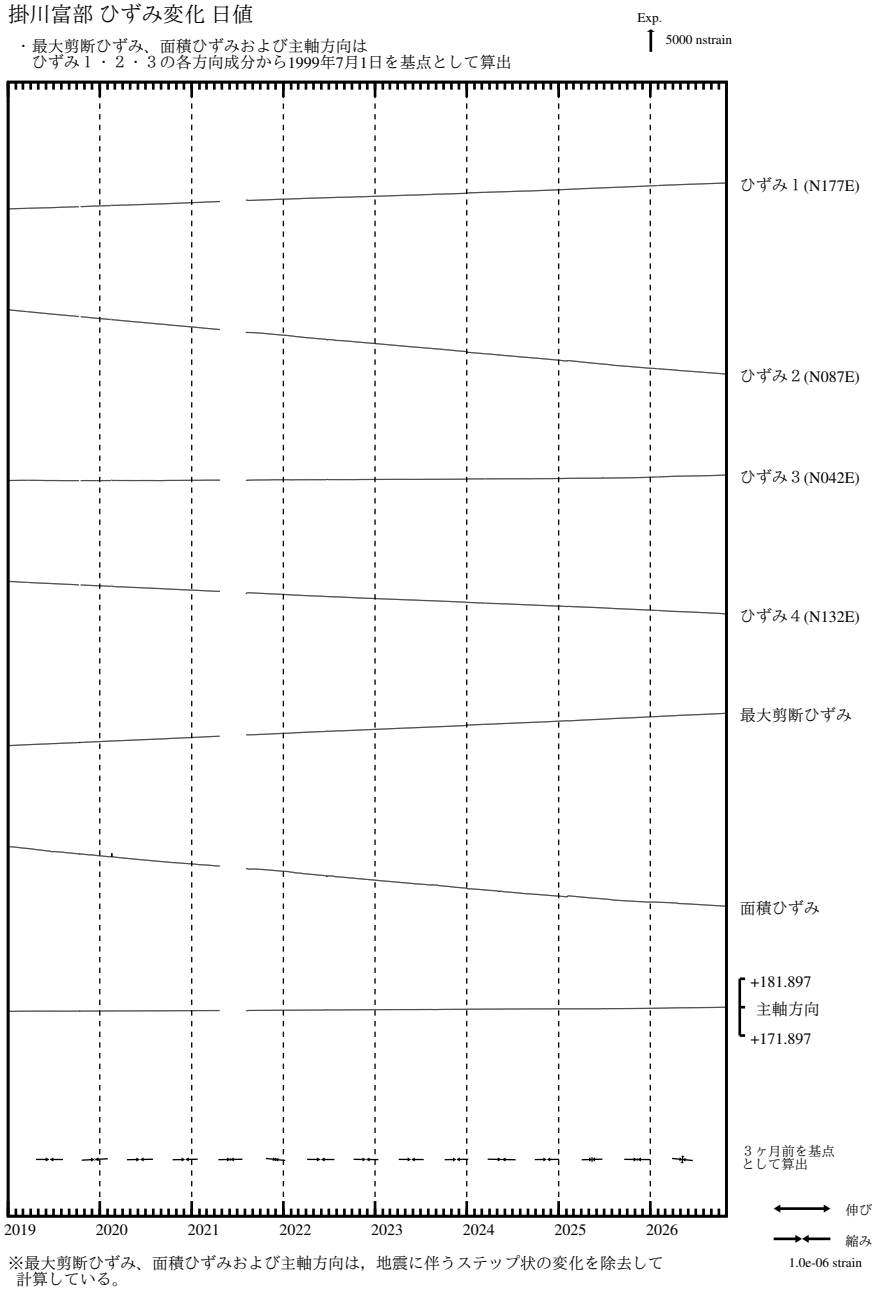


・特記事項なし。

C　：地震に伴うステップ状の変化
L　：局所的な変化
S　：例年見られる変化
M　：調整
T　：障害

掛川富部 ひずみ変化 日値

・最大剪断ひずみ、面積ひずみおよび主軸方向は
ひずみ１・２・３の各方向成分から1999年7月1日を基点として算出

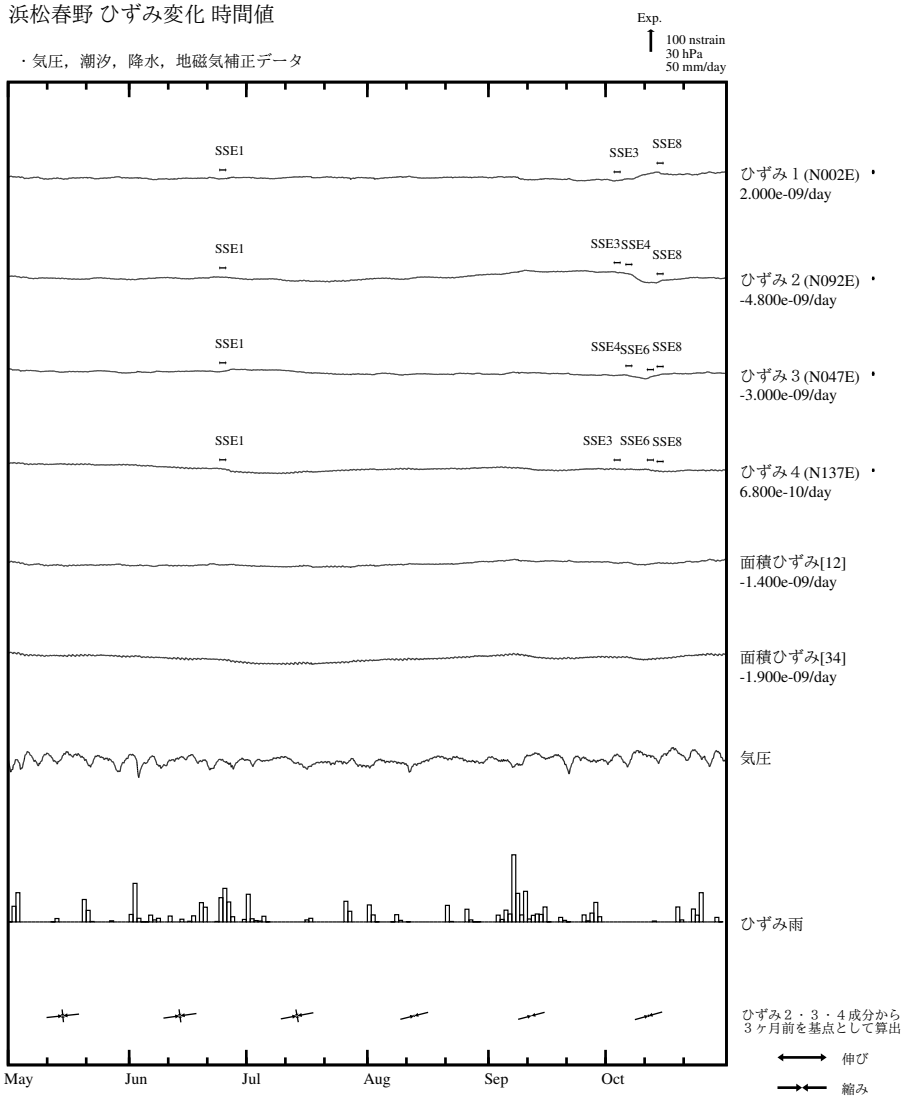


※最大剪断ひずみ、面積ひずみおよび主軸方向は，地震に伴うステップ状の変化を除去して計算している。

気象庁作成

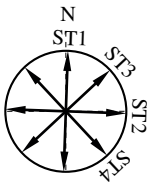
浜松春野 ひずみ変化 時間値

・気圧，潮汐，降水，地磁気補正データ



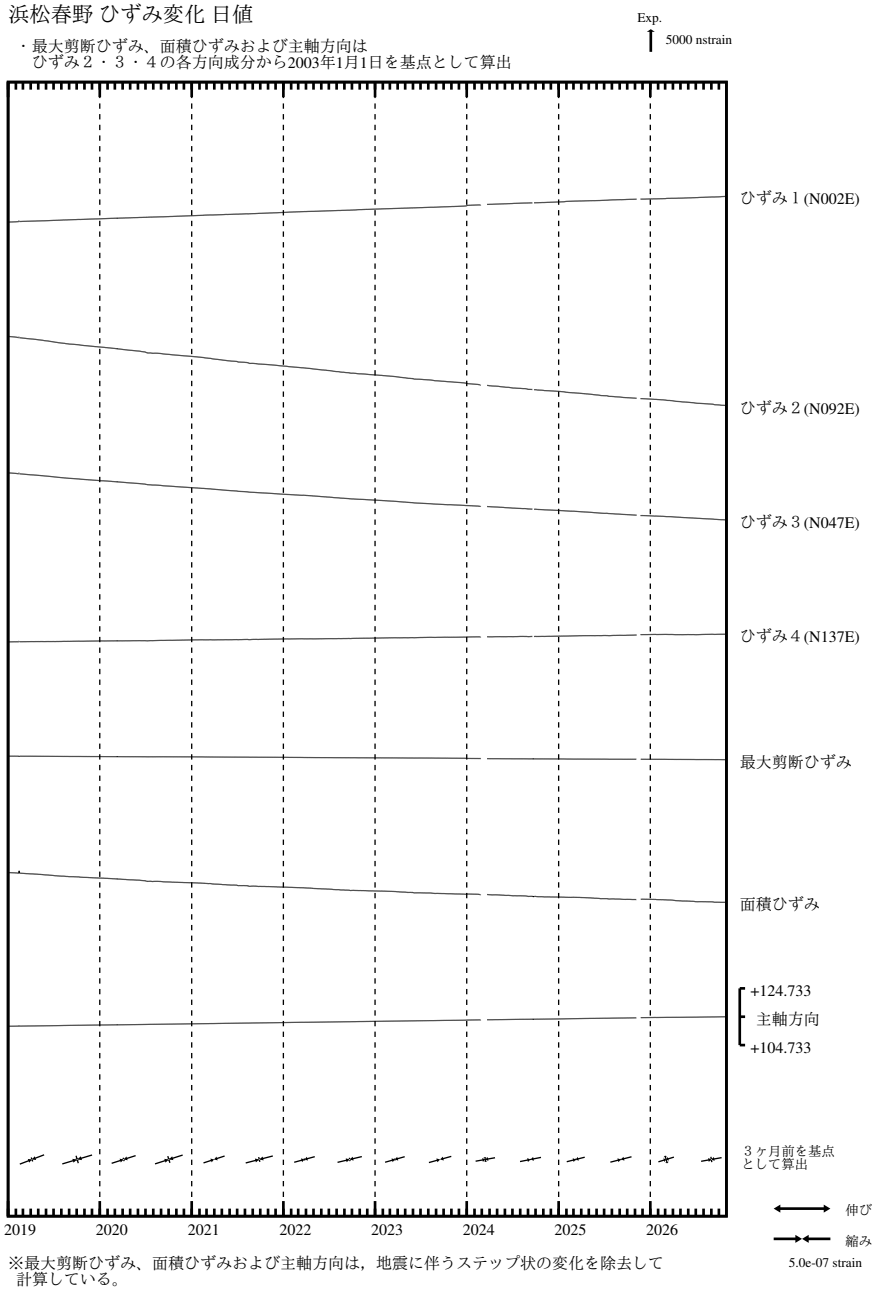
SSE1 ：短期的ゆっくりすべり 2026.06.24-06.27
SSE3 ：短期的ゆっくりすべり 2026.10.03-10.05
SSE4 ：短期的ゆっくりすべり 2026.10.06-10.08
SSE6 ：短期的ゆっくりすべり 2026.10.11-10.12
SSE8 ：短期的ゆっくりすべり 2026.10.14-10.15

C ：地震に伴うステップ状の変化
L ：局所的な変化
S ：例年見られる変化
M ：調整
T ：障害



浜松春野 ひずみ変化 日値

・最大剪断ひずみ、面積ひずみおよび主軸方向は
ひずみ２・３・４の各方向成分から2003年1月1日を基点として算出

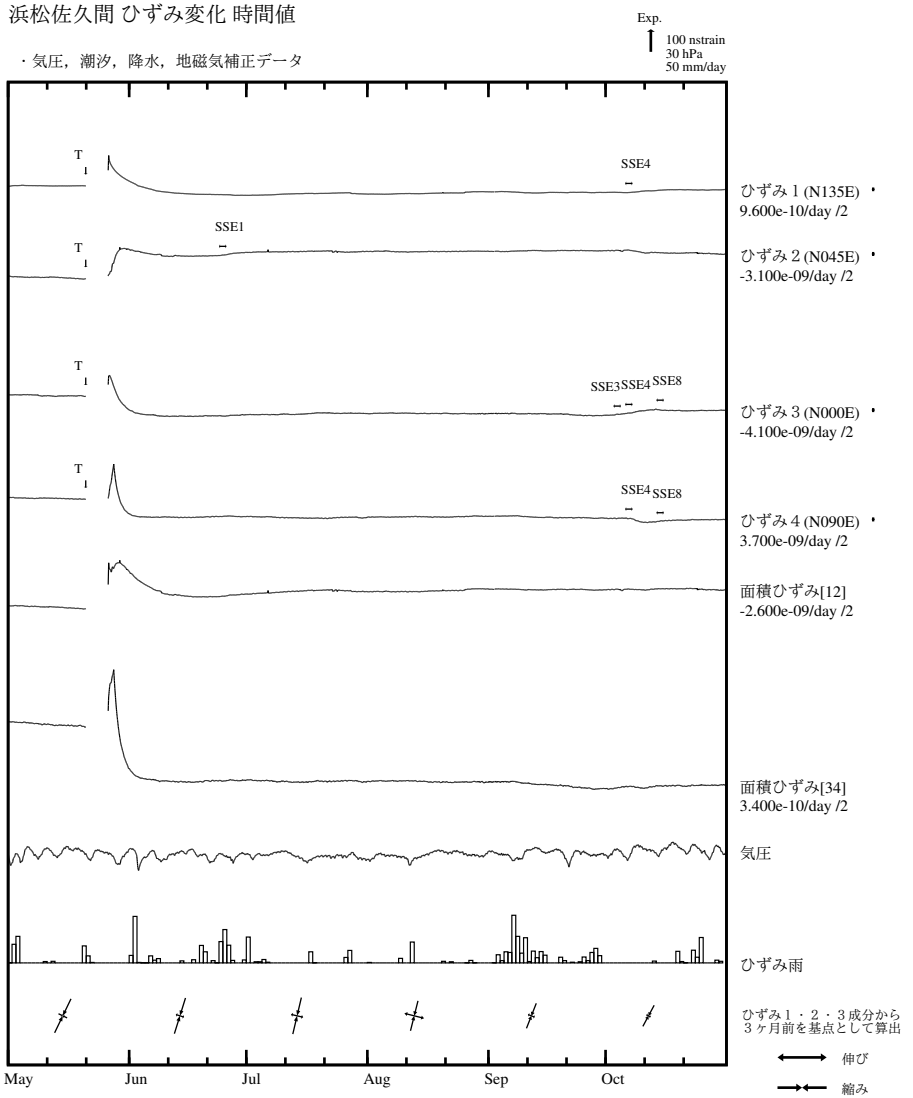


※最大剪断ひずみ、面積ひずみおよび主軸方向は，地震に伴うステップ状の変化を除去して計算している。

気象庁作成

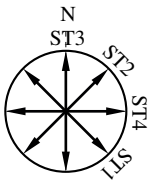
浜松佐久間 ひずみ変化 時間値

・気圧，潮汐，降水，地磁気補正データ



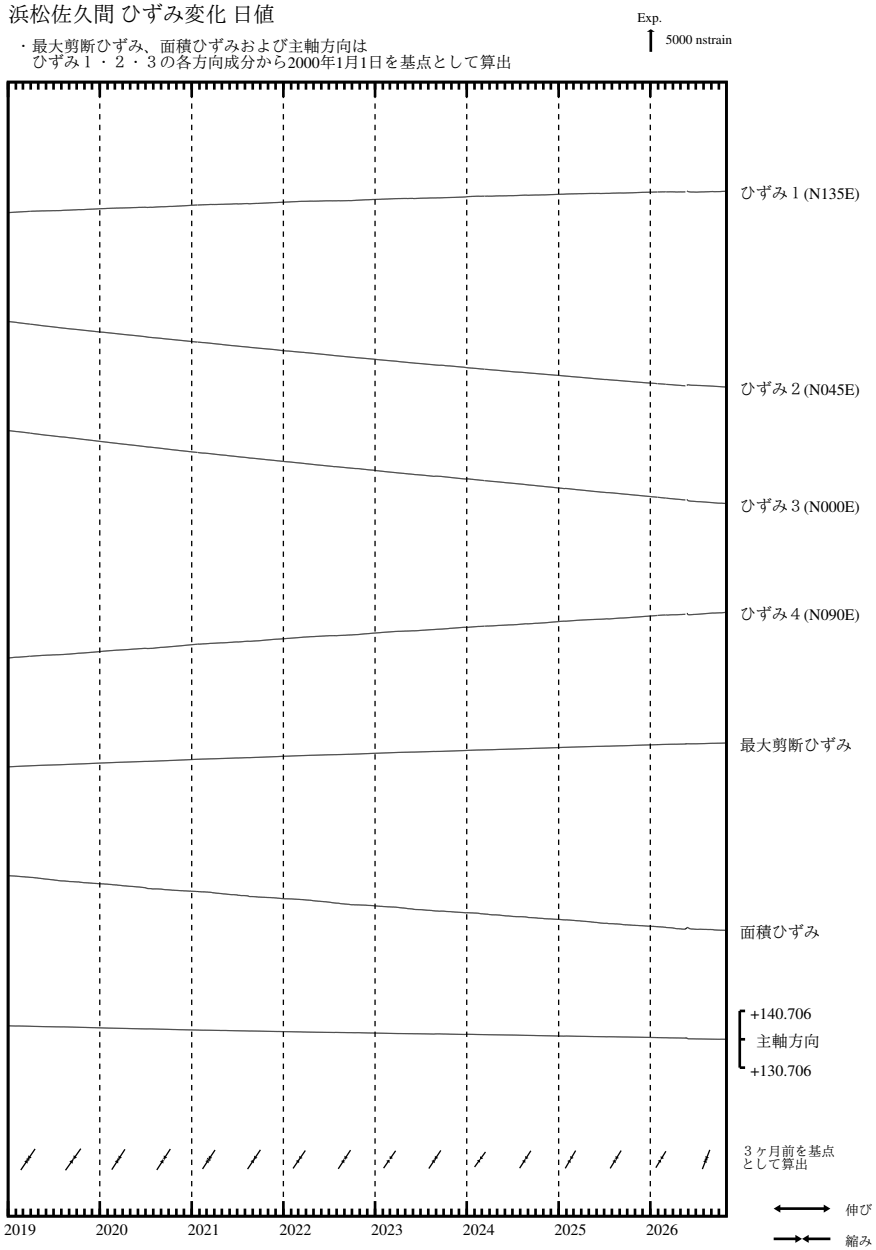
SSE1 ：短期的ゆっくりすべり 2026.06.24-06.27
SSE3 ：短期的ゆっくりすべり 2026.10.03-10.05
SSE4 ：短期的ゆっくりすべり 2026.10.06-10.08
SSE8 ：短期的ゆっくりすべり 2026.10.14-10.15

C ：地震に伴うステップ状の変化
L ：局所的な変化
S ：例年見られる変化
M ：調整
T ：障害



浜松佐久間 ひずみ変化 日値

・最大剪断ひずみ、面積ひずみおよび主軸方向は
ひずみ１・２・３の各方向成分から2000年1月1日を基点として算出

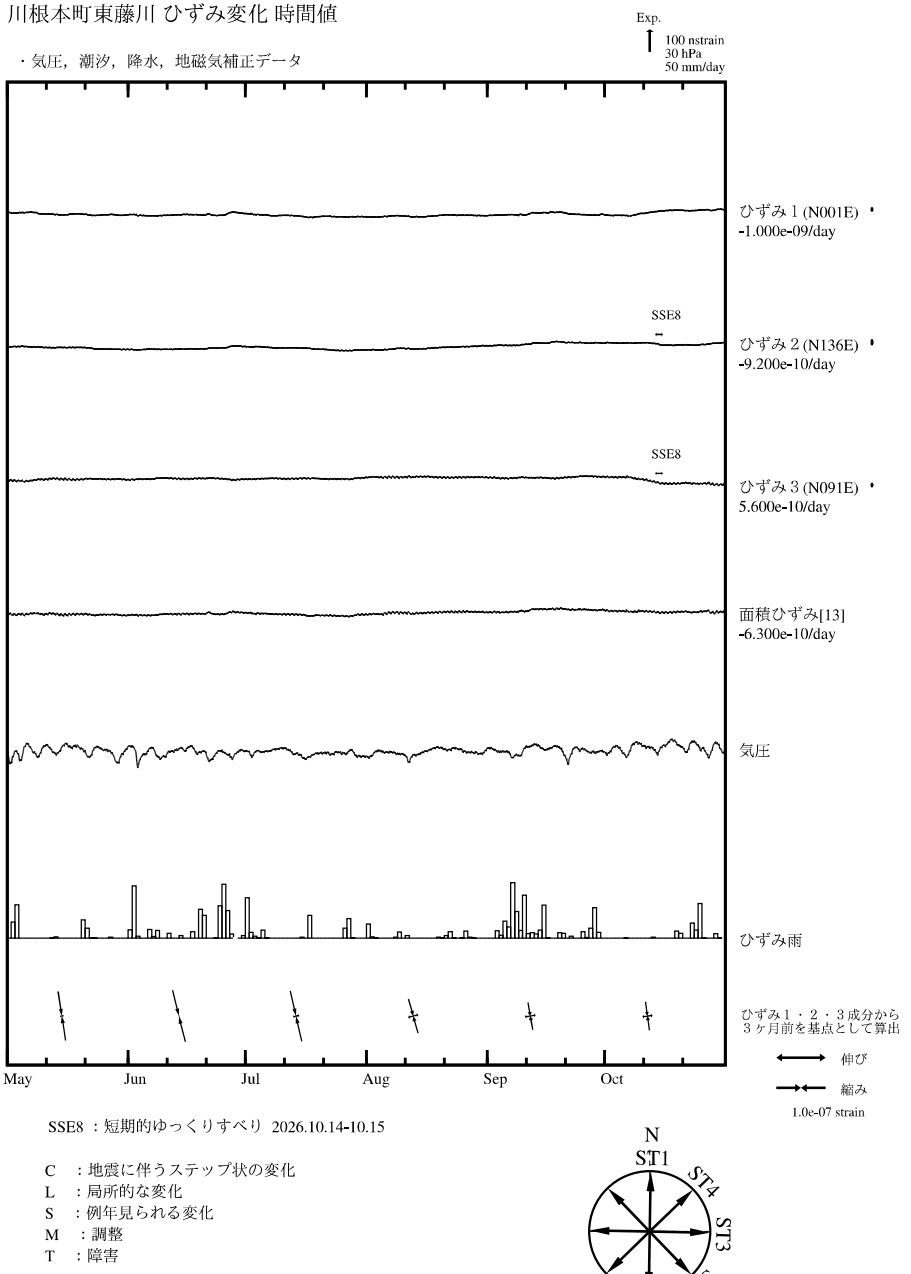


※最大剪断ひずみ、面積ひずみおよび主軸方向は，地震に伴うステップ状の変化を除去して計算している。

気象庁作成

川根本町東藤川 ひずみ変化 時間値

・気圧，潮汐，降水，地磁気補正データ

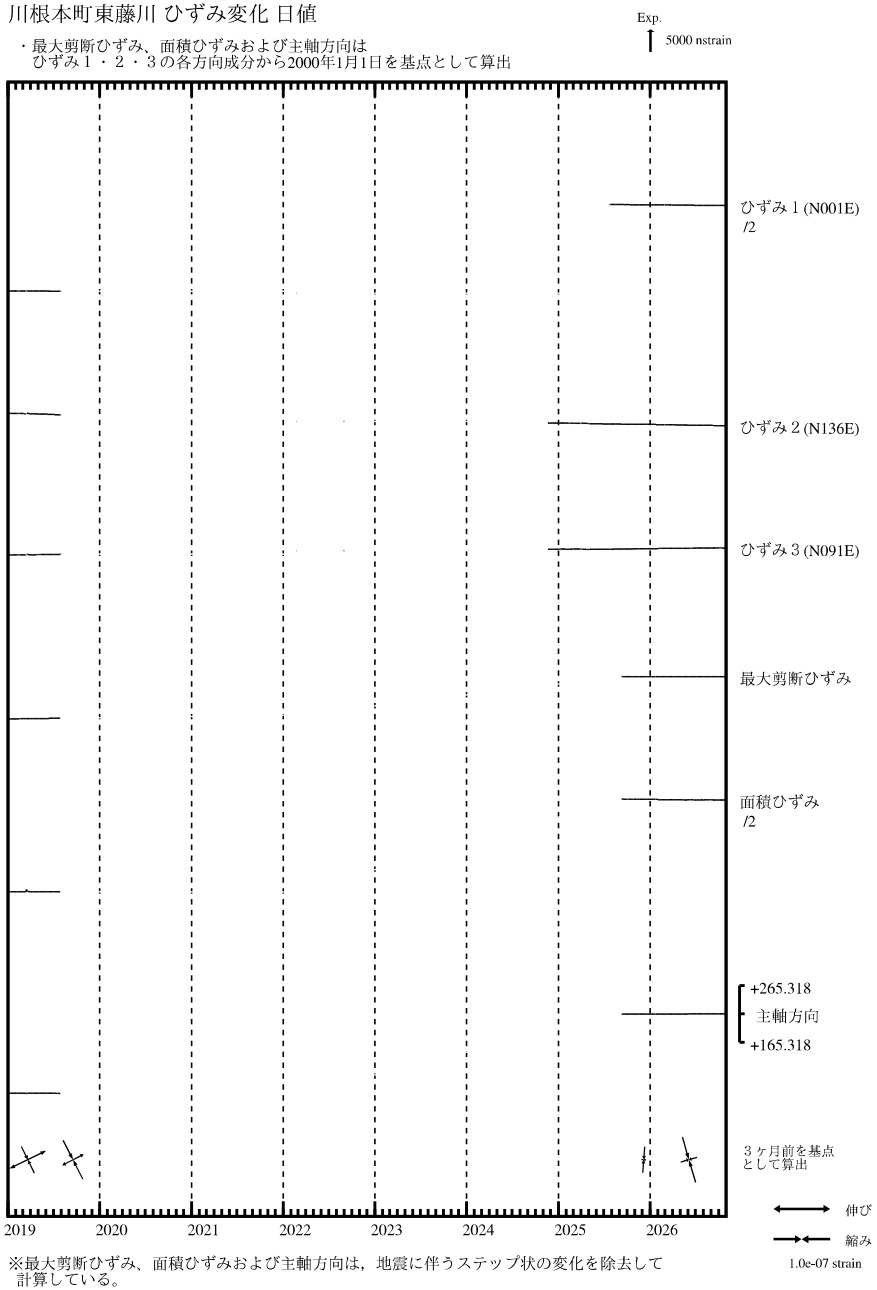


SSE8 ：短期的ゆっくりすべり 2026.10.14-10.15

C ：地震に伴うステップ状の変化
L ：局所的な変化
S ：例年見られる変化
M ：調整
T ：障害

川根本町東藤川 ひずみ変化 日値

・最大剪断ひずみ、面積ひずみおよび主軸方向は
ひずみ１・２・３の各方向成分から2000年1月1日を基点として算出

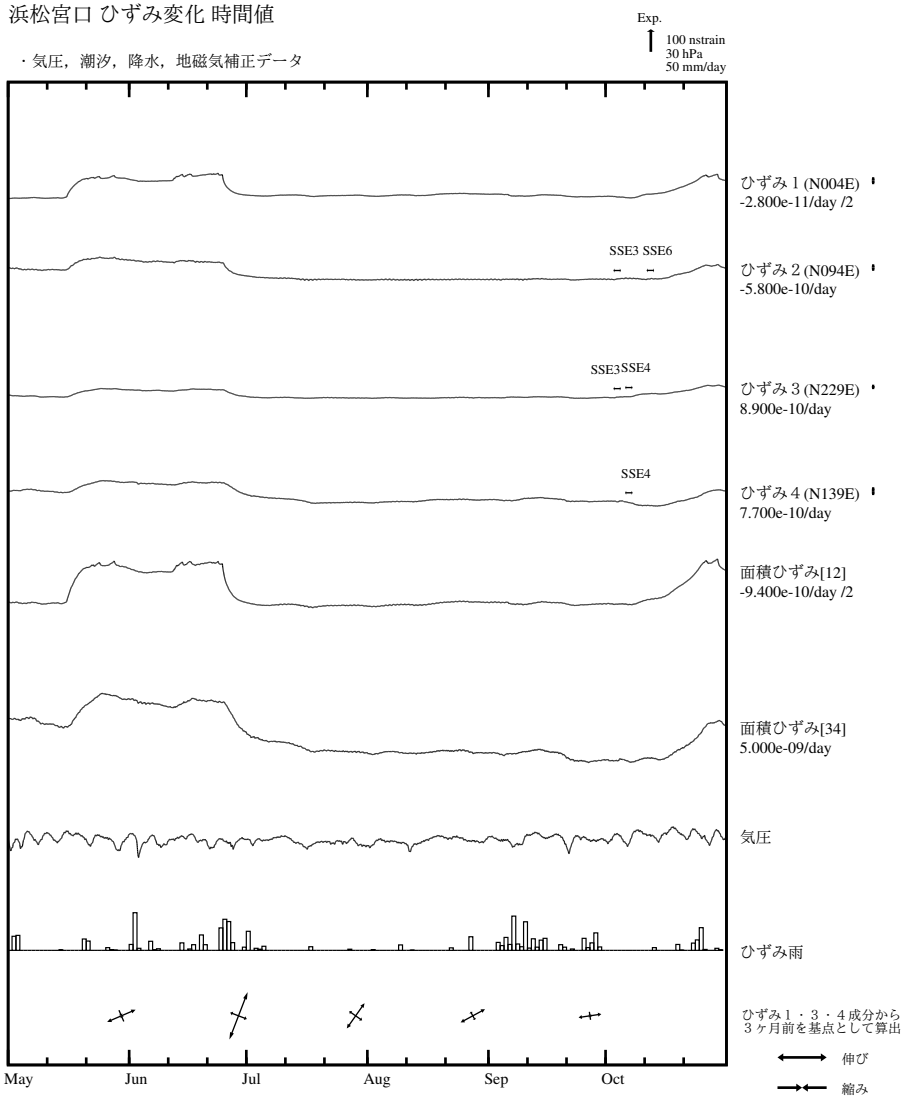


※最大剪断ひずみ、面積ひずみおよび主軸方向は，地震に伴うステップ状の変化を除去して計算している。

気象庁作成

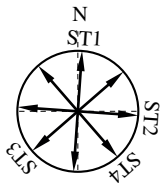
浜松宮口 ひずみ変化 時間値

・気圧，潮汐，降水，地磁気補正データ



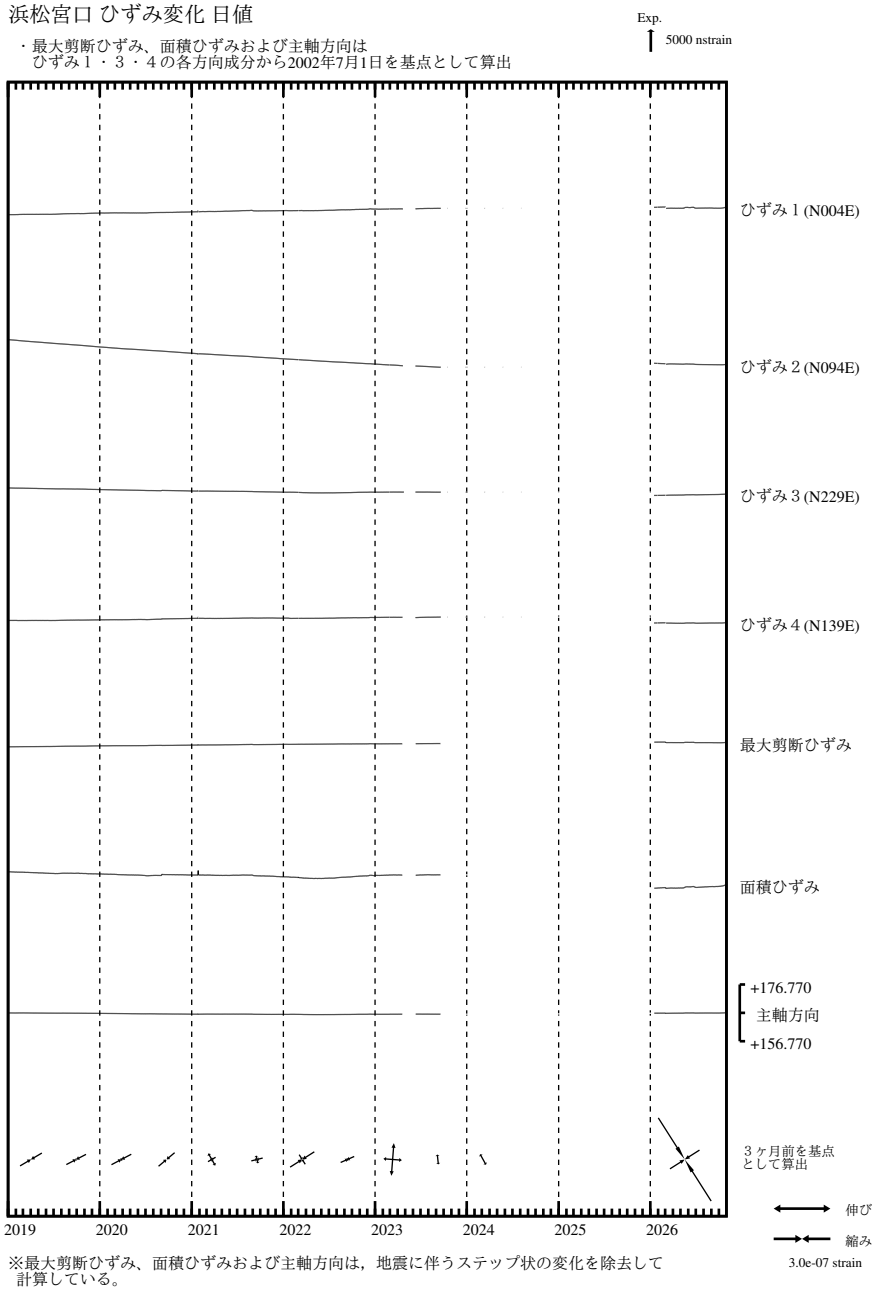
SSE3 ：短期的ゆっくりすべり 2026.10.03-10.05
SSE4 ：短期的ゆっくりすべり 2026.10.06-10.08
SSE6 ：短期的ゆっくりすべり 2026.10.11-10.12

C ：地震に伴うステップ状の変化
L ：局所的な変化
S ：例年見られる変化
M ：調整
T ：障害



浜松宮口 ひずみ変化 日値

・最大剪断ひずみ、面積ひずみおよび主軸方向は
ひずみ１・３・４の各方向成分から2002年7月1日を基点として算出

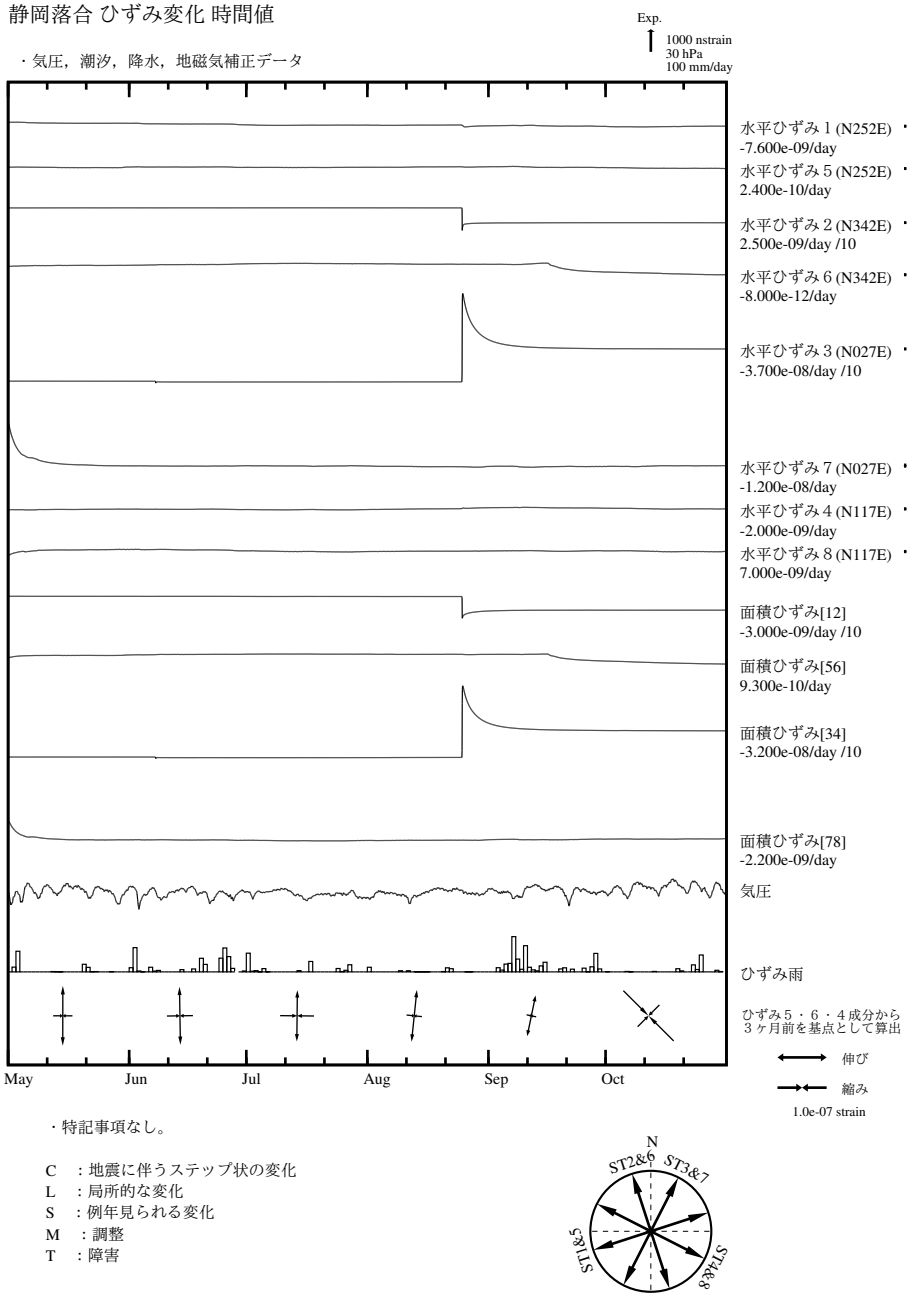


※最大剪断ひずみ、面積ひずみおよび主軸方向は，地震に伴うステップ状の変化を除去して計算している。

気象庁作成

静岡落合 ひずみ変化 時間値

・気圧，潮汐，降水，地磁気補正データ

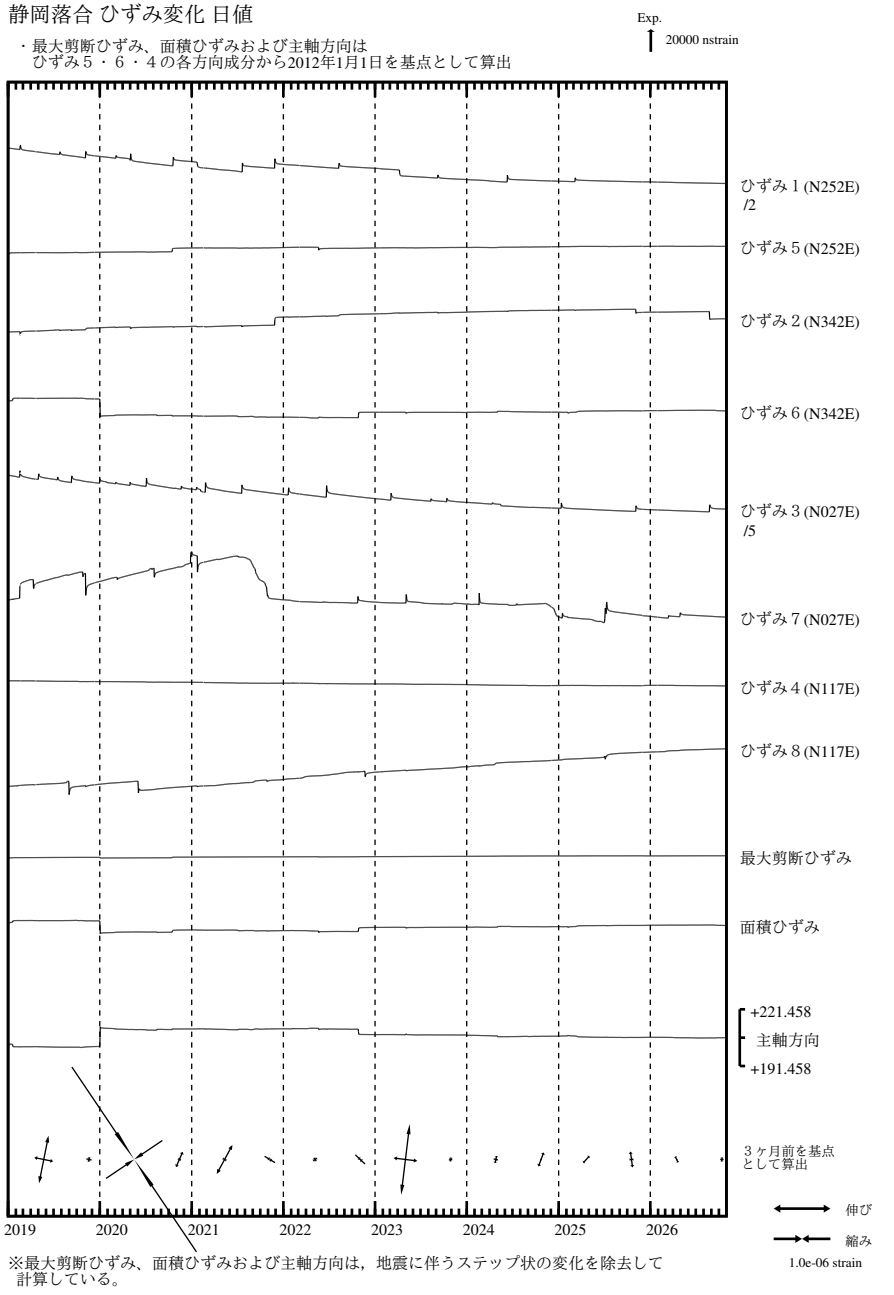


・特記事項なし。

C　：地震に伴うステップ状の変化
L　：局所的な変化
S　：例年見られる変化
M　：調整
T　：障害

静岡落合 ひずみ変化 日値

・最大剪断ひずみ、面積ひずみおよび主軸方向は
ひずみ５・６・４の各方向成分から2012年1月1日を基点として算出

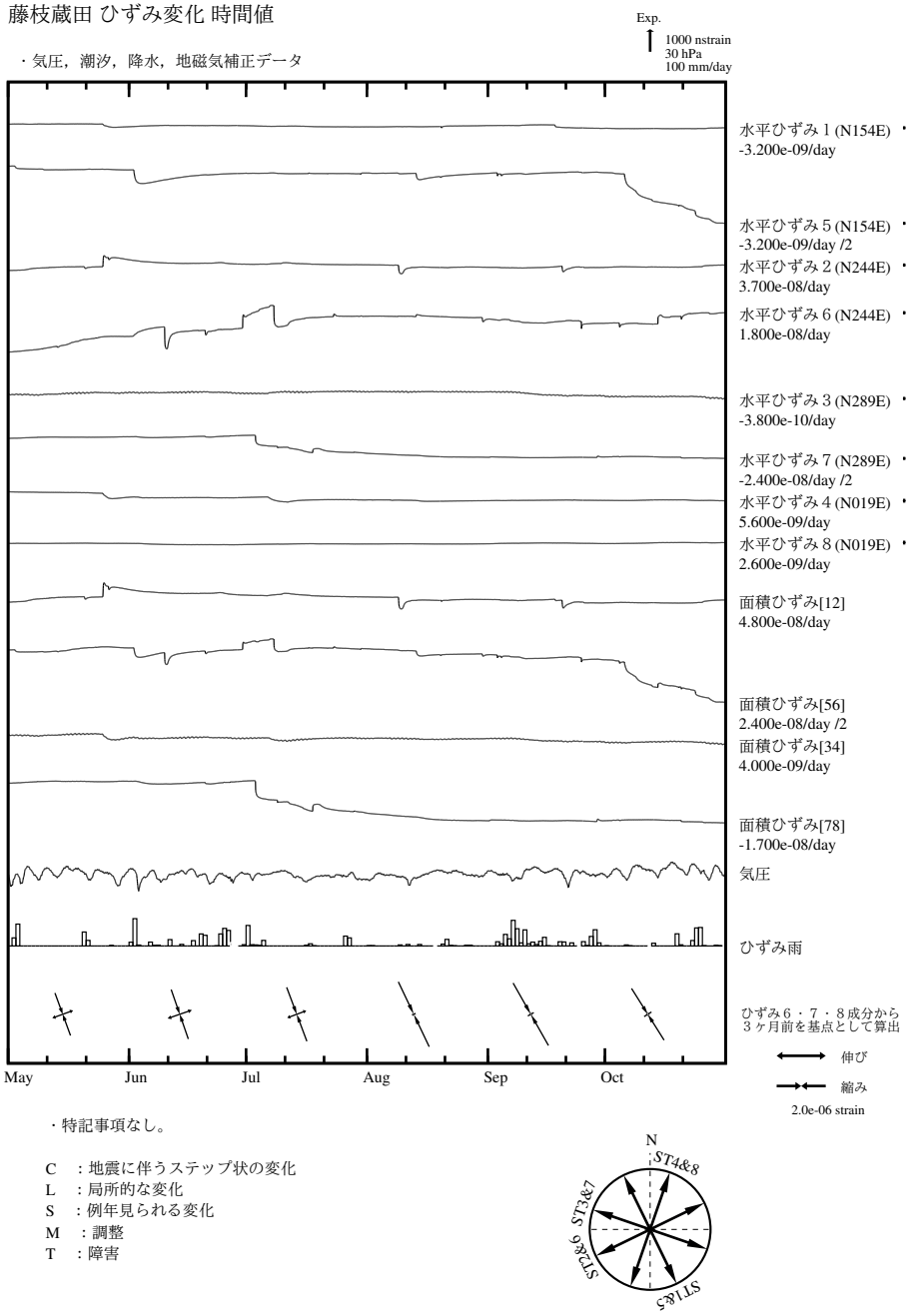


※最大剪断ひずみ、面積ひずみおよび主軸方向は，地震に伴うステップ状の変化を除去して計算している。

気象庁作成

藤枝蔵田 ひずみ変化 時間値

・気圧，潮汐，降水，地磁気補正データ

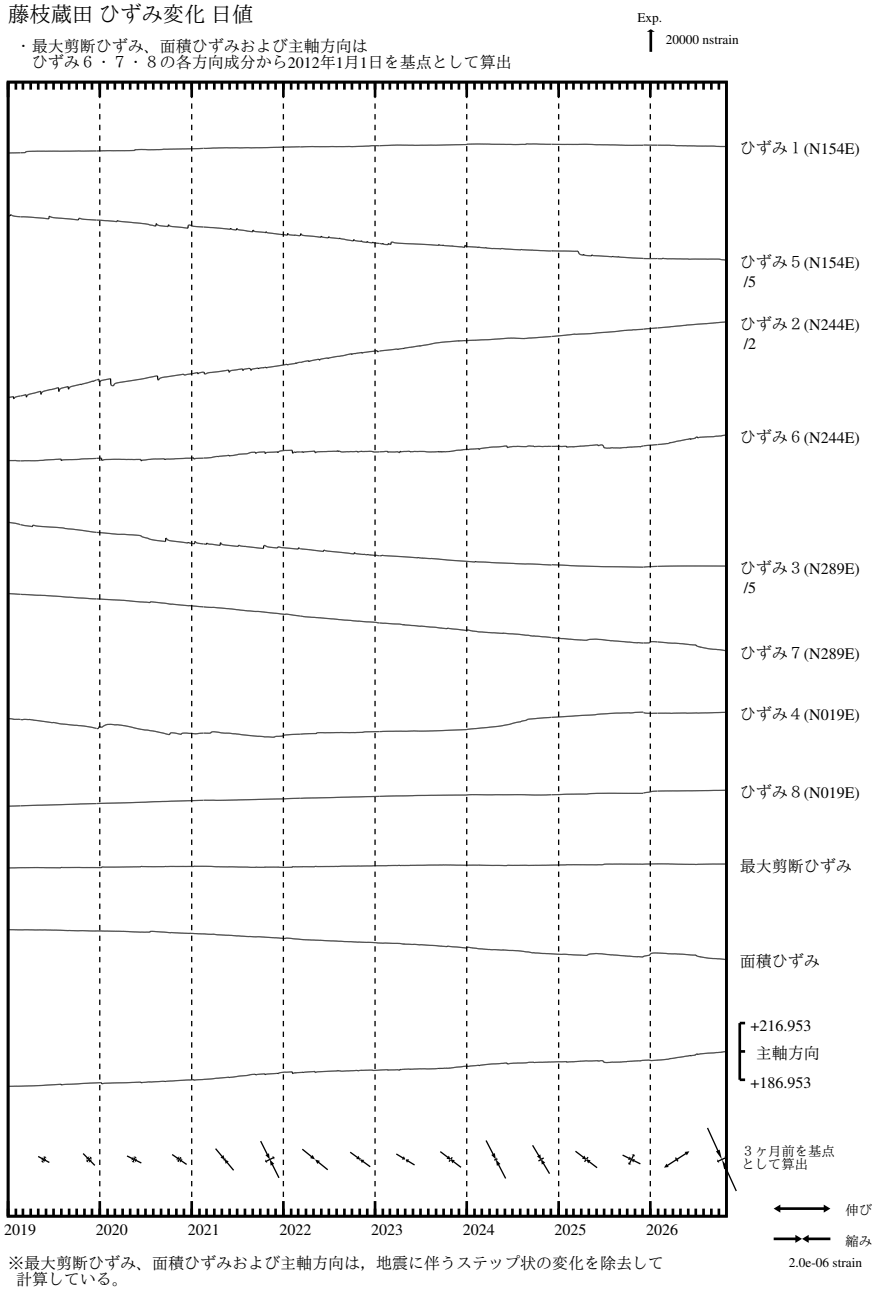


・特記事項なし。

C　：地震に伴うステップ状の変化
L　：局所的な変化
S　：例年見られる変化
M　：調整
T　：障害

藤枝蔵田 ひずみ変化 日値

・最大剪断ひずみ、面積ひずみおよび主軸方向は
ひずみ６・７・８の各方向成分から2012年1月1日を基点として算出

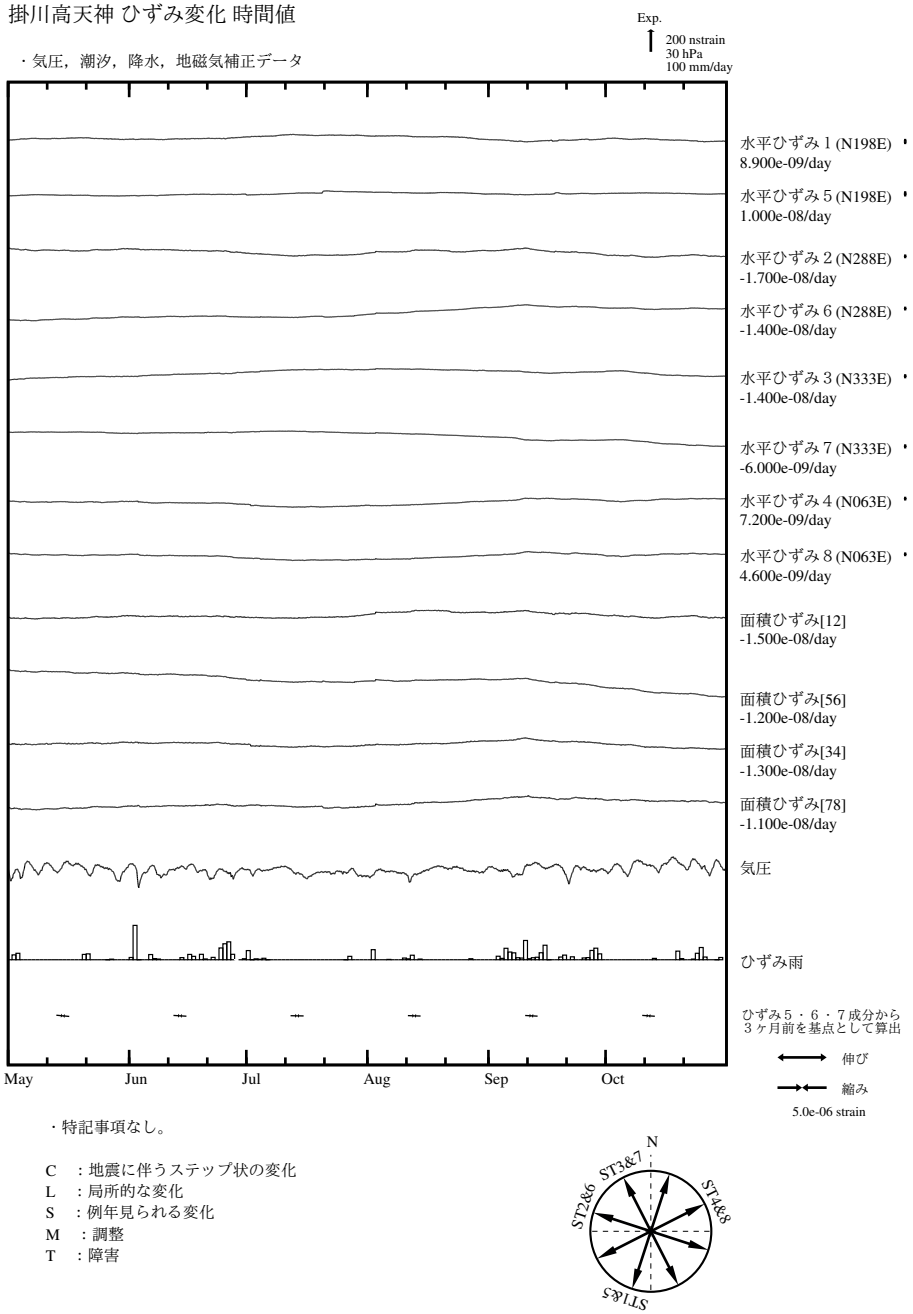


※最大剪断ひずみ、面積ひずみおよび主軸方向は，地震に伴うステップ状の変化を除去して計算している。

気象庁作成

掛川高天神 ひずみ変化 時間値

・気圧，潮汐，降水，地磁気補正データ

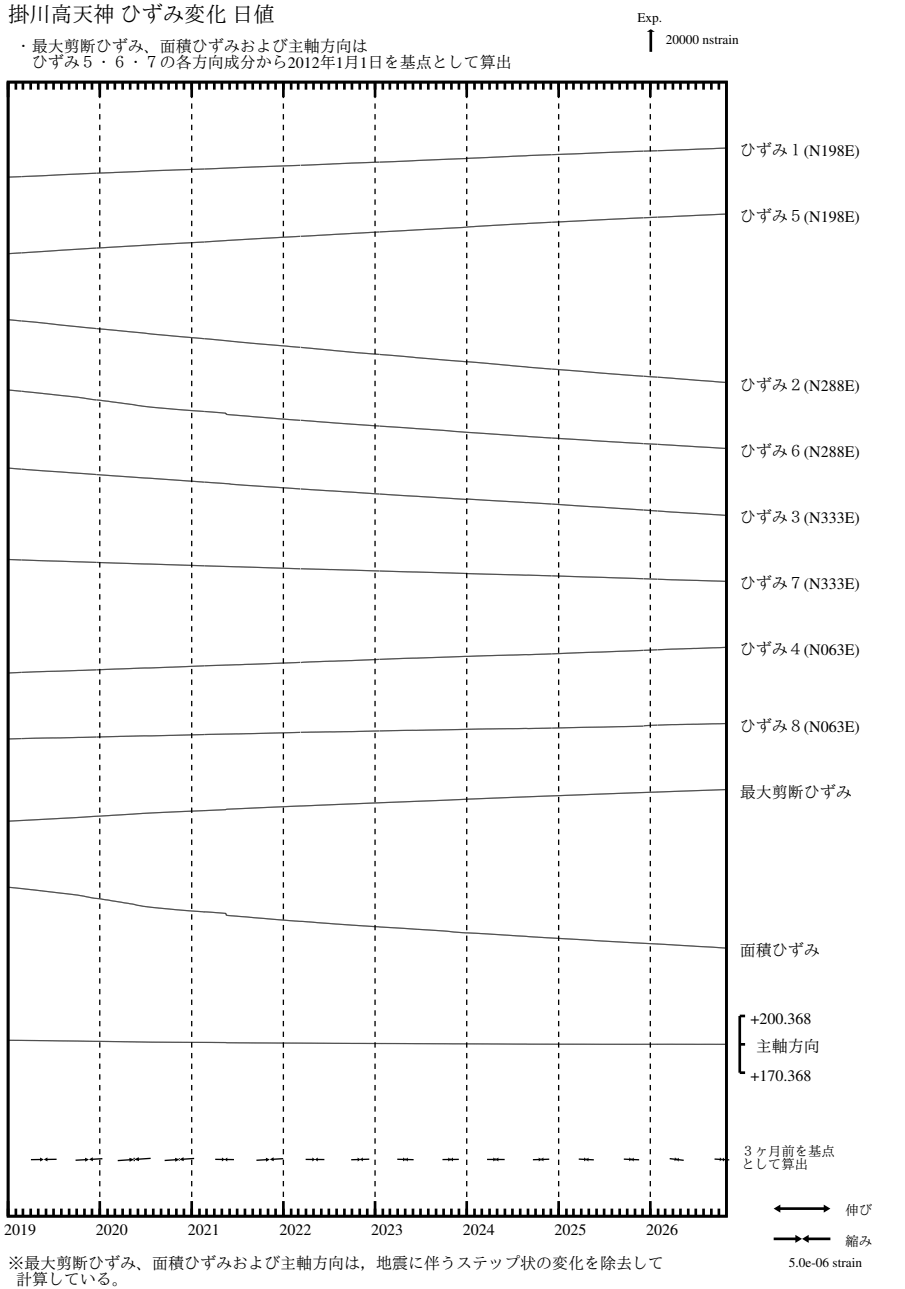


・特記事項なし。

C　：地震に伴うステップ状の変化
L　：局所的な変化
S　：例年見られる変化
M　：調整
T　：障害

掛川高天神 ひずみ変化 日値

・最大剪断ひずみ、面積ひずみおよび主軸方向は
ひずみ５・６・７の各方向成分から2012年1月1日を基点として算出

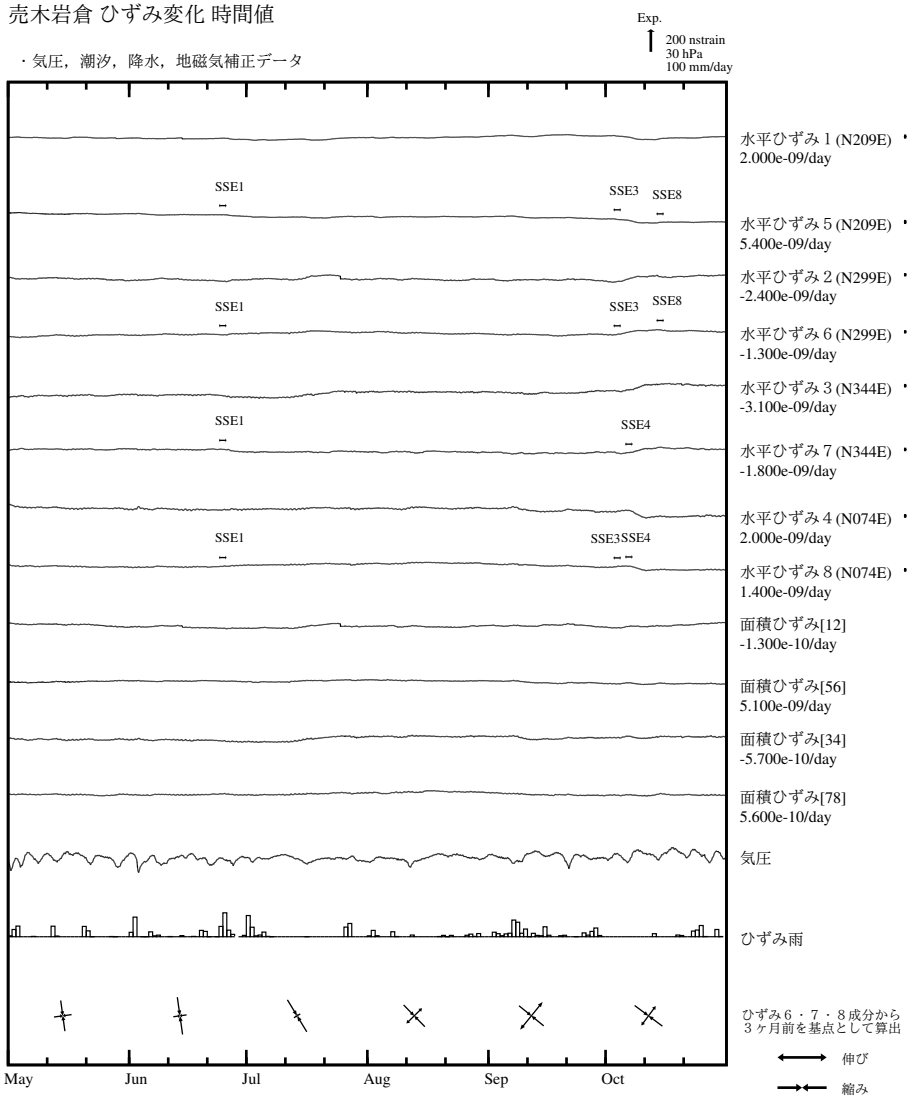


※最大剪断ひずみ、面積ひずみおよび主軸方向は，地震に伴うステップ状の変化を除去して計算している。

気象庁作成

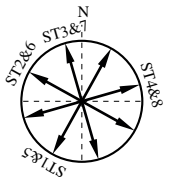
売木岩倉 ひずみ変化 時間値

・気圧，潮汐，降水，地磁気補正データ



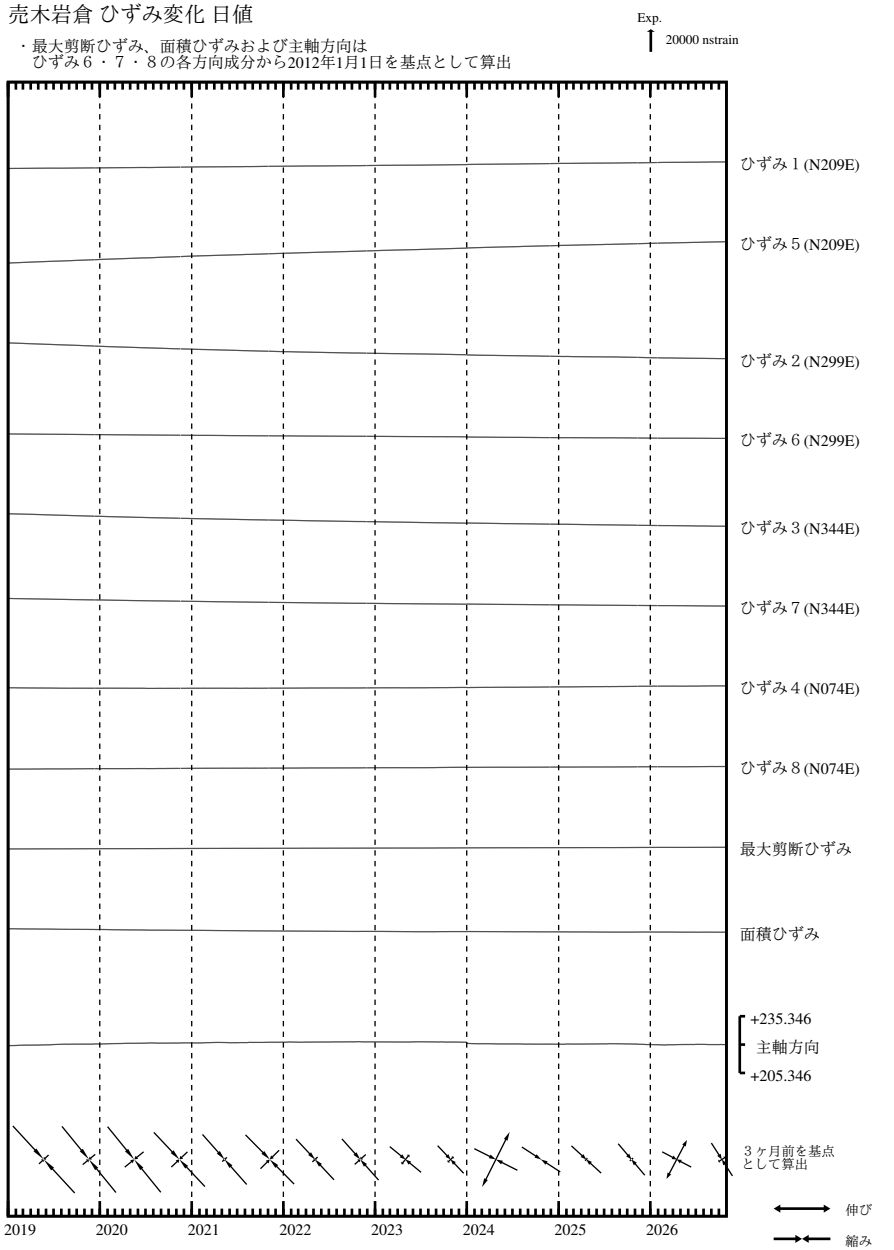
SSE1 ：短期的ゆっくりすべり 2026.06.24-06.27
SSE3 ：短期的ゆっくりすべり 2026.10.03-10.05
SSE4 ：短期的ゆっくりすべり 2026.10.06-10.08
SSE8 ：短期的ゆっくりすべり 2026.10.14-10.15

C ：地震に伴うステップ状の変化
L ：局所的な変化
S ：例年見られる変化
M ：調整
T ：障害



売木岩倉 ひずみ変化 日値

・最大剪断ひずみ、面積ひずみおよび主軸方向は
ひずみ６・７・８の各方向成分から2012年1月1日を基点として算出

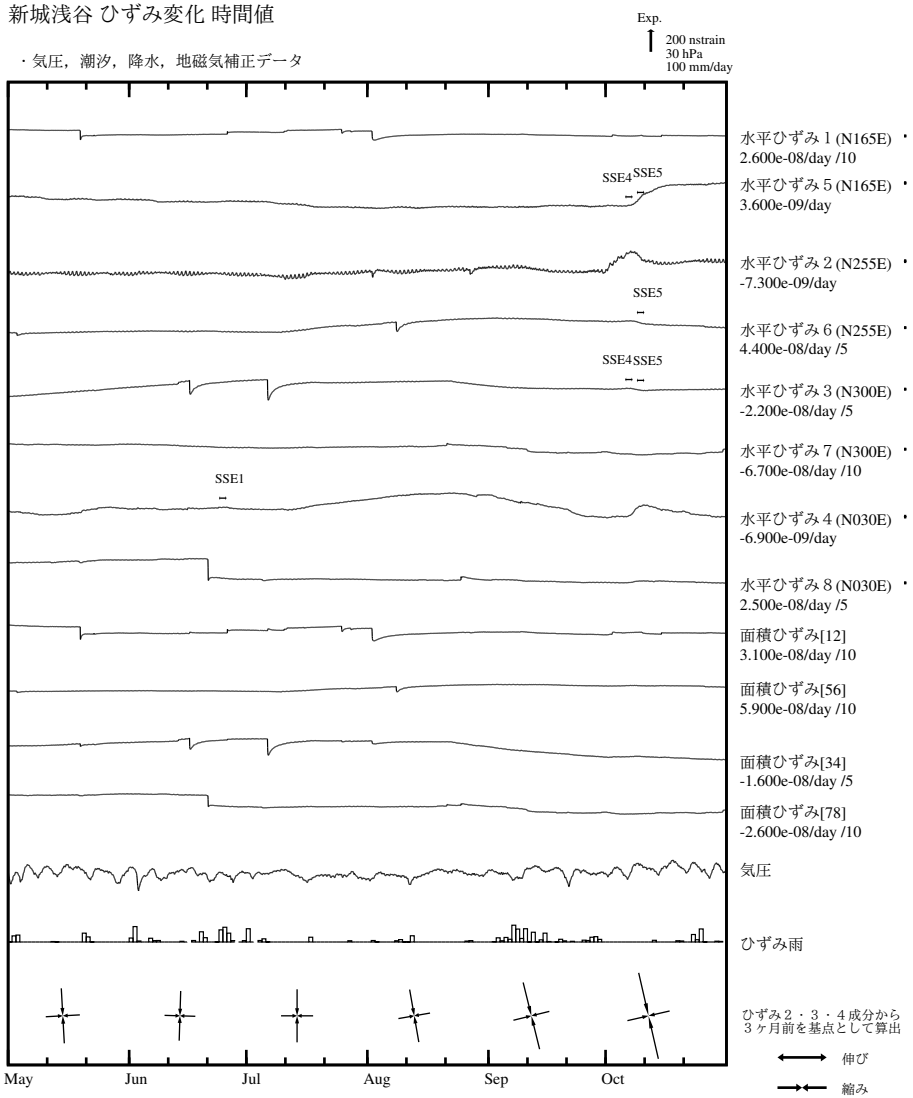


※最大剪断ひずみ、面積ひずみおよび主軸方向は，地震に伴うステップ状の変化を除去して計算している。

気象庁作成

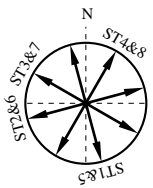
新城浅谷 ひずみ変化 時間値

・気圧，潮汐，降水，地磁気補正データ



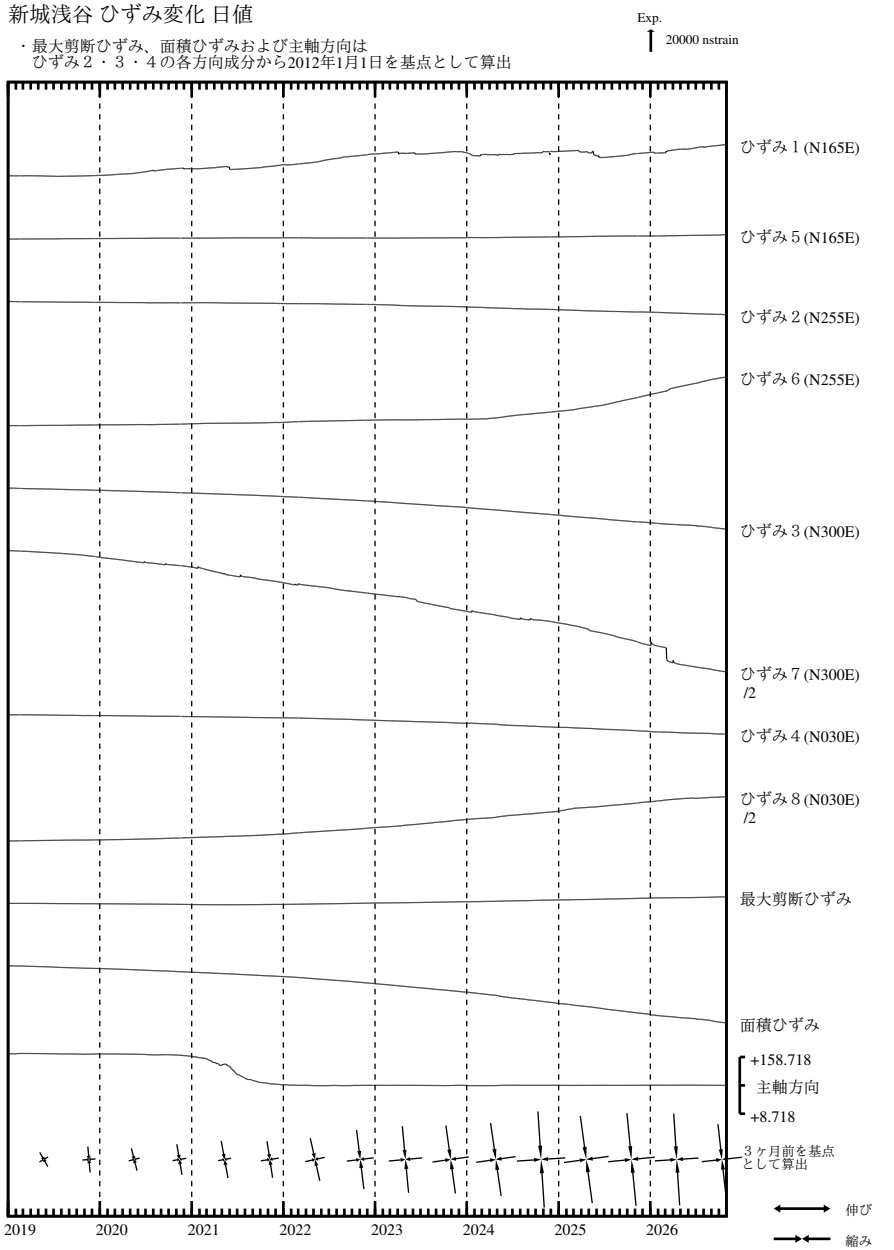
SSE1 ：短期的ゆっくりすべり 2026.06.24-06.27
SSE4 ：短期的ゆっくりすべり 2026.10.06-10.08
SSE5 ：短期的ゆっくりすべり 2026.10.09-10.10

C ：地震に伴うステップ状の変化
L ：局所的な変化
S ：例年見られる変化
M ：調整
T ：障害



新城浅谷 ひずみ変化 日値

・最大剪断ひずみ、面積ひずみおよび主軸方向は
ひずみ２・３・４の各方向成分から2012年1月1日を基点として算出

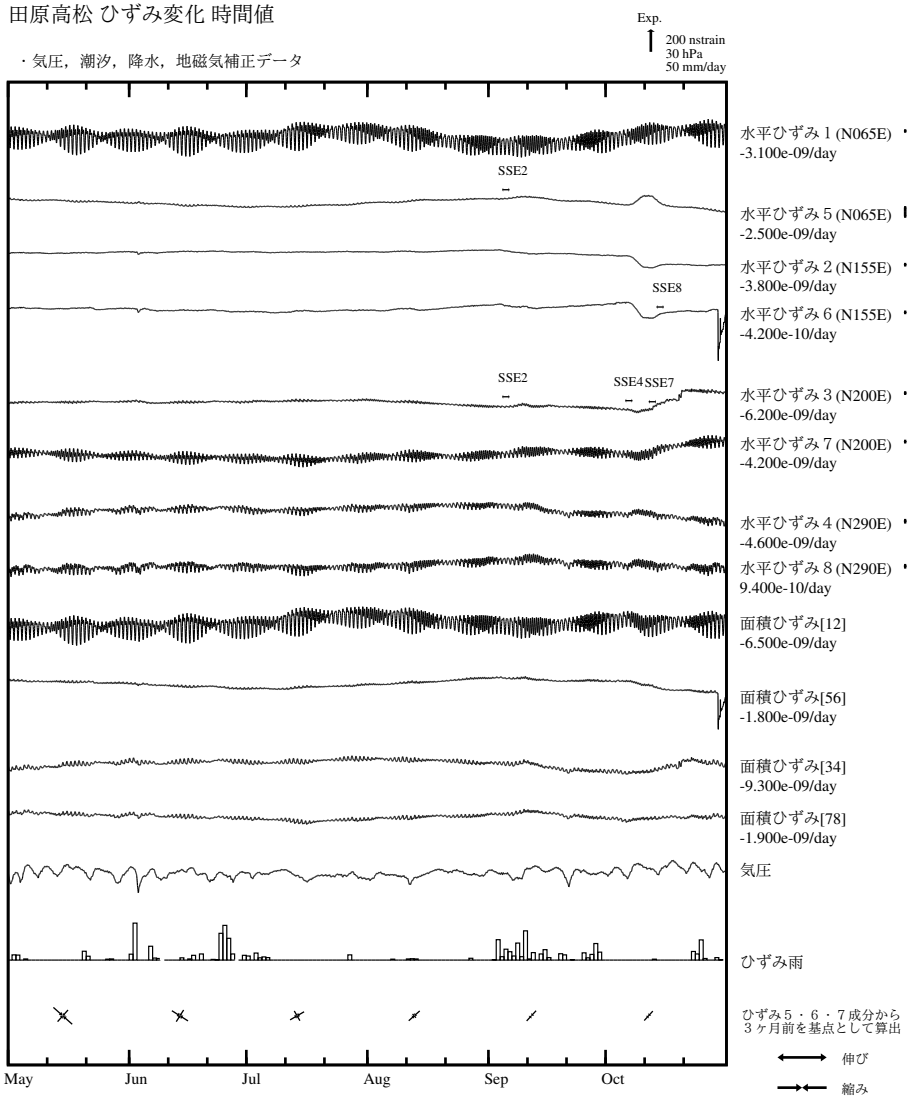


※最大剪断ひずみ、面積ひずみおよび主軸方向は，地震に伴うステップ状の変化を除去して計算している。

気象庁作成

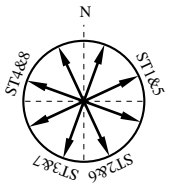
田原高松 ひずみ変化 時間値

・気圧，潮汐，降水，地磁気補正データ



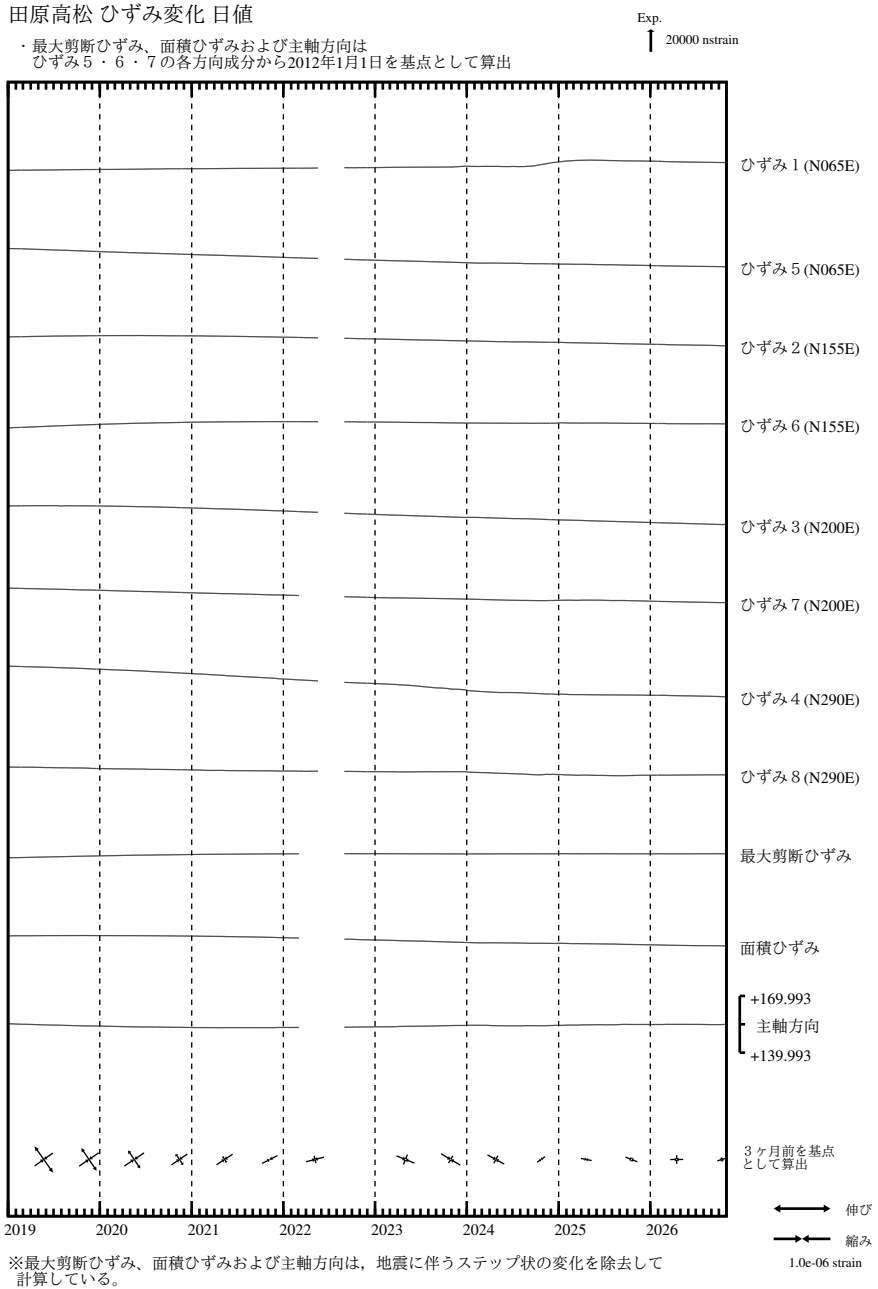
SSE2 ：短期的ゆっくりすべり 2026.09.04-09.08
SSE4 ：短期的ゆっくりすべり 2026.10.06-10.08
SSE7 ：短期的ゆっくりすべり 2026.10.12-10.13
SSE8 ：短期的ゆっくりすべり 2026.10.14-10.15

C ：地震に伴うステップ状の変化
L ：局所的な変化
S ：例年見られる変化
M ：調整
T ：障害



田原高松 ひずみ変化 日値

・最大剪断ひずみ、面積ひずみおよび主軸方向は
ひずみ５・６・７の各方向成分から2012年1月1日を基点として算出



※最大剪断ひずみ、面積ひずみおよび主軸方向は，地震に伴うステップ状の変化を除去して計算している。

気象庁作成

南海トラフ沿いの長期的スロースリップの客観検知

客観検知手法（Kobayashi, 2017[1)]）により、国土地理院GEONETのGNSS座標値F5.1解を用いて、長期的スロースリップに伴う変位を南海トラフに沿った経度・緯度別に以下の手順により検出したものである。

(1)観測点の成分ごとに直線トレンド、アンテナ交換などに伴うオフセットと主な地震に伴うオフセット、年周・半年周成分を除去する。

(2)長期的SSEの影響がほぼ見られない中国地方（九州沿いは九州北西部）の観測点の共通ノイズを全点から引き去り、領域全体を固定する。

(3)各観測点の水平成分からフィリピン海プレート沈み込みと逆方向（S55E）の成分を計算し、南海トラフ沿いのプレート等深線25kmに沿って設定した経度または緯度0.1度間隔の地点を中心（九州は南東端）とする50×100kmの矩形範囲内の各観測点の成分の平均値を求める。

(4)主な地震の余効変動を除去する。

(5)地点ごとの時系列と1年の傾斜期間を持つランプ関数との相互相関と、対象期間前後の2年間変化量を求める。

なお処理の仕様上、最新期間については、今後データ追加に伴い解析結果が変わる可能性がある。図に示された高相関の時空間分布は、変動源の位置自体ではなく変化が見られた範囲を意味している。

また、プレート境界上に置いた矩形断層でのすべりによる理論変位と比較することにより、以下の手順で長期的スロースリップの規模を推定した（小林、2021[2)]）。

(6) 南海トラフ沿いのプレート等深線25kmに沿って設定した経度または緯度0.1度間隔の地点を中心とする30×30kmの矩形断層上に100mmのすべりを与え、理論変位をOkada (1992)により計算する。

(7) 計算地点を中心（九州は南東端）とする地表上の50×100 kmの矩形範囲内の観測点における、(6)の理論変位の沈み込み方向と逆方向に投影した成分の理論平均変位を求める。

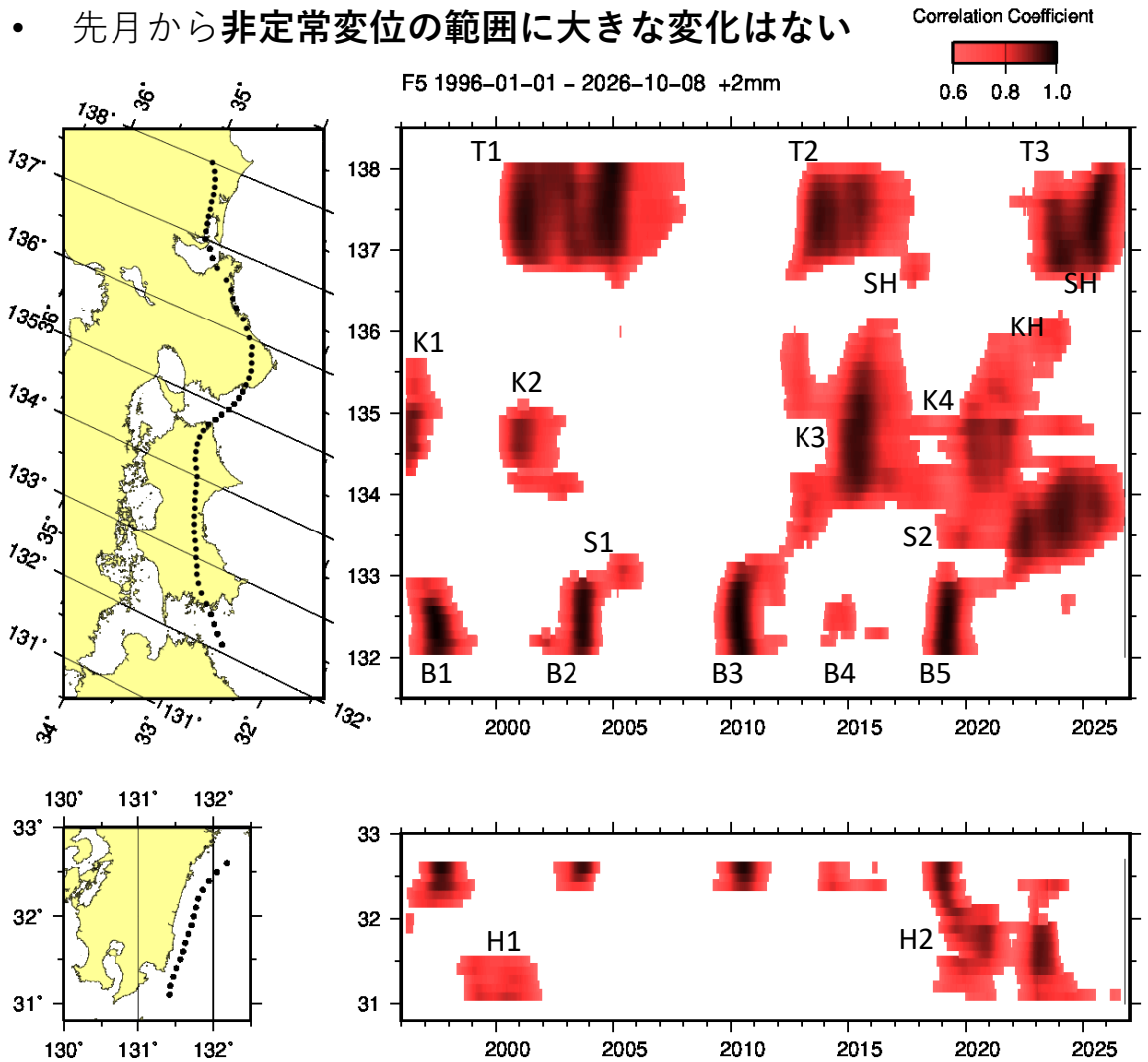
(8) 手順(5)で求めた2年間の観測変位量と、手順(7)で求めた一定のすべり量を与えた場合の理論変位値とを比較する。このとき、2年間の観測変位量が大きい/小さい場合でも、単純化のためすべりの範囲は(6)で設定した矩形断層上にあると仮定する。矩形断層上のすべり量と地表変位量とは比例関係にあるため、2年間の観測変位量から2年間あたりのすべり量を求めることができ、対応するMwを算出する。

1) Kobayashi, A., 2017, Objective detection of long-term slow slip events along the Nankai Trough using GNSS data (1996–2016), Earth Planets Space, 69:171, doi:10.1186/s40623-017-0755-7.
2) 小林昭夫，2021，GNSSによる長期的スロースリップ客観検出手法の応用－短期的スロースリップの検出と長期的スロースリップの規模推定－，気象研究所研究報告，69，1-14.

気象庁・気象研究所作成

南海トラフ沿いの長期的スロースリップの客観検知

- 先月から**非定常変位の範囲に大きな変化はない**



T1:東海2000～2005年
T2:東海2013～2016年
T3:東海2022年～
SH:志摩半島2017～2018年、2019～2020年、
　　2024～2025年

K1:紀伊水道1996～1997年
K2:紀伊水道2000～2002年
K3:紀伊水道2014～2016年
K4:紀伊水道2019～2022年
KH:紀伊半島南部2020年～2024年

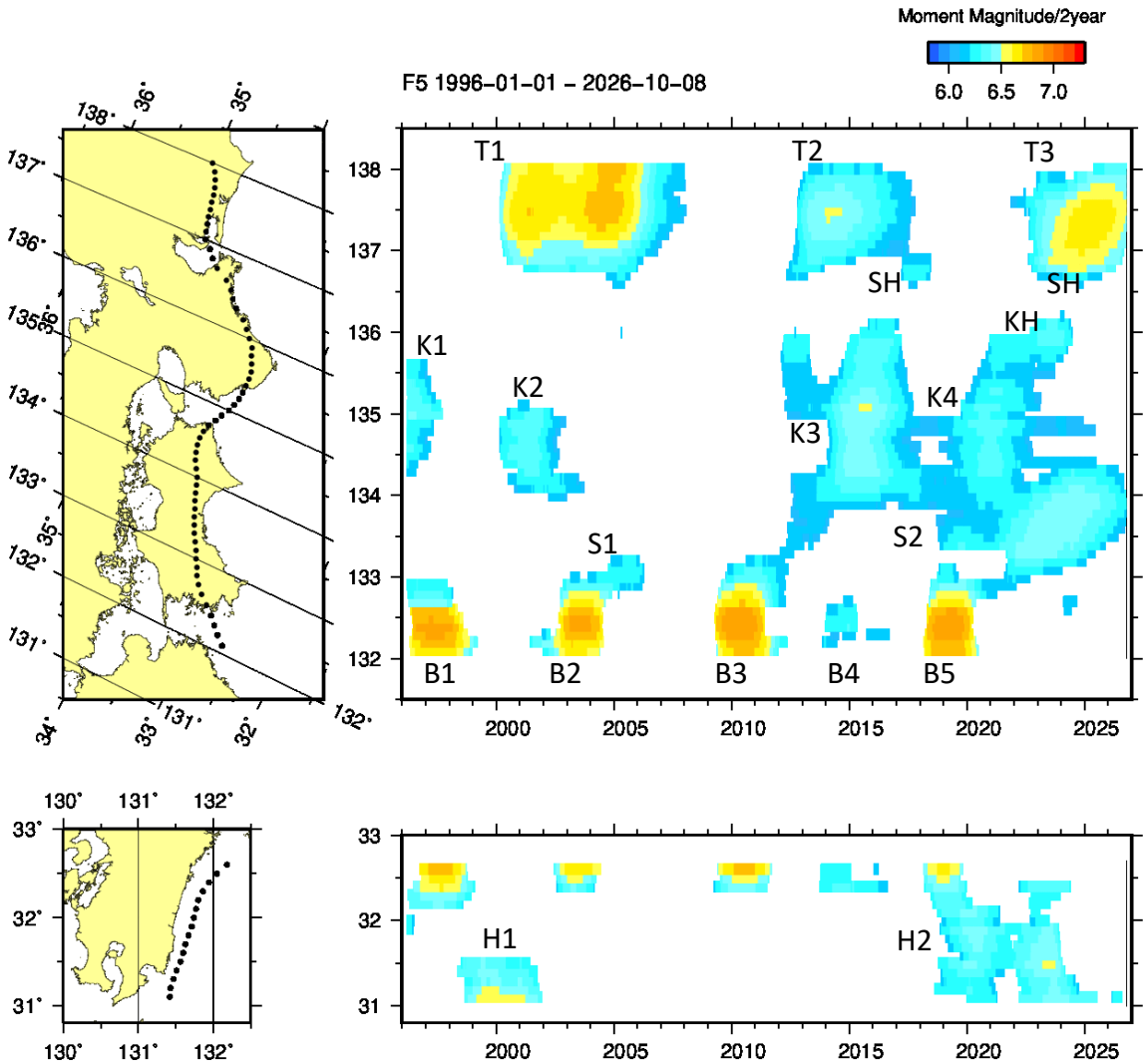
S1:四国西部2005年
S2:四国中部2019年～2025年

B1:豊後水道1996～1997年
B2:豊後水道2003年
B3:豊後水道2010年
B4:豊後水道2014年
B5:豊後水道2018～2019年

H1:日向灘南部 1998～2001年
H2:日向灘南部 2020～2021年、2023年

第1図　長期的スロースリップ客観検知図（1996年～2026年10月）
スロースリップに伴う非定常変位の範囲（場所、時間）を赤～黒で示す。色が濃いほどスロースリップの発生可能性が高い。右端の縦線は最新データ日を示す。なお、これは変位が検出された範囲で、変動源自体の範囲ではない。

気象庁・気象研究所作成



T1:東海2000～2005年
T2:東海2013～2016年
T3:東海2022年～
SH:志摩半島2017～2018年、2019～2020年、
　　2024～2025年

K1:紀伊水道1996～1997年
K2:紀伊水道2000～2002年
K3:紀伊水道2014～2016年
K4:紀伊水道2019～2022年
KH:紀伊半島南部2020年～2024年

S1:四国西部2005年
S2:四国中部2019年～2025年

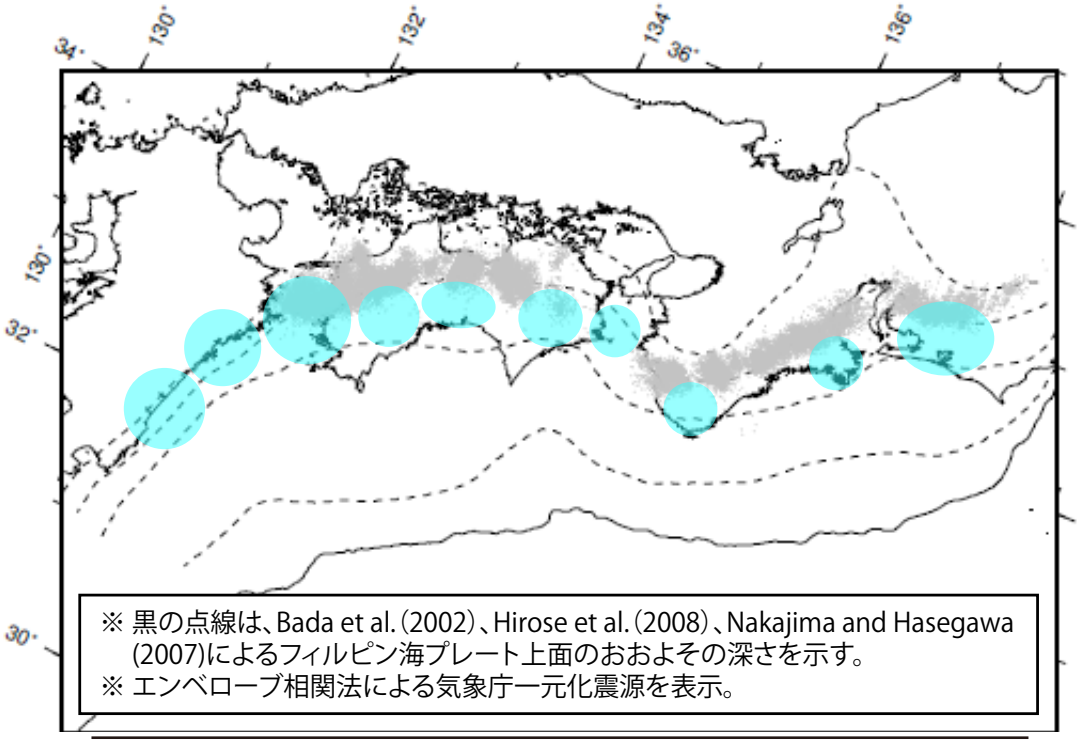
B1:豊後水道1996～1997年
B2:豊後水道2003年
B3:豊後水道2010年
B4:豊後水道2014年
B5:豊後水道2018～2019年

H1:日向灘南部 1998～2001年
H2:日向灘南部 2020～2021年、2023年

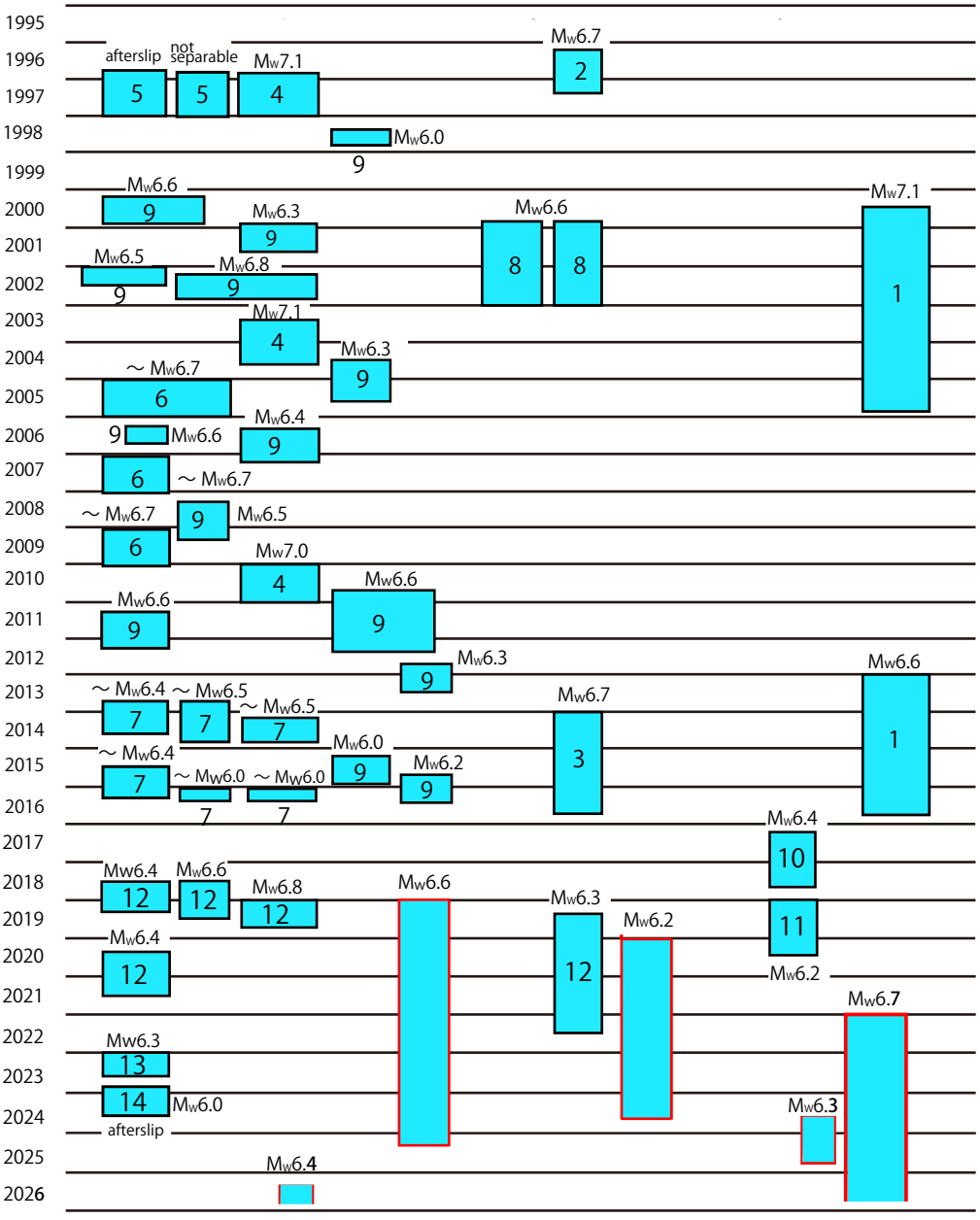
第2図　長期的スロースリップの規模分布（1996年～2026年10月）
2年間あたりの変化量から推定したモーメントマグニチュード。

気象庁・気象研究所作成

長期的ゆっくりすべりの全体概要



※ 黒の点線は、Bada et al.（2002）、Hirose et al.（2008）、Nakajima and Hasegawa (2007)によるフィルピン海プレート上面のおおよその深さを示す。
※ エンベロープ相関法による気象庁一元化震源を表示。



1. Ozawa et al. (2016)
2. Kobayashi (2014)
3. GSI (2016)
4. Ozawa et al. (2013)
5. Ozawa et al. (2001)
6. Yarai & Ozawa (2013)
7. Ozawa (2017)
8. Kobayashi (2017)
9. Takagi et al. (2019)
10. Kobayashi & Tsuyuki (2019)
11. GSI (2021)
12. Ozawa et al. (2024)
13. GSI (2023)
14. Ozawa et al. (2025)

評価検討会資料

※ 本資料は、評価検討会における評価結果やOzawa et al.(2024)等をもとに、長期的ゆっくりすべりの発生場所と時期を模式的に示した図である。
それぞれのゆっくりすべりの詳細については、各文献等を参照願います。

気象庁
国土地理院